

COMMITTENTE:



PROGETTAZIONE:



S. O. COORDINAMENTO TERRITORIALE SUD

PROGETTO DEFINITIVO

LINEA TARANTO-BRINDISI NUOVA STAZIONE DI TARANTO NASISI

SOTTOPASSO E MARCIAPIEDI
Relazione di calcolo opere provvisionali

SCALA:

COMMESSA LOTTO FASE ENTE TIPO DOC. OPERA/DISCIPLINA PROGR. REV.

I	A	8	E	0	0	D	7	8	C	L	F	V	0	1	0	3	0	0	3	A
---	---	---	---	---	---	---	---	---	---	---	---	---	---	---	---	---	---	---	---	---

Rev.	Descrizione	Redatto	Data	Verificata	Data	Approvato	Data	Autorizzato Data
A	Emissione	C.Soave	Lug 2021	<i>Alfonso L.Fandoli</i>	Lug 2021	<i>G.Lestini</i>	Lug 2021	<i>D. Tiberti</i> Lug 2021

 GRUPPO FERROVIE DELLO STATO ITALIANE	PROGETTO DEFINITIVO Linea Taranto – Brindisi NUOVA STAZIONE DI NASISI
Relazione di calcolo opere provvisionali	PROGETTO LOTTO CODIFICA DOCUMENTO REV. FOGLIO IA8E 00 D 78 CL FV0103 003 A 2 DI 91

Sommario

1 PREMESSA	4
2 DOCUMENTAZIONE, NORMATIVE E BIBLIOGRAFIA DI RIFERIMENTO.....	6
1.1 NORMATIVE E RACCOMANDAZIONI	6
1.2 DOCUMENTI DI PROGETTO	6
3 GENERALITÀ	7
4 CARATTERISTICHE DEI MATERIALI.....	11
4.1 CALCESTRUZZO ARMATO	11
<i>Calcestruzzo</i>	<i>11</i>
<i>Acciaio d'armatura in barre tonde ad aderenza migliorata</i>	<i>11</i>
<i>Classi di esposizione e copriferro</i>	<i>12</i>
5 CARATTERIZZAZIONE GEOTECNICA.....	13
5.1 STRATIGRAFIA E PARAMETRI GEOTECNICI	13
5.2 LIQUEFACIBILITÀ DEI TERRENI	13
6 ANALISI DEI CARICHI E CONDIZIONI DI CARICO.....	14
6.1 CARICHI PERMANENTI	14
6.2 SOVRACCARICO ACCIDENTALE.....	14
6.3 SPINTA STATICHE DELLE TERRE.....	14
7 COMBINAZIONI DI CARICO	18
8 MODELLAZIONE NUMERICA	20
8.1 PROGRAMMA PER L'ANALISI AUTOMATICA	20
8.2 MODELLO DI CALCOLO	20
9 ANALISI DEI RISULTATI	21
9.1 DESCRIZIONE DELLA STRATIGRAFIA E DEGLI STRATI DI TERRENO	21
9.2 DESCRIZIONE PARETI	21
9.3 FASI DI CALCOLO	24
<i>Stage 0.....</i>	<i>24</i>
<i>Stage 1.....</i>	<i>25</i>
<i>Stage 2.....</i>	<i>26</i>
STAGE 3.....	27
<i>Stage 4.....</i>	<i>29</i>
<i>Stage 5.....</i>	<i>30</i>

 GRUPPO FERROVIE DELLO STATO ITALIANE	PROGETTO DEFINITIVO Linea Taranto – Brindisi NUOVA STAZIONE DI NASISI
Relazione di calcolo opere provvisionali	PROGETTO LOTTO CODIFICA DOCUMENTO REV. FOGLIO IA8E 00 D 78 CL FV0103 003 A 3 DI 91

<i>Stage 6</i>	31
9.4 RIEPILOGO STAGE / DESIGN ASSUMPTION PER INVILUPPO	32
9.5 RIEPILOGO RISULTATI	33
<i>Riepilogo per la DA <Nominal></i>	33
10 RISULTATI ELEMENTI PARETE (BEAM)	33
<i>Riepilogo per la DA <NTC2018: SLE (Rara)></i>	33
<i>Riepilogo per la DA <NTC2018: A1+M1+R1 ></i>	34
<i>Riepilogo per la DA <NTC2018: A2+M2+R1 ></i>	34
<i>Riepilogo per la DA <NTC2018: A2+M2+R2></i>	35
<i>WallElement Riepilogo per tutte le Design Assumption (DA) attive</i>	35
10.1 GRAFICI DEI RISULTATI – SPOSTAMENTI	36
<i>Grafico Spostamento SLE rara - Stage: Stage 2</i>	36
<i>Grafico Spostamento SLE rara - Stage: Stage 3</i>	37
<i>Grafico Spostamento SLE rara - Stage: Stage 4</i>	38
<i>Grafico Spostamento SLE rara - Stage: Stage 5</i>	39
<i>Grafico Spostamento SLE rara - Stage: Stage 6</i>	40
10.2 RISULTATI PARATIA	41
<i>Tabella Inviluppi Tasso di Sfruttamento a Momento</i>	41
<i>Grafico Inviluppi Tasso di Sfruttamento a Momento</i>	43
<i>Tabella Inviluppi Tasso di Sfruttamento a Taglio</i>	44
<i>Grafico Inviluppi Tasso di Sfruttamento a Taglio</i>	46
10.3 GRAFICI DEI RISULTATI – RIEPILOGO SPINTE.....	47
<i>Grafico Riepilogativo spinte A2+M2+R2 - Stage: Stage 0</i>	47
<i>Grafico Riepilogativo spinte A2+M2+R2 - Stage: Stage 1</i>	48
<i>Grafico Riepilogativo spinte A2+M2+R2 - Stage: Stage 2</i>	49
<i>Grafico Riepilogativo spinte A2+M2+R2 - Stage: Stage 3</i>	50
<i>Grafico Riepilogativo spinte A2+M2+R2 - Stage: Stage 4</i>	51
<i>Grafico Riepilogativo spinte A2+M2+R2 - Stage: Stage 5</i>	52
<i>Grafico Risultati Terreno Sigma H</i>	53
<i>Inviluppo Spinta Reale Efficace / Spinta Passiva</i>	54
11 INCIDENZE ARMATURE	55
12 ALLEGATI.....	56
12.1 DESIGN ASSUMPTION : NOMINAL - FILE DI PARATIE - FILE DI OUTPUT (.OUT).....	56

Relazione di calcolo opere provvisionali

PROGETTO IA8E	LOTTO 00	CODIFICA D 78 CL	DOCUMENTO FV0103 003	REV. A	FOGLIO 4 DI 91
------------------	-------------	---------------------	-------------------------	-----------	-------------------

1 PREMESSA

Il presente documento ha per oggetto il progetto e le verifiche delle opere provvisionali funzionali al contenimento degli scavi necessari alla realizzazione del sottopasso, nell'ambito degli interventi volti alla nuova configurazione della stazione Taranto-Nasisi della linea Taranto-Brindisi.

La località ferroviaria di Taranto Nasisi, posta al km 4 della linea Taranto-Brindisi, è oggi dotata di un solo binario e non è più abilitata a servizio viaggiatori, ma la sua posizione prossima al Quartiere «Paolo VI» la rende ideale per l'interscambio tra i servizi ferroviari e i numerosi servizi automobilistici extraurbani che penetrano nella città di Taranto da est. Pertanto, l'Accordo Quadro Regione Puglia-RFI prevede il prolungamento dei servizi Bari-Taranto sino a Nasisi e il potenziamento della stazione in oggetto. In particolare, l'intervento prevede la realizzazione di una stazione di n. 3 binari con modulo pari a 250 m e itinerari a 60 km/h, n. 2 marciapiedi a standard H55, un sottopasso con rampe di scale e ascensori, un nuovo fabbricato viaggiatori e un parcheggio ad esso antistante con capacità di 50 stalli per auto e 4 per bus.

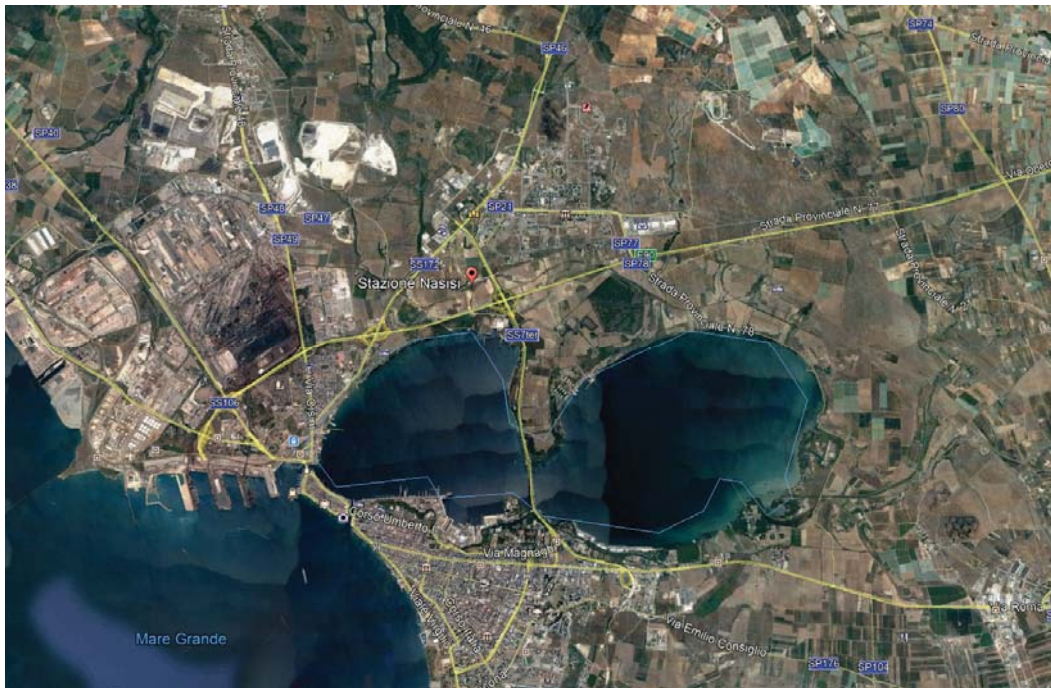


Figura 1 - Inquadramento dell'area di intervento

PROGETTO DEFINITIVO

Linea Taranto – Brindisi

NUOVA STAZIONE DI NASISI

Relazione di calcolo opere provvisori

PROGETTO IA8E	LOTTO 00	CODIFICA D 78 CL	DOCUMENTO FV0103 003	REV. A	FOGLIO 5 DI 91
------------------	-------------	---------------------	-------------------------	-----------	-------------------



Figura 2– Stazione di Taranto-Nasisi

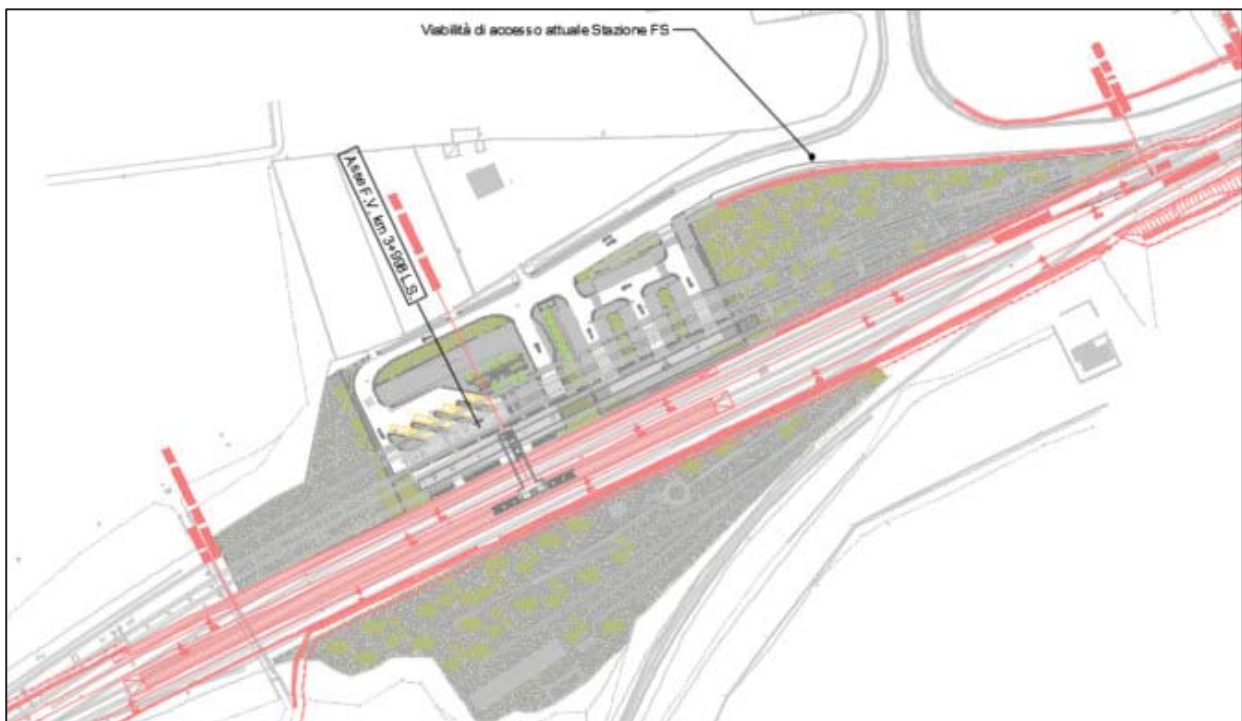


Figura 3– Configurazione di progetto (in rosso)

**PROGETTO DEFINITIVO****Linea Taranto – Brindisi****NUOVA STAZIONE DI NASISI****Relazione di calcolo opere provvisionali**

PROGETTO	LOTTO	CODIFICA	DOCUMENTO	REV.	FOGLIO
IA8E	00	D 78 CL	FV0103 003	A	6 DI 91

2 DOCUMENTAZIONE, NORMATIVE E BIBLIOGRAFIA DI RIFERIMENTO**1.1 Normative e raccomandazioni**

- [1] Decreto Ministeriale del 17 gennaio 2018: “Aggiornamento delle Norme Tecniche per le Costruzioni”, Supplemento Ordinario alla G.U. n.42 del 20.2.2018.
- [2] Circolare 21 gennaio 2019 n.7” Istruzioni per l’applicazione dell’«Aggiornamento delle “Norme tecniche per le costruzioni”» di cui al decreto ministeriale 17 gennaio 2018”
- [3] RFI-DTC-ICI-PO-SP-IFS-001-A: “Istruzione per la progettazione e l’esecuzione dei ponti ferroviari”
- [4] Regolamento (UE) N° 1299/2014 della Commissione del 18 novembre 2014 relativo alle specifiche tecniche di interoperabilità per il sottosistema “infrastruttura” del sistema ferroviario dell’Unione europea, modificato dal Regolamento di esecuzione (UE) N° 776/2019 della Commissione del 16 maggio 2019;

1.2 Documenti di progetto

Sottopasso e Marciapiedi																					
Pianta scavi – fase 1	I	A	8	E	0	0	D	7	8	B	Z	F	V	0	1	0	3	0	0	2	A
Pianta scavi – fase 2	I	A	8	E	0	0	D	7	8	B	Z	F	V	0	1	0	3	0	0	3	A

GEOTECNICA																		
Relazione geotecnica	E	0	0	D	7	8	R	H	G	E	0	0	0	6	0	0	1	A

3 GENERALITÀ

Tra gli interventi in progetto riguardanti la Stazione di Taranto Nasisi, è prevista la realizzazione di un nuovo sottopassaggio pedonale. Nella presente relazione si riportano le verifiche delle opere provvisionali necessarie alla realizzazione del sottopassaggio dal marciapiede del binario 2.

Le opere suddette consistono in una paratia di pali Ø800 disposti affiancati secondo uno sviluppo lineare con interasse pari a 0.90 m.

La realizzazione dello scavo, e conseguentemente del sottopasso, avviene in due fasi: nella prima si esegue la porzione del manufatto lato Sud (lato ascensore) mentre nella seconda si provvede, previo rinterro, ad eseguire la porzione lato Nord (lato rampe scale). Preliminare a questa seconda fase è la demolizione dei pali che interferiscono con l'ingombro dello scatolare da realizzare.

Si riportano, nelle figure che seguono, pianta e sezioni della struttura in oggetto.

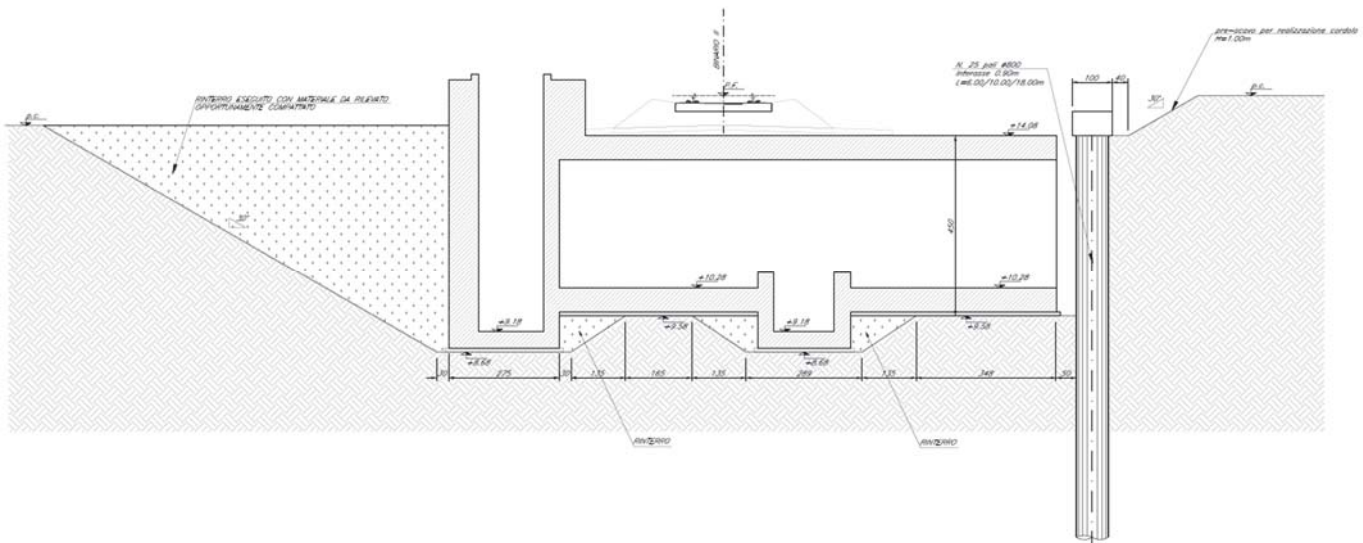


Figura 4 – Sezione longitudinale fase 1

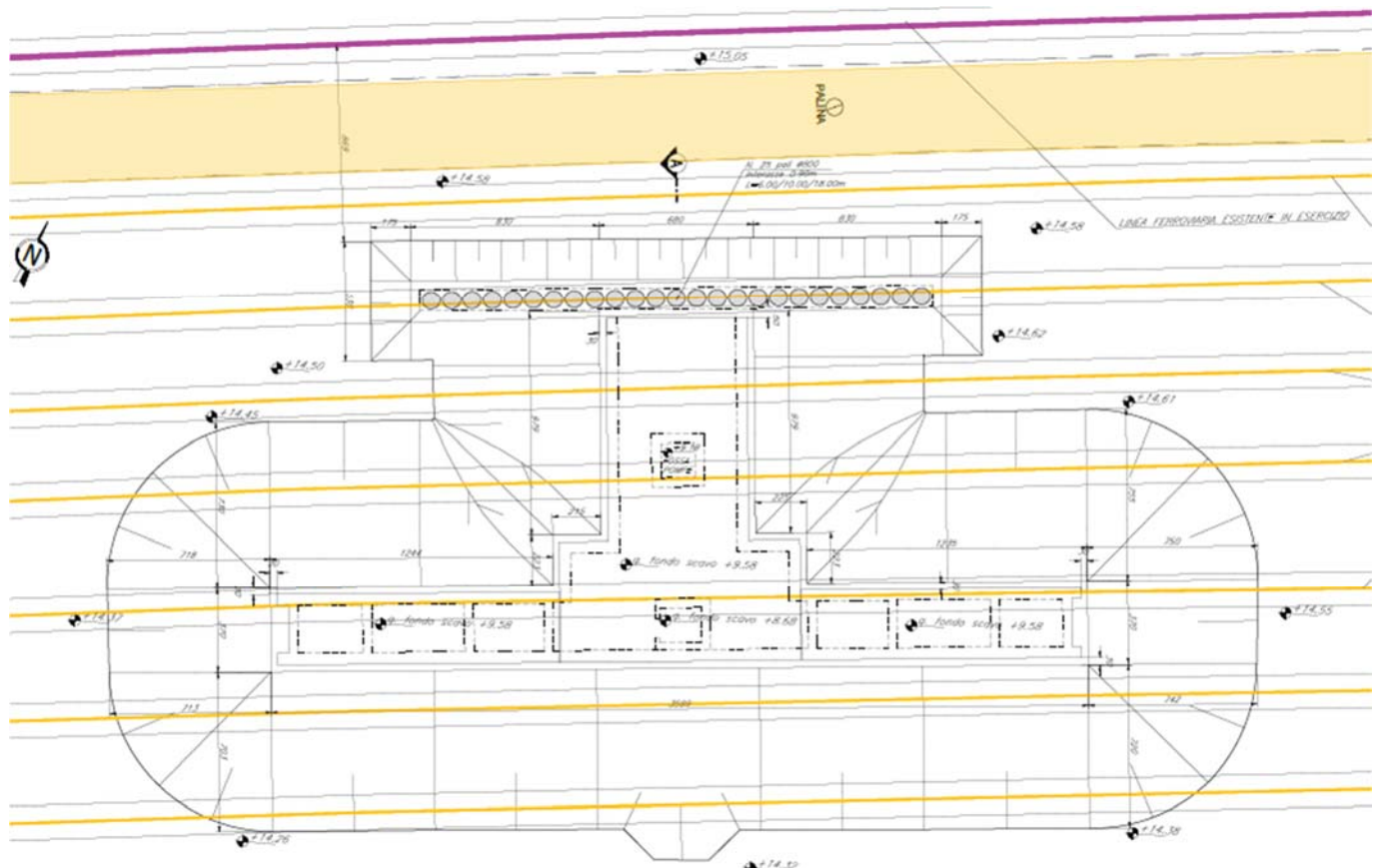


Figura 5 – Planimetria fase 1

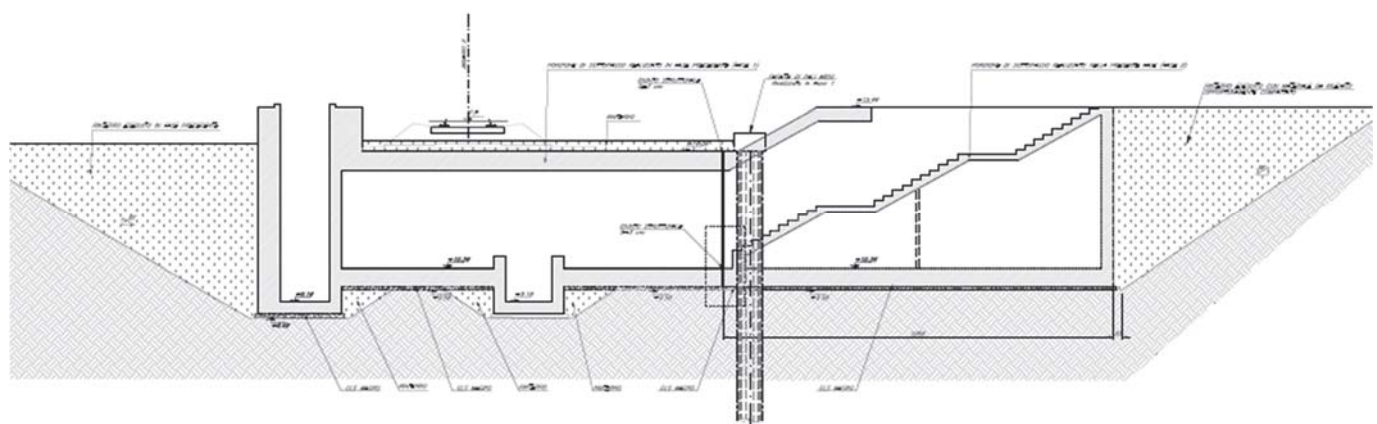


Figura 6 – Sezione longitudinale fase 2

PROGETTO DEFINITIVO

Linea Taranto – Brindisi

NUOVA STAZIONE DI NASISI

Relazione di calcolo opere provvisoriali

PROGETTO IA8E	LOTTO 00	CODIFICA D 78 CL	DOCUMENTO FV0103 003	REV. A	FOGLIO 9 DI 91
------------------	-------------	---------------------	-------------------------	-----------	-------------------

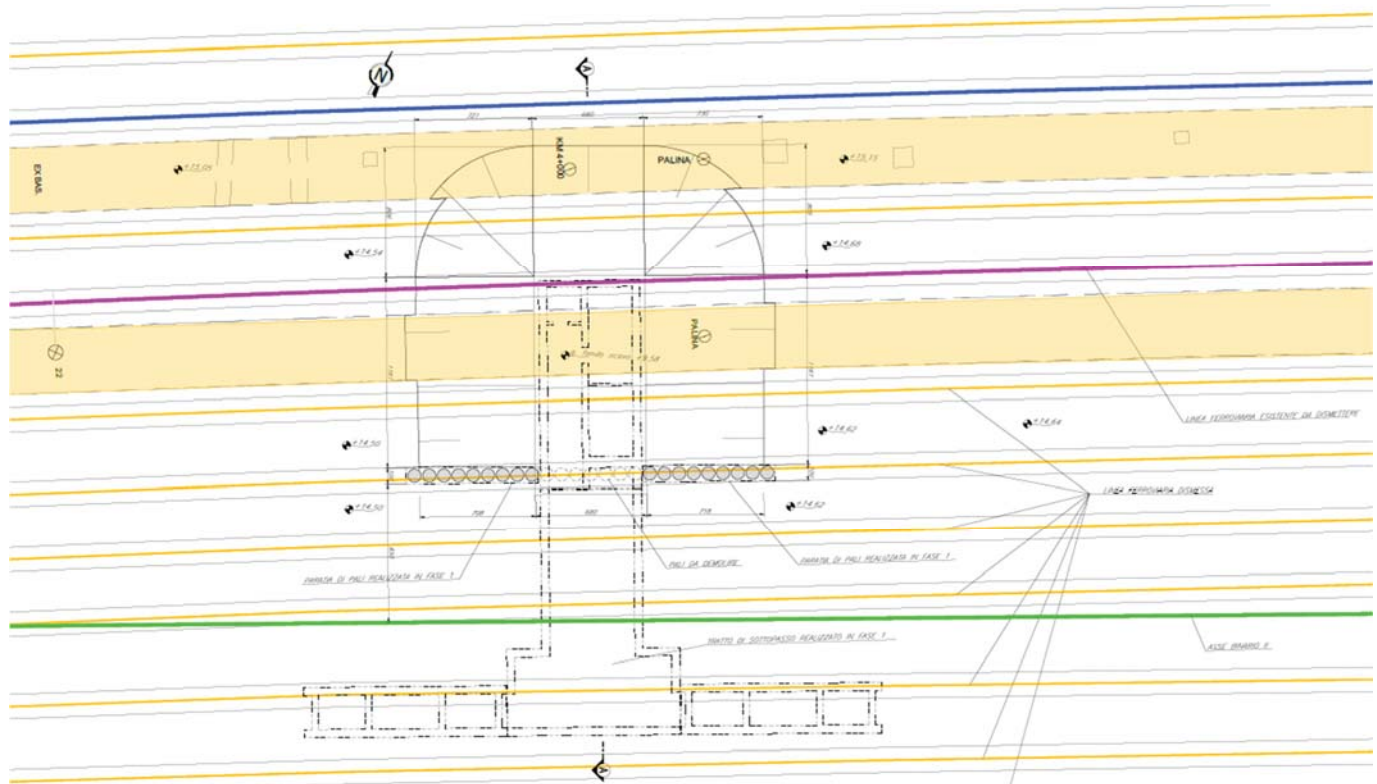
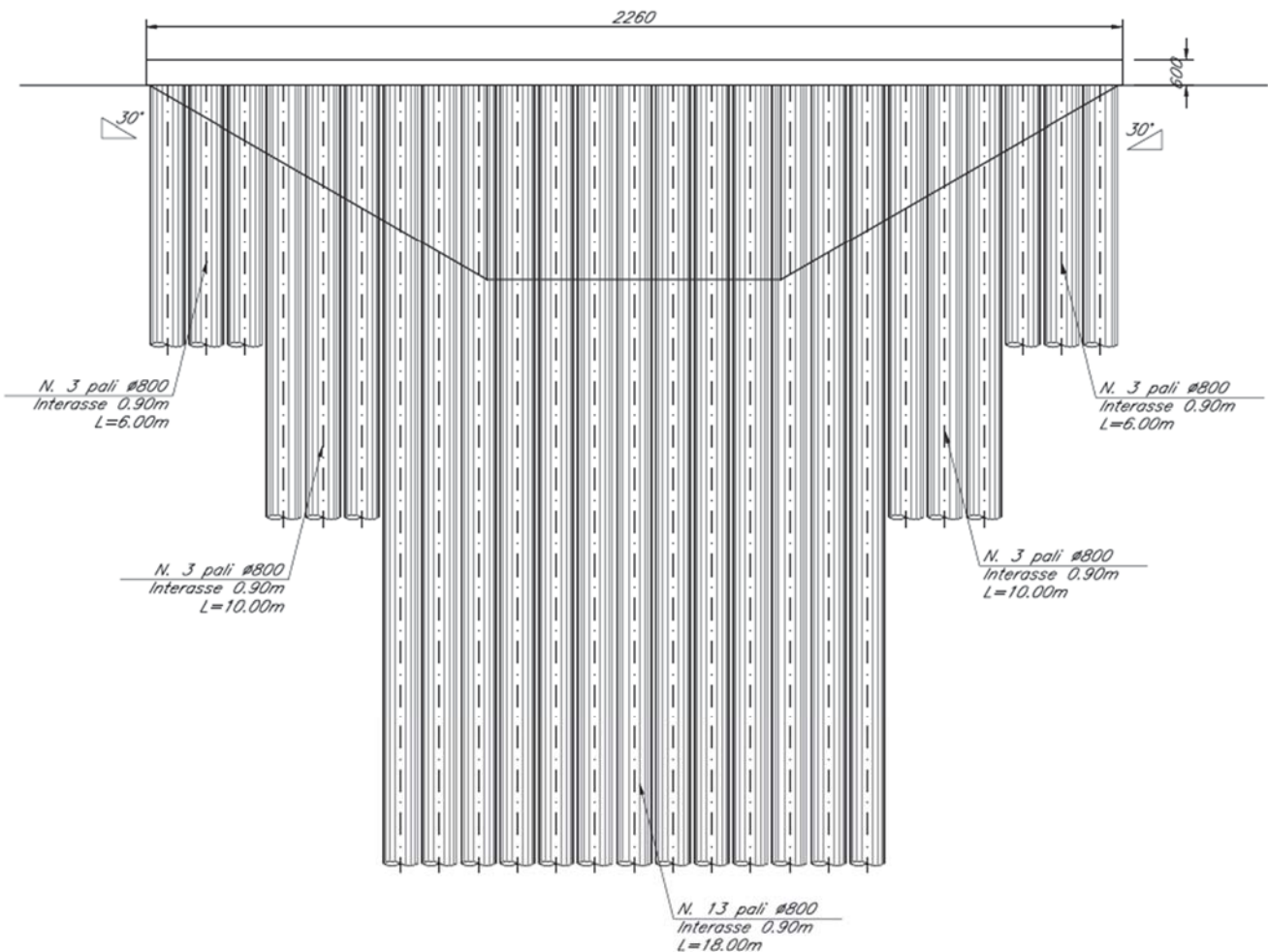


Figura 7 – Planimetria fase 2

Relazione di calcolo opere provvisionali

 PROGETTO LOTTO CODIFICA DOCUMENTO REV. FOGLIO
 IA8E 00 D 78 CL FV0103 003 A 10 DI 91

Figura 8 – Prospetto paratia di pali

Relazione di calcolo opere provvisionali

PROGETTO IA8E	LOTTO 00	CODIFICA D 78 CL	DOCUMENTO FV0103 003	REV. A	FOGLIO 11 DI 91
------------------	-------------	---------------------	-------------------------	-----------	--------------------

4 CARATTERISTICHE DEI MATERIALI

4.1 Calcestruzzo armato

Calcestruzzo

Si riportano di seguito due tabelle riepilogative del tipo e delle caratteristiche del calcestruzzo adottato per i diversi elementi strutturali:

Classe d'esposizione: XC2

C25/30 - $f_{ck} \geq 25 \text{ MPa}$ - $R_{ck} \geq 30 \text{ MPa}$

Classe minima di consistenza: S4-S5

In accordo con le norme vigenti, risulta per il materiale in esame:

Resistenza caratteristica cubica a 28 giorni	R_{ck}	35	N/mm²
Resistenza caratteristica cilindrica a 28 giorni	$f_{ck} = 0.83 R_{ck}$	29,05	N/mm ²
Valore medio della resistenza cilindrica	$f_{cm} = f_{ck} + 8$	37,05	N/mm ²
Resistenza di calcolo breve durata	$f_{cd} (\text{Breve durata}) = f_{ck} / 1.5$	19,37	N/mm ²
Resistenza di calcolo lunga durata	$f_{cd} (\text{Lungo durata}) = 0.85 f_{cd}$	16,46	N/mm ²
Resistenza media a trazione assiale	$f_{ctm} = 0.3 (f_{ck})^{2/3} - [R_{ck}<50/60]$	2,83	N/mm ²
Resistenza caratteristica a trazione	$f_{ctk,0,05} = 0.7 f_{ctm}$	1,98	N/mm ²
Resistenza media a trazione per flessione	$f_{cfm} = 1.2 f_{ctm}$	3,40	N/mm ²
Resistenza di calcolo a trazione	$f_{ctd} = f_{ctk,0,05} / 1.5$	1,32	N/mm ²
Modulo di Young	$E = 22000 (f_{cm}/10)^{0,3}$	32588	N/mm ²

Coefficiente di Poisson:

Secondo quanto prescritto al punto 11.2.10.4 della NTC18, per il coefficiente di Poisson può adottarsi, a seconda dello stato di sollecitazione, un valore compreso tra 0 (calcestruzzo fessurato) e 0.2 (calcestruzzo non fessurato).

Coefficiente di dilatazione termica:

In sede di progettazione, o in mancanza di una determinazione sperimentale diretta, per il coefficiente di dilatazione termica del calcestruzzo può assumersi un valore medio pari a $10 \times 10^{-6} \text{ }^{\circ}\text{C}^{-1}$ (NTC18 – 11.2.10.5).

Acciaio d'armatura in barre tonde ad aderenza migliorata

Si adotta acciaio tipo B450C come previsto al punto 11.3.2.1 delle NTC18, per il quale si possono assumere le seguenti caratteristiche:

**PROGETTO DEFINITIVO****Linea Taranto – Brindisi****NUOVA STAZIONE DI NASISI****Relazione di calcolo opere provvisionali**

PROGETTO	LOTTO	CODIFICA	DOCUMENTO	REV.	FOGLIO
IA8E	00	D 78 CL	FV0103 003	A	12 DI 91

Resistenza a trazione – compressione: $f_{tk} = 540 \text{ N/mm}^2$ = Resistenza caratteristica di rottura $f_{yk} = 450 \text{ N/mm}^2$ = Resistenza caratteristica a snervamento

$$f_{yd} = \frac{f_{yk}}{\gamma_s} = 391.3 \text{ N/mm}^2$$
 = Resistenza di calcolo

dove:

 $\gamma_s = 1.15$ = Coefficiente parziale di sicurezza relativo all'acciaio.Modulo Elastico: $E_s = 210000 \text{ N/mm}^2$ **Classi di esposizione e copriferro**

	Cordolo	Palo
Classe di resistenza	C28/35	C28/35
Classe di esposizione	XC2	XC2
Condizioni ambientali	Non aggressive	Non aggressive
Rapporto acqua/cemento	0,55	0,55

Con riferimento al punto 4.1.6.1.3 delle NTC, al fine della protezione delle armature dalla corrosione il valore minimo dello strato di ricoprimento di calcestruzzo (copriferro) deve rispettare quanto indicato nella tabella C4.1.IV della Circolare 2.2.2019, riportata di seguito, nella quale sono distinte le tre condizioni ambientali di Tabella 4.1.III delle NTC.

Pur trattandosi di opera provvisionale si prescrive che in fondazione ed in elevazione il copriferro netto non debba essere inferiore a 40 mm compresa una tolleranza di posa di 10 mm.

Relazione di calcolo opere provvisionali

 PROGETTO LOTTO CODIFICA DOCUMENTO REV. FOGLIO
 IA8E 00 D 78 CL FV0103 003 A 13 DI 91

5 CARATTERIZZAZIONE GEOTECNICA

5.1 Stratigrafia e parametri geotecnici

Si riportano a seguire le caratteristiche geotecniche relative al terreno della tratta omogenea in cui ricade l'opera in esame. Le formazioni indicate nei prospetti di seguito fanno riferimento alle unità geotecniche descritte nel seguente elenco:

- Unità 1 – Sabbie medio-fini;
- Unità 2 – Argille limose debolmente sabbiose;
- Unità 3 – Sabbie medio-fini;
- Unità 4 – Sabbie limose.

STAZIONE NASISI - MODELLO GEOTECNICO															
Unità geotecniche	Descrizione	z iniz (m da p.c.)	z fin (m da p.c.)	spessore (m)	Peso di volume (kN/m³)	Tipo di terreno	Densità relativa (%)	Angolo di resistenza al taglio ϕ' (°)	Angolo di resistenza al taglio $\phi'cv$ (°)	C' (kPa)	Cu (kPa)	Modulo elastico Eop (MPa)	Modulo edometrico (MPa)	Modulo Eu (non drenato) (MPa)	K media (m/s)
R	Riporto antropico (corpo stradale)	0	0.5	0.5	18	GG	-	-	-	-	-	-	-	-	-
1	Sabbie medio-fini limose da poco a medianamente addensate	0.5	2	1.5	19.5	GG	40-50	32-34	24-25	-	-	12-18	-	-	-
2a	Argille limose deb. sabbiose ed argille limose e/o con limo con sporadiche lamine sabbiose e, talora, rare screzature organiche. Da consistente a molto consistente	2	7.5	5.5	19.5	GF	-	24-25		5-10	80-100	-	8-12	50-70	3.50E-09
2b	Argille limose deb. sabbiose ed argille limose e/o con limo con sporadiche lamine sabbiose, talora rare screzature organiche. Consistenti	7.5	11.5	4	19.5	GF	-	24-25		5-10	70-80	-	6-8	30-50	7.00E-09
2c	Argille limose deb. sabbiose ed argille limose e/o con limo con sporadiche lamine sabbiose e, talora, rare screzature organiche. Molto consistenti.	11.5	15	3.5	19.5	GF	-	24-25		20-30	140-160	-	10-14	90-110	7.00E-09
3	Sabbia mediofine limosa e/o limo e sabbia mediamente addensata	15	19	4	20	GG	50	33-35	27-29	-	-	20-30	-	-	6.50E-07
4	Sabbia ghiaiosa e limosa con frazione sabbiosa da fine a medio-grossa; presenza di ghiaia arrotondata/subrottondata. Molto addensato	19	25	6	20	GG	70	40-42	31-33	-	-	60-80	-	-	1.50E-07

Il manufatto in esame interessa le prime due unità.

Il livello di falda, successivamente allo scavo, si assume a quota -13.00 m da piano campagna.

Per ulteriori dettagli, si faccia riferimento alla Relazione Geotecnica del progetto.

5.2 Liquefacibilità dei terreni

Non sono stati rilevati livelli di terreni sabbiosi potenzialmente liquefacibili che possano interessare il terreno in esame.

Inoltre, attivandosi il fenomeno esclusivamente in condizioni sismiche, come anticipato nella premessa del presente rapporto, lo si trascura ai fini delle analisi condotte, poiché si stima per le lavorazioni una durata inferiore a 2 anni.

 GRUPPO FERROVIE DELLO STATO ITALIANE	PROGETTO DEFINITIVO Linea Taranto – Brindisi NUOVA STAZIONE DI NASISI					
Relazione di calcolo opere provvisoriali	PROGETTO LOTTO CODIFICA DOCUMENTO REV. FOGLIO IA8E 00 D 78 CL FV0103 003 A 14 DI 91					

6 ANALISI DEI CARICHI E CONDIZIONI DI CARICO

In accordo con quanto prescritto al par.2.4.1-NTC2018, le verifiche sismiche di opere provvisorie possono omettersi quando le relative durate previste in progetto siano inferiori a due anni. Nell’analisi riportata di seguito non si considera pertanto l’azione sismica.

6.1 Carichi permanenti

I carichi permanenti strutturali sono rappresentati dai pesi propri delle strutture portanti. Essi sono valutati sulla base della geometria degli elementi strutturali e del peso specifico assunto per i materiali:

$$\begin{aligned}\gamma_{cls} &= 25.0 \quad \text{kN/m}^3 \\ \gamma_{acc} &= 78.5 \quad \text{kN/m}^3\end{aligned}$$

6.2 Sovraccarico accidentale

Il sovraccarico accidentale a tergo dell’opera è stato considerato come un carico uniformemente distribuito pari a 10 kPa, per tener conto della eventuale presenza di mezzi di cantiere.

6.3 Spinta statica delle terre

Nel modello di calcolo impiegato dal software di calcolo PARATIE, la spinta del terreno viene determinata investigando l’interazione statica tra terreno e la struttura deformabile a partire da uno stato di spinta a riposo del terreno sulla paratia.

I parametri che identificano il tipo di legge costitutiva possono essere distinti in due sottoclassi: parametri di spinta e parametri di deformabilità del terreno.

I parametri di spinta sono il coefficiente di spinta a riposo K_0 , il coefficiente di spinta attiva K_a e il coefficiente di spinta passiva K_p .

Il coefficiente di spinta a riposo fornisce lo stato tensionale presente in situ prima delle operazioni di scavo. Esso lega la tensione orizzontale efficace σ'_h a quella verticale σ'_v attraverso la relazione:

$$\sigma'_h = K_0 \cdot \sigma'_v$$



PROGETTO DEFINITIVO

Linea Taranto – Brindisi

NUOVA STAZIONE DI NASISI

Relazione di calcolo opere provvisionali

PROGETTO	LOTTO	CODIFICA	DOCUMENTO	REV.	FOGLIO
IA8E	00	D 78 CL	FV0103 003	A	15 DI 91

K_0 dipende dalla resistenza del terreno, attraverso il suo angolo di attrito efficace ϕ' e dalla sua storia geologica. Si può assumere che:

$$K_0 = K^{NC} \cdot (OCR)^m$$

dove

$$K^{NC} = 1 - \sin \phi'$$

è il coefficiente di spinta a riposo per un terreno normalconsolidato ($OCR=1$). OCR è il grado di sovraconsolidazione e m è un parametro empirico, di solito compreso tra 0.4 e 0.7.

I coefficienti di spinta attiva e passiva sono forniti dalla teoria di Rankine per una parete liscia dalle seguenti espressioni:

$$K_a = \tan^2(45 - \phi'/2)$$

$$K_p = \tan^2(45 + \phi'/2)$$

Il software PARATIE impiega per K_a e K_p le formulazioni rispettivamente di Coulomb e Caquot – Kerisel.

Formulazione di Coulomb per K_a :

$$k_a = \frac{\cos^2(\phi' - \beta)}{\cos^2 \beta \cdot \cos(\beta + \delta) \cdot \left[1 + \sqrt{\frac{\sin(\delta + \phi') \cdot \sin(\phi' - i)}{\cos(\beta + \delta) \cdot \cos(\beta - i)}} \right]}$$

dove:

ϕ' è l'angolo di attrito del terreno

β è l'angolo d'inclinazione del diaframma rispetto alla verticale

δ è l'angolo di attrito paratia-terreno

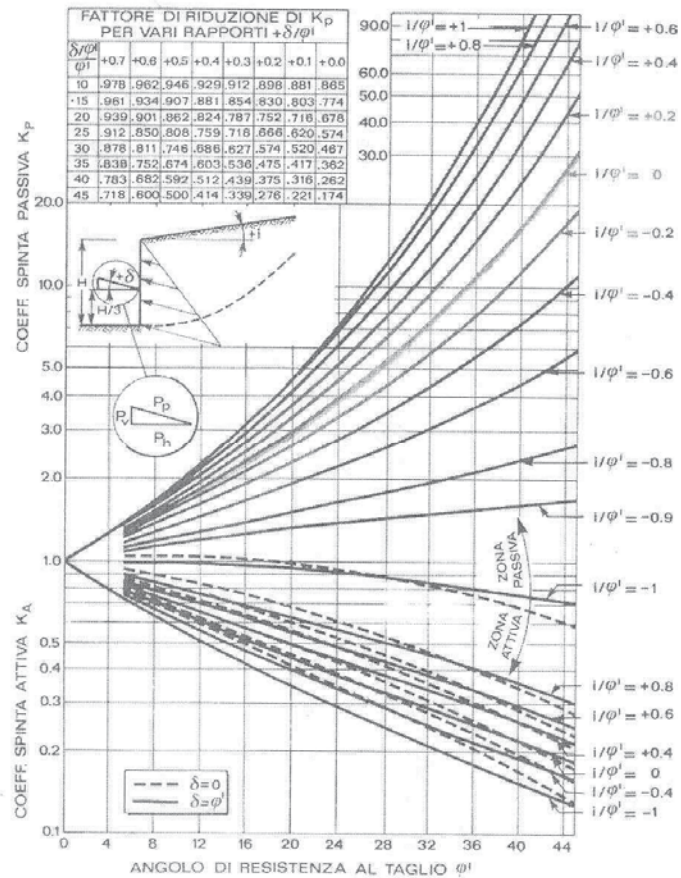
i è l'angolo d'inclinazione del terreno a monte della paratia rispetto all'orizzontale

Per quanto riguarda le assunzioni fatte per l'attrito paratia-terreno (angolo δ) , di default viene tenuto in conto solo nel calcolo di k_p . Il coefficiente k_a viene sempre valutato con le formule di Coulomb, non considerando l'effetto di δ .

Il contributo ai coefficienti di spinta legato all'inclinazione della superficie di scavo (angolo β), sia a monte che a valle è tenuto in conto sia per k_a che per k_p . L'angolo β utilizzato in queste valutazioni viene stimato in base alla geometria.

L'angolo d'attrito δ all'interfaccia tra parete e terreno è posto cautelativamente pari a $0.5 \phi'$.

PROGETTO DEFINITIVO
Linea Taranto – Brindisi
NUOVA STAZIONE DI NASISI
Relazione di calcolo opere provvisionali

 PROGETTO LOTTO CODIFICA DOCUMENTO REV. FOGLIO
 IA8E 00 D 78 CL FV0103 003 A 16 DI 91

Figura 9 – Formulazione di Caquot – Kerisel per K_p (superfici di rottura curvilinee)

PROGETTO DEFINITIVO
Linea Taranto – Brindisi
NUOVA STAZIONE DI NASISI
Relazione di calcolo opere provvisionali

 PROGETTO LOTTO CODIFICA DOCUMENTO REV. FOGLIO
 IA8E 00 D 78 CL FV0103 003 A 17 DI 91

Nel prospetto di seguito la sintesi delle assunzioni fatte per la valutazione dei parametri di spinta del terreno.

Proprietà Analisi

Densità mesh	0.2 m	Max Iterazioni	40																				
Controlla solo percorso degli sforzi totali (TSP)																							
<input checked="" type="radio"/> Calcolo coefficienti di spinta <input type="radio"/> Opzioni avanzate Paratie <input type="radio"/> Parametri Stima Cedimenti																							
<input checked="" type="radio"/> Usa K_a e K_p definiti nella finestra dei terreni <input type="radio"/> No <input type="radio"/> Sì																							
δ/ϕ <table border="1"> <tr> <td>default δ/ϕ muro sx (monte)</td> <td>0.5</td> <td>default δ/ϕ muro dx (monte)</td> <td>0.5</td> </tr> <tr> <td>default δ/ϕ muro sx (valle)</td> <td>0.5</td> <td>default δ/ϕ muro dx (valle)</td> <td>0.5</td> </tr> </table>				default δ/ϕ muro sx (monte)	0.5	default δ/ϕ muro dx (monte)	0.5	default δ/ϕ muro sx (valle)	0.5	default δ/ϕ muro dx (valle)	0.5												
default δ/ϕ muro sx (monte)	0.5	default δ/ϕ muro dx (monte)	0.5																				
default δ/ϕ muro sx (valle)	0.5	default δ/ϕ muro dx (valle)	0.5																				
<table border="1"> <thead> <tr> <th>Stage</th> <th>δ/ϕ sx (m)</th> <th>δ/ϕ sx (v)</th> <th>δ/ϕ dx (m)</th> <th>δ/ϕ dx (v)</th> </tr> </thead> <tbody> <tr> <td>Stage 1</td> <td>default</td> <td>default</td> <td>default</td> <td>default</td> </tr> <tr> <td>Stage 2</td> <td>default</td> <td>default</td> <td>default</td> <td>default</td> </tr> <tr> <td>Stage 3</td> <td>default</td> <td>default</td> <td>default</td> <td>default</td> </tr> </tbody> </table>				Stage	δ/ϕ sx (m)	δ/ϕ sx (v)	δ/ϕ dx (m)	δ/ϕ dx (v)	Stage 1	default	default	default	default	Stage 2	default	default	default	default	Stage 3	default	default	default	default
Stage	δ/ϕ sx (m)	δ/ϕ sx (v)	δ/ϕ dx (m)	δ/ϕ dx (v)																			
Stage 1	default	default	default	default																			
Stage 2	default	default	default	default																			
Stage 3	default	default	default	default																			
Opzioni coefficienti di spinta <table border="1"> <tr> <td colspan="2"> <input checked="" type="radio"/> K_a </td> <td colspan="2"> <input checked="" type="radio"/> K_p </td> </tr> <tr> <td>Dipendenza da β</td> <td> <input checked="" type="radio"/> Sempre <input type="radio"/> Mai <input type="radio"/> Solo se conservativo ($\beta > 0$) </td> <td> <input checked="" type="radio"/> Sempre <input type="radio"/> Mai <input type="radio"/> Solo se conservativo ($\beta < 0$) </td> <td> <input checked="" type="radio"/> Sempre <input type="radio"/> Mai </td> </tr> <tr> <td>Dipendenza da δ</td> <td> <input type="radio"/> Sempre <input checked="" type="radio"/> Mai </td> <td> <input checked="" type="radio"/> Sempre <input type="radio"/> Mai </td> <td> <input checked="" type="radio"/> Sempre <input type="radio"/> Mai </td> </tr> </table>				<input checked="" type="radio"/> K_a		<input checked="" type="radio"/> K_p		Dipendenza da β	<input checked="" type="radio"/> Sempre <input type="radio"/> Mai <input type="radio"/> Solo se conservativo ($\beta > 0$)	<input checked="" type="radio"/> Sempre <input type="radio"/> Mai <input type="radio"/> Solo se conservativo ($\beta < 0$)	<input checked="" type="radio"/> Sempre <input type="radio"/> Mai	Dipendenza da δ	<input type="radio"/> Sempre <input checked="" type="radio"/> Mai	<input checked="" type="radio"/> Sempre <input type="radio"/> Mai	<input checked="" type="radio"/> Sempre <input type="radio"/> Mai								
<input checked="" type="radio"/> K_a		<input checked="" type="radio"/> K_p																					
Dipendenza da β	<input checked="" type="radio"/> Sempre <input type="radio"/> Mai <input type="radio"/> Solo se conservativo ($\beta > 0$)	<input checked="" type="radio"/> Sempre <input type="radio"/> Mai <input type="radio"/> Solo se conservativo ($\beta < 0$)	<input checked="" type="radio"/> Sempre <input type="radio"/> Mai																				
Dipendenza da δ	<input type="radio"/> Sempre <input checked="" type="radio"/> Mai	<input checked="" type="radio"/> Sempre <input type="radio"/> Mai	<input checked="" type="radio"/> Sempre <input type="radio"/> Mai																				
Contributo della superficie inclinata lato monte <table border="1"> <tr> <td> <input type="radio"/> Sovraccarichi di superficie da superficie inclinata </td> <td>0.4 m</td> </tr> <tr> <td> <input checked="" type="radio"/> Pendenza equivalente della superficie inclinata </td> <td></td> </tr> </table>				<input type="radio"/> Sovraccarichi di superficie da superficie inclinata	0.4 m	<input checked="" type="radio"/> Pendenza equivalente della superficie inclinata																	
<input type="radio"/> Sovraccarichi di superficie da superficie inclinata	0.4 m																						
<input checked="" type="radio"/> Pendenza equivalente della superficie inclinata																							

Infine, il valore limite della tensione orizzontale sarà pari a:

$$\sigma'_h = K_a \cdot \sigma'_v - 2 \cdot c' \cdot \sqrt{K_a}$$

$$\sigma'_h = K_p \cdot \sigma'_v + 2 \cdot c' \cdot \sqrt{K_p}$$

a seconda che il collasso avvenga in spinta attiva o passiva rispettivamente. Nelle formulazioni sopra riportate, c'è la coesione drenata del terreno.

 GRUPPO FERROVIE DELLO STATO ITALIANE	PROGETTO DEFINITIVO Linea Taranto – Brindisi NUOVA STAZIONE DI NASISI					
Relazione di calcolo opere provvisionali	PROGETTO IA8E	LOTTO 00	CODIFICA D 78 CL	DOCUMENTO FV0103 003	REV. A	FOGLIO 18 DI 91

7 COMBINAZIONI DI CARICO

Le verifiche strutturali sono effettuate secondo il metodo semiprobabilistico agli stati limite di esercizio (SLE) e agli stati limite ultimi (SLU), in accordo con la normativa vigente (NTC2018). Sono state considerate le seguenti combinazioni delle azioni:

- *Combinazione fondamentale*, impiegata per le verifiche agli stati limite ultimi (SLU):

$$\gamma_{G1} \cdot G_1 + \gamma_{G2} \cdot G_2 + \gamma_p \cdot P + \gamma_{Q1} \cdot Q_{k1} + \gamma_{Q2} \cdot \psi_{02} \cdot Q_{k2} + \gamma_{Q3} \cdot \psi_{03} \cdot Q_{k3} + \dots \quad (2.5.1)$$

- *Combinazione caratteristica (rara)*, impiegata per le verifiche agli stati limite di esercizio (SLE) irreversibili:

$$G_1 + G_2 + P + Q_{k1} + \psi_{02} \cdot Q_{k2} + \psi_{03} \cdot Q_{k3} + \dots \quad (2.5.2)$$

- *Combinazione frequente*, impiegata per le verifiche agli stati limite di esercizio (SLE) reversibili:

$$G_1 + G_2 + P + \psi_{11} \cdot Q_{k1} + \psi_{22} \cdot Q_{k2} + \psi_{23} \cdot Q_{k3} + \dots \quad (2.5.3)$$

- *Combinazione quasi permanente*, impiegata per le verifiche agli stati limite di esercizio (SLE) effetti a lungo termine:

$$G_1 + G_2 + P + \psi_{21} \cdot Q_{k1} + \psi_{22} \cdot Q_{k2} + \psi_{23} \cdot Q_{k3} + \dots \quad (2.5.4)$$

- In considerazione della provvisorietà dell'opera, come già detto, la *Combinazione sismica*, impiegata per gli stati limite ultimi e di esercizio connessi all'azione sismica E può essere omessa.

In accordo con quanto prescritto al par.6.5.3.1.2 del DM 2018, la verifica di stabilità globale dell'insieme terreno-opera deve essere effettuata secondo l'Approccio 1:

- Combinazione 2: **(A2+M2+R2)**

tenendo conto dei coefficienti parziali riportati nelle Tabelle 6.2.I e 6.2.II e 6.8.I.

Le rimanenti verifiche della paratia devono essere effettuate considerando le seguenti combinazioni di coefficienti:

- Combinazione 1: **(A1+M1+R1)**
- Combinazione 2: **(A2+M2+R1)**

tenendo conto dei valori dei coefficienti parziali riportati nelle Tabelle 6.2.I e 6.2.II.

Relazione di calcolo opere provvisionali

PROGETTO IA8E	LOTTO 00	CODIFICA D 78 CL	DOCUMENTO FV0103 003	REV. A	FOGLIO 19 DI 91
------------------	-------------	---------------------	-------------------------	-----------	--------------------

In particolare, per le verifiche per il dimensionamento geotecnico delle paratie (GEO) si considera lo sviluppo di meccanismi di collasso determinati dalla mobilitazione della resistenza del terreno e in particolare dal raggiungimento delle condizioni di equilibrio limite nel terreno interagente con la paratia. L'analisi di stabilità del tratto di paratia infisso e/o collasso per rotazione rigida al piede è stata condotta con la Combinazione 2 (A2+M2+R1), in cui i parametri di resistenza del terreno sono ridotti tramite i coefficienti parziali M2 e le azioni sono amplificate tramite i coefficienti parziali A2.

Nelle verifiche strutturali delle paratie (STR) si considerano gli stati limite ultimi per il raggiungimento della resistenza degli elementi strutturali (micropali e travi). Le analisi sono condotte in accordo con la Combinazione 1 (A1+M1+R1), in cui i parametri di resistenza del terreno (M1) sono unitari e le azioni sono amplificate mediante i coefficienti parziali A1.

Di seguito si riportano le Tabelle di riferimento per i coefficienti parziali delle azioni, dei materiali e delle resistenze:

Tab. 6.2.I – Coefficienti parziali per le azioni o per l'effetto delle azioni

	Effetto	Coefficiente Parziale γ_F (o γ_E)	EQU	(A1)	(A2)
Carichi permanenti G ₁	Favorevole	γ_{G1}	0,9	1,0	1,0
	Sfavorevole		1,1	1,3	1,0
Carichi permanenti G ₂ ⁽¹⁾	Favorevole	γ_{G2}	0,8	0,8	0,8
	Sfavorevole		1,5	1,5	1,3
Azioni variabili Q	Favorevole	γ_Q	0,0	0,0	0,0
	Sfavorevole		1,5	1,5	1,3

⁽¹⁾ Per i carichi permanenti G₂ si applica quanto indicato alla Tabella 2.6.I. Per la spinta delle terre si fa riferimento ai coefficienti γ_{G1}

Tab. 6.2.II – Coefficienti parziali per i parametri geotecnici del terreno

Parametro	Grandezza alla quale applicare il coefficiente parziale	Coefficiente parziale γ_M	(M1)	(M2)
Tangente dell'angolo di resistenza al taglio	$\tan \varphi'_k$	$\gamma_{\varphi'}$	1,0	1,25
Coesione efficace	c'_k	γ_c'	1,0	1,25
Resistenza non drenata	c_{uk}	γ_{cu}	1,0	1,4
Peso dell'unità di volume	γ_Y	γ_Y	1,0	1,0

Per quanto riguarda le verifiche degli spostamenti dell'opera, da effettuarsi nelle condizioni di esercizio, i valori delle proprietà meccaniche da adoperare sono quelli caratteristici e i coefficienti parziali delle azioni e dei parametri di resistenza sono sempre unitari.

 GRUPPO FERROVIE DELLO STATO ITALIANE	PROGETTO DEFINITIVO Linea Taranto – Brindisi NUOVA STAZIONE DI NASISI					
Relazione di calcolo opere provvisionali	PROGETTO IA8E	LOTTO 00	CODIFICA D 78 CL	DOCUMENTO FV0103 003	REV. A	FOGLIO 20 DI 91

8 MODELLAZIONE NUMERICA

8.1 Programma per l'analisi automatica

Lo stato tenso-deformativo degli elementi strutturali in esame è stato investigato mediante il software di calcolo Paratia Plus ver.20.0, programma non lineare agli elementi finiti per l'analisi di strutture di sostegno flessibili.

8.2 Modello di calcolo

Si è considerato un comportamento piano nelle deformazioni, analizzando una striscia di parete di larghezza unitaria.

La realizzazione dello scavo sostenuto dalla paratia viene seguita in tutte le varie fasi attraverso un'analisi statica incrementale: ogni passo di carico coincide con una ben precisa configurazione caratterizzata da una certa quota di scavo, da un insieme di puntoni e tiranti applicati e da una ben precisa disposizione di carichi applicati.

Poiché il comportamento degli elementi finiti è di tipo elastoplastico, ogni configurazione dipende in generale dalle configurazioni precedenti e lo sviluppo di deformazioni plastiche ad un certo passo condiziona la risposta della struttura nei passi successivi.

In questa impostazione particolare, inoltre, gli sforzi verticali nel terreno non sono per ipotesi influenzati dal comportamento deformativo orizzontale, ma sono una variabile del tutto indipendente, legata ad un calcolo basato sulle classiche ipotesi di distribuzione geostatica.

Nei modelli di calcolo implementati, l'esecuzione dello scavo è schematizzata mediante una successione di step, corrispondenti ad eventi che hanno rilevanza nello stato tenso- deformativo del sistema (approfondimenti dello scavo, applicazione di carichi ecc.).

Per le opere oggetto della presente relazione, essendo di carattere provvisionale, sono state considerate le condizioni di carico previste dalla normativa vigente:

- Stato limite di servizio → SLE
- Stato limite ultimo verifiche STR: Combinazione A1+M1 → SLU1
- Stato limite ultimo verifiche GEO: Combinazione A2+M2 → SLU2

Nella modellazione è stata implementata la seguente successione di step:

- Step 0: Condizione Geostatica per la valutazione delle tensioni verticali e delle tensioni orizzontali in assenza di deformazioni (spinta in quiete). In tale step vengono definiti i pali.
- Step 1: Pre-scavo di sbancamento a quota -1.00 m dal p.c.
- Step 2: Scavo di 4.50 m fino ad una quota di 5.50 m al di sotto del p.c. (fondo scavo)
- Step 3: Passaggio del treno sul binario in esercizio lato sinistro
- Step 4: Esecuzione del rinterro fino a quota del piano di sbancamento (-1.00 m dal p.c.)
- Step 5: Scavo di 3.50 m fino ad una quota di 4.50 m al di sotto del p.c. (fondo scavo)
- Step 6: Passaggio del treno sul binario in esercizio lato destro

Relazione di calcolo opere provvisionali

PROGETTO IA8E	LOTTO 00	CODIFICA D 78 CL	DOCUMENTO FV0103 003	REV. A	FOGLIO 21 DI 91
------------------	-------------	---------------------	-------------------------	-----------	--------------------

9 ANALISI DEI RISULTATI

Nei paragrafi seguenti si riportano i risultati delle analisi condotte per il modello implementato, con le indicazioni dei valori massimi delle sollecitazioni flettenti e taglienti e delle rispettive profondità. I valori riportati sono relativi all'analisi al metro lineare di parete.

9.1 Descrizione della Stratigrafia e degli Strati di Terreno

Tipo : HORIZONTAL

Quota : 0 m

OCR : 1

Tipo : HORIZONTAL

Quota : -2 m

OCR : 1

Tipo : HORIZONTAL

Quota : -11.5 m

OCR : 1

Tipo : HORIZONTAL

Quota : -15 m

OCR : 1

Strato di Terreno	Terreno	γ_{dry}	γ_{sat}	ϕ'	ϕ_{cv}	ϕ_p	c'	S_u	Modulo Elastico	E_u	E_{vc}	E_{ur}	A_h	A_{vexp}	P_a	$R_{ur/Rvc}$	R_{vc}	K_u	K_{vc}	K_{ur}
		kN/m ³	kN/m ³	°	°	°	°	kPa	kPa	kPa	kPa	kPa					kPa	kN/m ³	kN/m ³	kN/m ³
1	Unità 1	18.9	18.9	32.9		0		Constant		12000	18000									
2	Unità 2a-2b	19.5	19.5	24	24		80	Constant		50000	18000	50000								
3	Unità 2c	19.5	19.5	24	24		140	Constant		90000	30000	90000								
4	Unità 3	19.5	19.5	34.2		0		Constant		20000	32000									

9.2 Descrizione Pareti

X : 0 m

Quota in alto : -1 m

Quota di fondo : -19 m

Muro di sinistra

Armatura	Lunghezza segmenti : 1 m
	Rinforzo longitudinale 1
	Lunghezza : 18 m
	Quota iniziale : -1 m

Relazione di calcolo opere provvisionali

 PROGETTO LOTTO CODIFICA DOCUMENTO REV. FOGLIO
 IA8E 00 D 78 CL FV0103 003 A 22 DI 91

Barre 1

Numero di barre : 16

Diametro : 26 mm

Distanza dal bordo : 0.07 m

Staffe 1

Numero di staffe : 2

Copertura : 0.04 m

Diametro : 12 mm

Lunghezza : 18 m

Quota iniziale : -1 m

Passo : 0.15 m

Sezione:

Pali D80 - i 90

Area equivalente : 0.5585 m

 Inerzia equivalente : 0.0223 m⁴/m

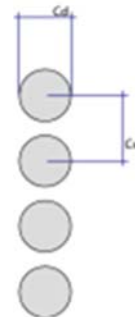
Materiale calcestruzzo : C28/35

Tipo sezione : Tangent

Spaziatura : 0.90 m

Diametro : 0.8 m

Efficacia : 1



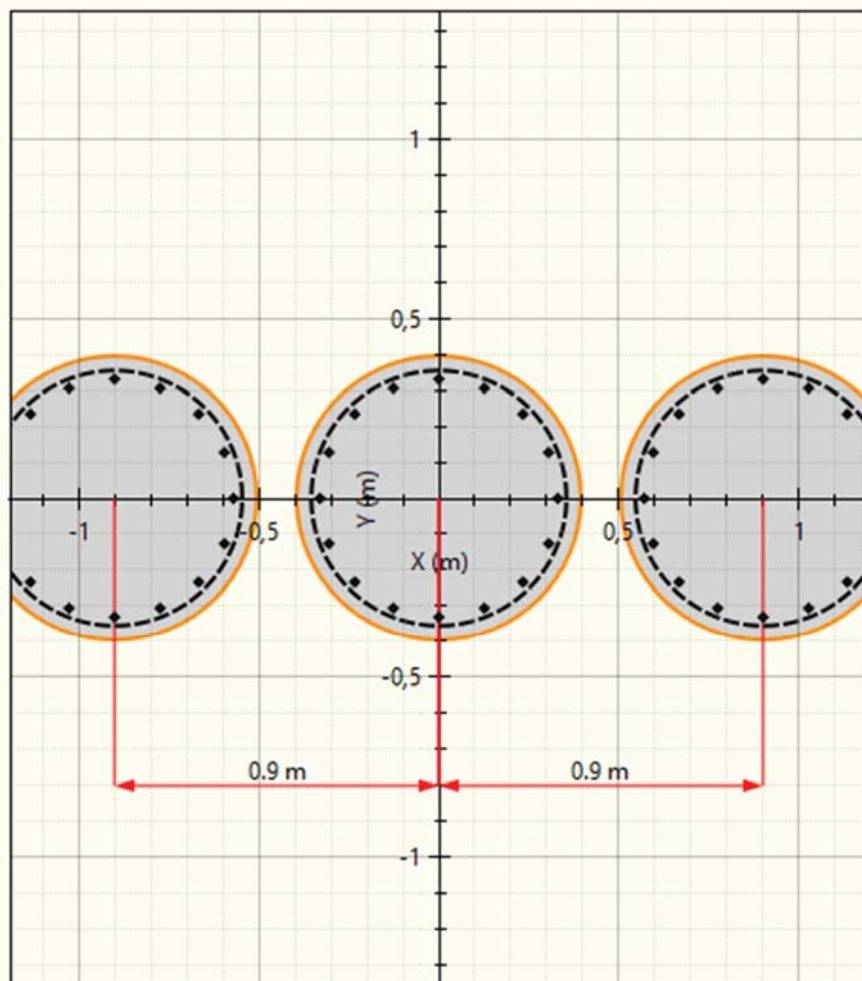
Nome	Pali D80 - i 90								
Inerzia Equivalente	0.0223 m ⁴ /m								
Area Equivalente	0.5585 m								
Mat. omogeneizzazione	C28/35								
Geometria e materiali									
<input checked="" type="radio"/> Custom	Materiale <input type="button" value="C28/35"/> Inerzia <input type="button"/>								
<input type="radio"/> Diaframma o Pali	Calcestruzzo								
<table border="1"> <tr> <td></td> <td>Materiale <input type="button" value="C28/35"/></td> </tr> <tr> <td>Spessore</td> <td>Ct <input type="text" value="0.6"/></td> </tr> <tr> <td>Diametro</td> <td>Cd <input type="text" value="0.8"/></td> </tr> <tr> <td>Passo</td> <td>Cs <input type="text" value="0.9"/></td> </tr> </table>			Materiale <input type="button" value="C28/35"/>	Spessore	Ct <input type="text" value="0.6"/>	Diametro	Cd <input type="text" value="0.8"/>	Passo	Cs <input type="text" value="0.9"/>
	Materiale <input type="button" value="C28/35"/>								
Spessore	Ct <input type="text" value="0.6"/>								
Diametro	Cd <input type="text" value="0.8"/>								
Passo	Cs <input type="text" value="0.9"/>								
Efficacia del calcestruzzo per il calcolo della rigidezza [0-1]									
ac <input type="text" value="1"/>									

Relazione di calcolo opere provvisionali

PROGETTO LOTTO CODIFICA DOCUMENTO REV. FOGLIO
IA8E 00 D 78 CL FV0103 003 A 23 DI 91

Sezione:Pali D80 - i 90

C28/35 - B450C Top Z: -1 m Bottom Z: -19 m

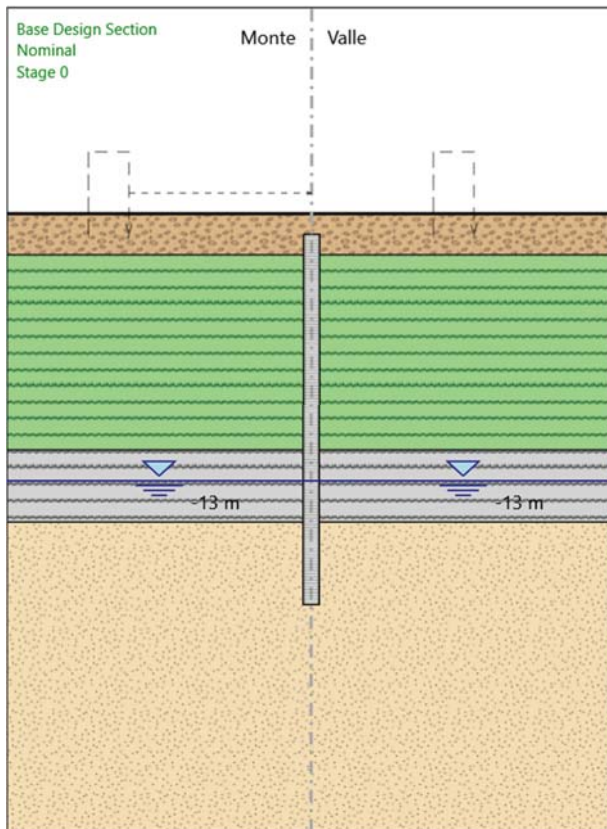


Relazione di calcolo opere provvisionali

PROGETTO	LOTTO	CODIFICA	DOCUMENTO	REV.	FOGLIO
IA8E	00	D 78 CL	FV0103 003	A	24 DI 91

9.3 Fasi di Calcolo

Stage 0



Scavo

Linea di scavo di sinistra (Orizzontale)

0 m

Linea di scavo di destra (Orizzontale)

0 m

Falda acquifera

Falda di sinistra : -13 m

Falda di destra : -13 m

Elementi strutturali

Paratia : WallElement

X : 0 m

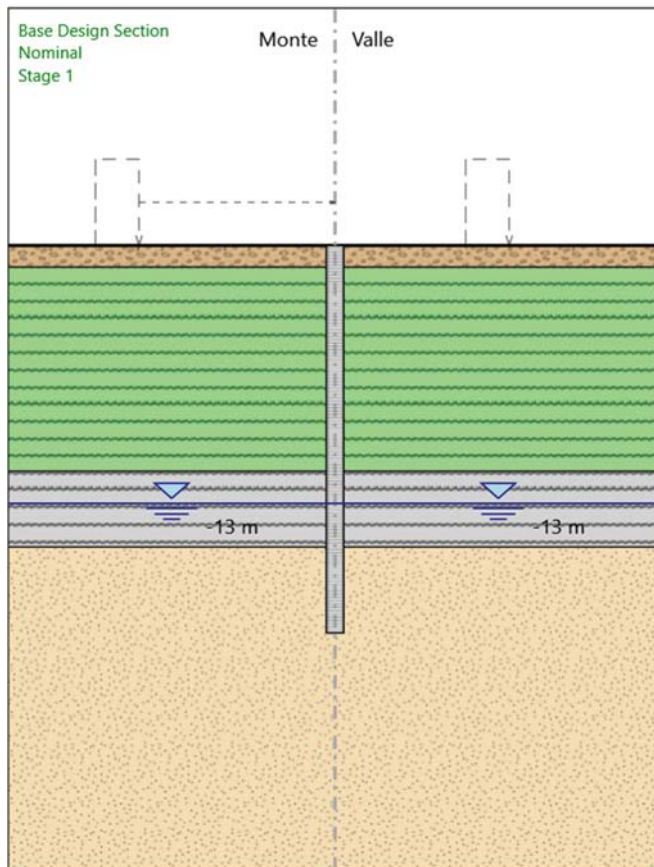
Quota in alto : -1 m

Quota di fondo : -19 m

Sezione : Pali D80 - i 90

Relazione di calcolo opere provvisionali

 PROGETTO LOTTO CODIFICA DOCUMENTO REV. FOGLIO
 IA8E 00 D 78 CL FV0103 003 A 25 DI 91

Stage 1

Scavo

Linea di scavo di sinistra (Orizzontale)

-1 m

Linea di scavo di destra (Orizzontale)

-1 m

Falda acquifera

Falda di sinistra : -13 m

Falda di destra : -13 m

Elementi strutturali

Paratia : WallElement

X : 0 m

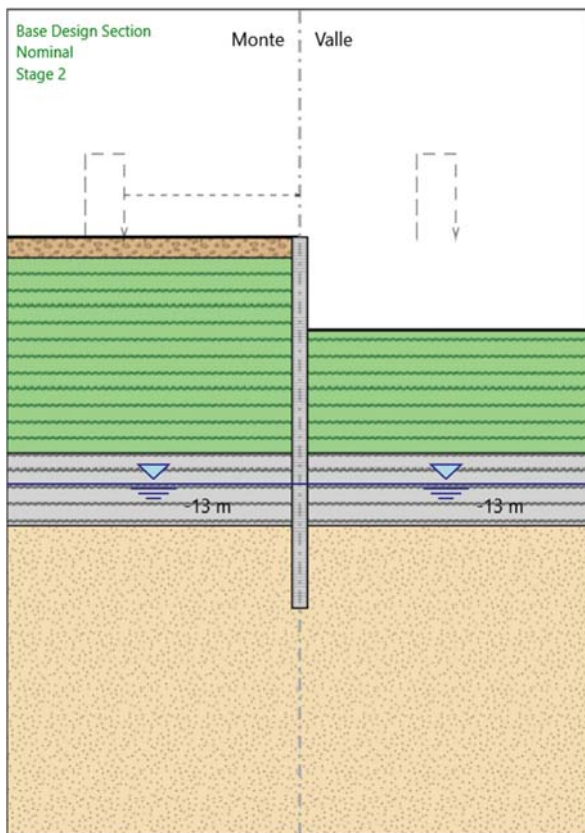
Quota in alto : -1 m

Quota di fondo : -19 m

Sezione : Pali D80 - i 90

Relazione di calcolo opere provvisionali

 PROGETTO LOTTO CODIFICA DOCUMENTO REV. FOGLIO
 IA8E 00 D 78 CL FV0103 003 A 26 DI 91

Stage 2

Scavo

Linea di scavo di sinistra (Orizzontale)

-1 m

Linea di scavo di destra (Orizzontale)

-5.5 m

Falda acquifera

Falda di sinistra : -13 m

Falda di destra : -13 m

Elementi strutturali

Paratia : WallElement

X : 0 m

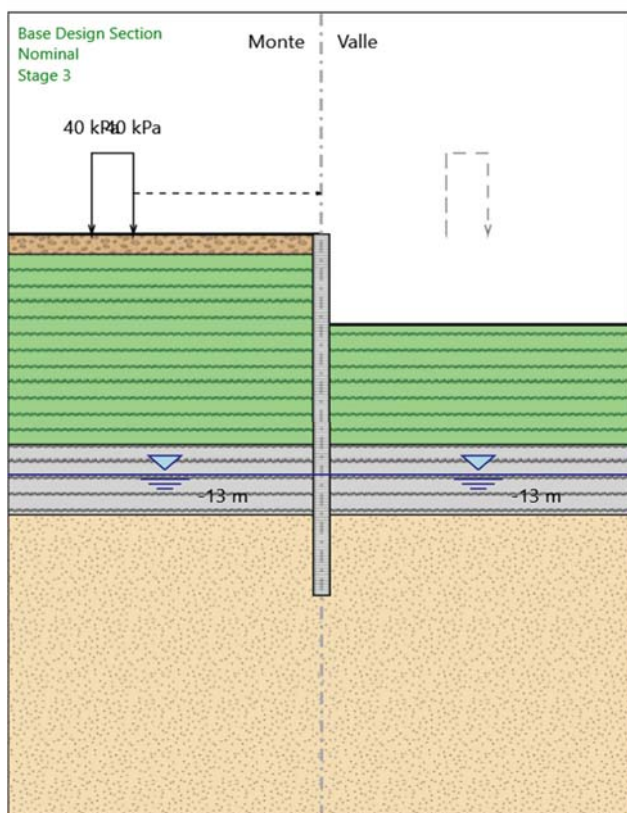
Quota in alto : -1 m

Quota di fondo : -19 m

Sezione : Pali D80 - i 90

Relazione di calcolo opere provvisionali

 PROGETTO LOTTO CODIFICA DOCUMENTO REV. FOGLIO
 IA8E 00 D 78 CL FV0103 003 A 27 DI 91

Stage 3

Scavo

Linea di scavo di sinistra (Orizzontale)

-1 m

Linea di scavo di destra (Orizzontale)

-5.5 m

Falda acquifera

Falda di sinistra : -13 m

Falda di destra : -13 m

Carichi

Carico lineare in superficie : SurfaceSurcharge

X iniziale : -11 m

X finale : -9 m

Pressione iniziale : 40 kPa

Pressione finale : 40 kPa

Elementi strutturali

Paratia : WallElement

X : 0 m

**PROGETTO DEFINITIVO****Linea Taranto – Brindisi****NUOVA STAZIONE DI NASISI****Relazione di calcolo opere provvisionali**

PROGETTO	LOTTO	CODIFICA	DOCUMENTO	REV.	FOGLIO
IA8E	00	D 78 CL	FV0103 003	A	28 DI 91

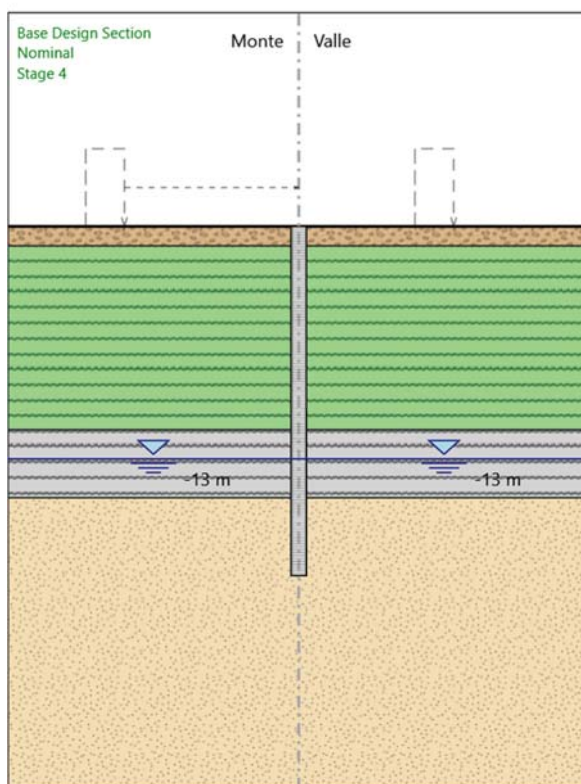
Quota in alto : -1 m

Quota di fondo : -19 m

Sezione : Pali D80 - i 90

Relazione di calcolo opere provvisionali

 PROGETTO LOTTO CODIFICA DOCUMENTO REV. FOGLIO
 IA8E 00 D 78 CL FV0103 003 A 29 DI 91

Stage 4

Scavo

Linea di scavo di sinistra (Orizzontale)

-1 m

Linea di scavo di destra (Orizzontale)

-1 m

Falda acquifera

Falda di sinistra : -13 m

Falda di destra : -13 m

Elementi strutturali

Paratia : WallElement

X : 0 m

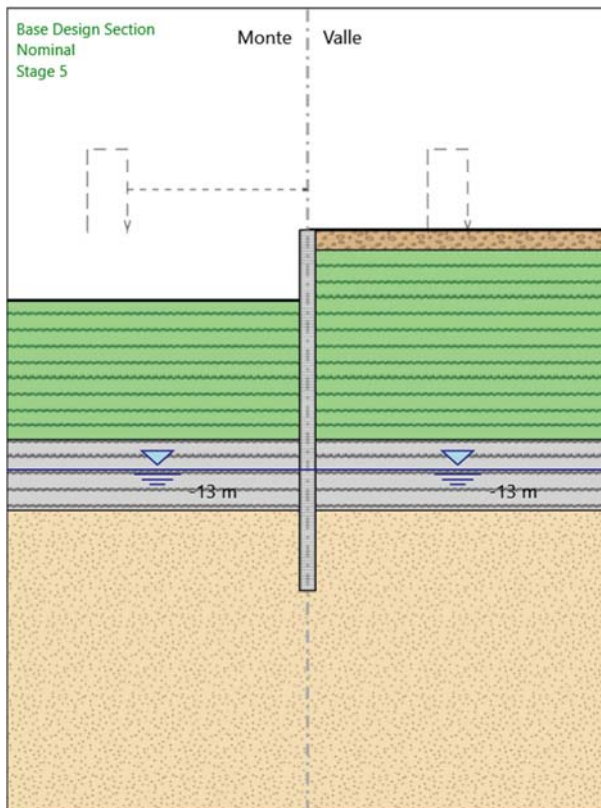
Quota in alto : -1 m

Quota di fondo : -19 m

Sezione : Pali D80 - i 90

Relazione di calcolo opere provvisionali

 PROGETTO LOTTO CODIFICA DOCUMENTO REV. FOGLIO
 IA8E 00 D 78 CL FV0103 003 A 30 DI 91

Stage 5

Scavo

Linea di scavo di sinistra (Orizzontale)

-4.5 m

Linea di scavo di destra (Orizzontale)

-1 m

Falda acquifera

Falda di sinistra : -13 m

Falda di destra : -13 m

Elementi strutturali

Paratia : WallElement

X : 0 m

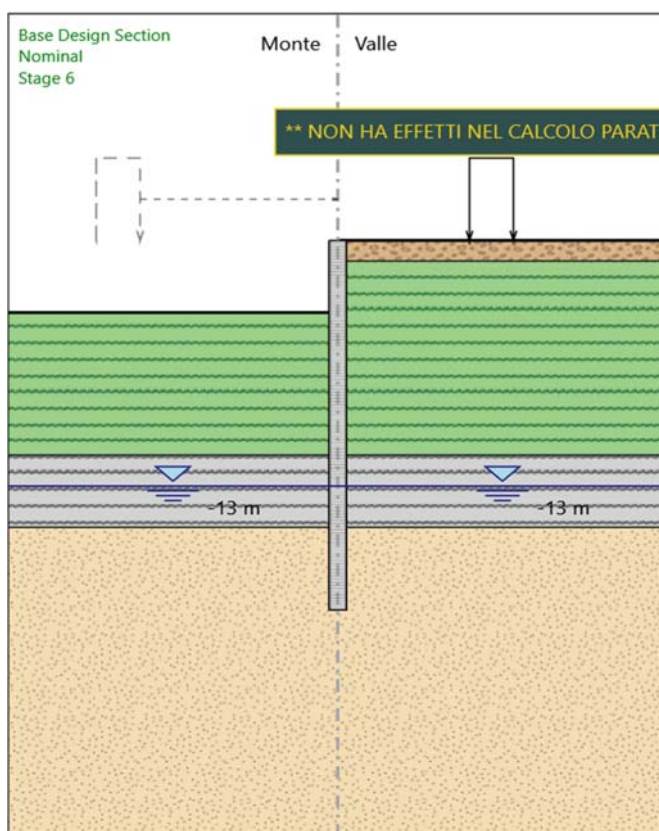
Quota in alto : -1 m

Quota di fondo : -19 m

Sezione : Pali D80 - i 90

Relazione di calcolo opere provvisoriali

 PROGETTO LOTTO CODIFICA DOCUMENTO REV. FOGLIO
 IA8E 00 D 78 CL FV0103 003 A 31 DI 91

Stage 6

Scavo

Linea di scavo di sinistra (Orizzontale)

-4.5 m

Linea di scavo di destra (Orizzontale)

-1 m

Falda acquifera

Falda di sinistra : -13 m

Falda di destra : -13 m

Carichi

Carico lineare in superficie : SurfaceSurcharge

X iniziale : 6 m

X finale : 8 m

Pressione iniziale : 40 kPa

Pressione finale : 40 kPa

Elementi strutturali

Paratia : WallElement

**PROGETTO DEFINITIVO****Linea Taranto – Brindisi****NUOVA STAZIONE DI NASISI****Relazione di calcolo opere provvisionali**

PROGETTO	LOTTO	CODIFICA	DOCUMENTO	REV.	FOGLIO
IA8E	00	D 78 CL	FV0103 003	A	32 DI 91

X : 0 m

Quota in alto : -1 m

Quota di fondo : -19 m

Sezione : Pali D80 - i 90

9.4 Riepilogo Stage / Design Assumption per Inviluppo

Design Assumption	Stage 0	Stage 1	Stage 2	Stage 3	Stage 4	Stage 5	Stage 6
NTC2018: SLE (Rara/Frequente/Quasi Permanente)	V	V	V	V	V	V	V
NTC2018: A1+M1+R1 (R3 per tiranti)	V	V	V	V	V	V	V
NTC2018: A2+M2+R1	V	V	V	V	V	V	V
NTC2018: A2+M2+R2	V	V	V	V	V	V	V

 GRUPPO FERROVIE DELLO STATO ITALIANE	PROGETTO DEFINITIVO Linea Taranto – Brindisi NUOVA STAZIONE DI NASISI					
Relazione di calcolo opere provvisionali	PROGETTO IA8E	LOTTO 00	CODIFICA D 78 CL	DOCUMENTO FV0103 003	REV. A	FOGLIO 33 DI 91

9.5 Riepilogo Risultati

Riepilogo per la DA <Nominal>

Parete <Left Wall>

Min. spostamento laterale [mm]	-24.98	Z = -1 m	D.A. Nominal
(Stage 6) Max. spostamento laterale [mm]	34.93	Z = -1 m	D.A. Nominal
(Stage 3)			
Max. Rapporto Spinte (Efficace/Passiva) (Lato SX)	0.26	D.A. Nominal	
(Stage 6) Max. Rapporto Spinte (Efficace/Passiva) (Lato DX)	0.29	D.A. Nominal	
(Stage 2)			

10 Risultati Elementi parete (Beam)

WallElement Max. momento (assoluto) [kNm/m]	597.59	Z = -13.2 m	D.A. Nominal
(Stage 3)			
Max. taglio [kN/m]	240.79	Z = -15.2 m	D.A. Nominal
(Stage 3)			

Riepilogo per la DA <NTC2018: SLE (Rara)>

Parete <Left Wall>

Min. spostamento laterale [mm]	-24.98	Z = -1 m	D.A. NTC2018:
SLE (Rara) (Stage 6)			
Max. spostamento laterale [mm]	34.93	Z = -1 m	D.A. NTC2018:
SLE (Rara) (Stage 3)			
Max. Rapporto Spinte (Efficace/Passiva) (Lato SX)	0.26	D.A. NTC2018: SLE (Rara) (Stage 6)	
Max. Rapporto Spinte (Efficace/Passiva) (Lato DX)	0.29	D.A. NTC2018: SLE (Rara) (Stage 2)	

Risultati Elementi parete (Beam)

WallElement Max. momento (assoluto) [kNm/m]	597.59	Z = -13.2 m	NTC2018: SLE (Rara)
(Stage 3)			
Max. taglio [kN/m]	240.79	Z = -15.2 m	NTC2018:SLE (Rara)
(Stage 3)			

**PROGETTO DEFINITIVO****Linea Taranto – Brindisi****NUOVA STAZIONE DI NASISI****Relazione di calcolo opere provvisionali**

PROGETTO	LOTTO	CODIFICA	DOCUMENTO	REV.	FOGLIO
IA8E	00	D 78 CL	FV0103 003	A	34 DI 91

Riepilogo per la DA <NTC2018: A1+M1+R1 >**Parete <Left Wall>**

Min. spostamento laterale [mm]	-24.95	Z = -1 m	D.A. NTC2018:
A1+M1+R1 (Stage 6)			
Max. spostamento laterale [mm]	34.99	Z = -1 m	D.A. NTC2018:
A1+M1+R1 (Stage 3)			
Max. Rapporto Spinte (Efficace/Passiva) (Lato SX)	0.26		D.A. NTC2018:
A1+M1+R1 (Stage 6)			
Max. Rapporto Spinte (Efficace/Passiva) (Lato DX)	0.29		D.A. NTC2018:
A1+M1+R1 (Stage 2)			

Risultati Elementi parete (Beam)

WallElement Max. momento (assoluto) [kNm/m]	780.15	Z = -13.2 m	D.A. NTC2018:
A1+M1+R1 (Stage 3)			
Max. taglio [kN/m]	314.42	Z = -15.2 m	D.A. NTC2018:
A1+M1+R1 (Stage 3)			

Riepilogo per la DA <NTC2018: A2+M2+R1>**Parete <Left Wall>**

Min. spostamento laterale [mm]	-28.41	Z = -1 m	D.A. NTC2018: A2+M2+R1
(Stage 6)			
Max. spostamento laterale [mm]	48.77	Z = -1 m	D.A. NTC2018: A2+M2+R1
(Stage 3)			
Max. Rapporto Spinte (Efficace/Passiva) (Lato SX)	0.34		D.A. NTC2018: A2+M2+R1 (Stage 6)
Max. Rapporto Spinte (Efficace/Passiva) (Lato DX)	0.37		D.A. NTC2018: A2+M2+R1 (Stage 2)

Risultati Elementi parete (Beam)

WallElement Max. momento (assoluto) [kNm/m]	605.87	Z = -12.4 m	D.A. NTC2018:
A2+M2+R1 (Stage 3)			
Max. taglio [kN/m]	205.13	Z = -15.2 m	D.A. NTC2018:
A2+M2+R1 (Stage 3)			

 GRUPPO FERROVIE DELLO STATO ITALIANE	PROGETTO DEFINITIVO Linea Taranto – Brindisi NUOVA STAZIONE DI NASISI					
Relazione di calcolo opere provvisionali	PROGETTO IA8E	LOTTO 00	CODIFICA D 78 CL	DOCUMENTO FV0103 003	REV. A	FOGLIO 35 DI 91

Riepilogo per la DA <NTC2018: A2+M2+R2>

Parete <Left Wall>

Min. spostamento laterale [mm]	-31.95	Z = -1 m	D.A. NTC2018:
A2+M2+R2 (Stage 6)			
Max. spostamento laterale [mm]	64.19	Z = -1 m	D.A. NTC2018:
A2+M2+R2 (Stage 3)			
Max. Rapporto Spinte (Efficace/Passiva) (Lato SX)	0.38		D.A. NTC2018:
A2+M2+R2 (Stage 6)			
Max. Rapporto Spinte (Efficace/Passiva) (Lato DX)	0.41		D.A. NTC2018:
A2+M2+R2 (Stage 2)			

WallElement Riepilogo per tutte le Design Assumption (DA) attive

Parete <Left Wall>

Max. Rapporto Spinte (Efficace/Passiva) (Lato SX)	0.38	D.A. NTC2018: A2+M2+R2 (Stage 6)
Max. Rapporto Spinte (Efficace/Passiva) (Lato DX)	0.41	D.A. NTC2018: A2+M2+R2 (Stage 2)

Risultati Elementi parete (Beam)

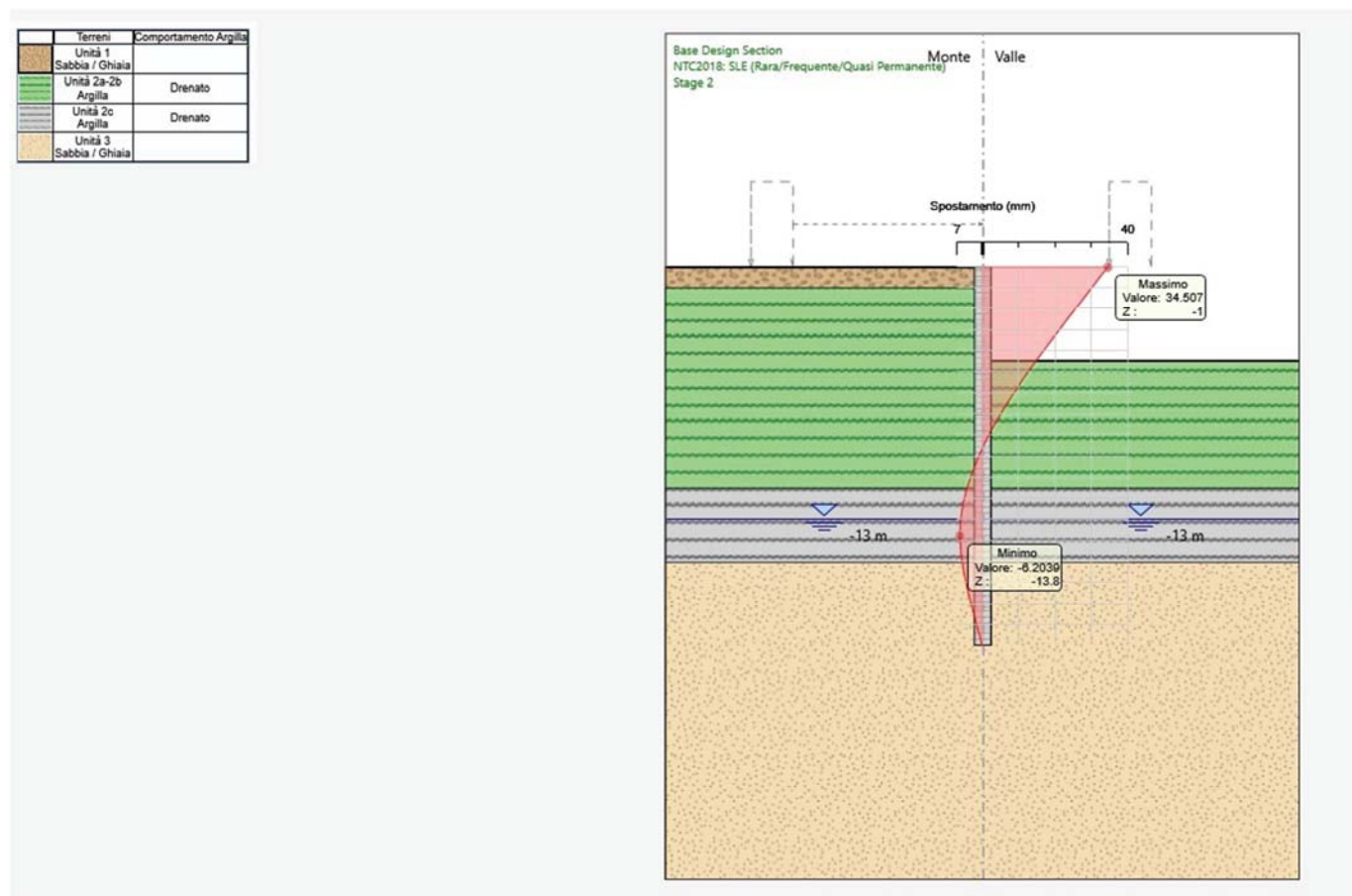
WallElement Max. momento (assoluto) [kNm/m]	780.15	Z = -13.2 m	D.A. NTC2018:
A1+M1+R1 (Stage 3)			
Max. taglio [kN/m]	314.42	Z = -15.2 m	D.A. NTC2018:
A1+M1+R1 (Stage 3)			
Caver: max. sfruttamento a flessione	0.712	Z = -12 m	D.A. NTC2018:
A2+M2+R2 (Stage 3)			
Caver: max. sfruttamento a taglio	0.599	Z = -15.2 m	D.A. NTC2018:
A2+M2+R2 (Stage 3)			

Relazione di calcolo opere provvisionali

PROGETTO	LOTTO	CODIFICA	DOCUMENTO	REV.	FOGLIO
IA8E	00	D 78 CL	FV0103 003	A	36 DI 91

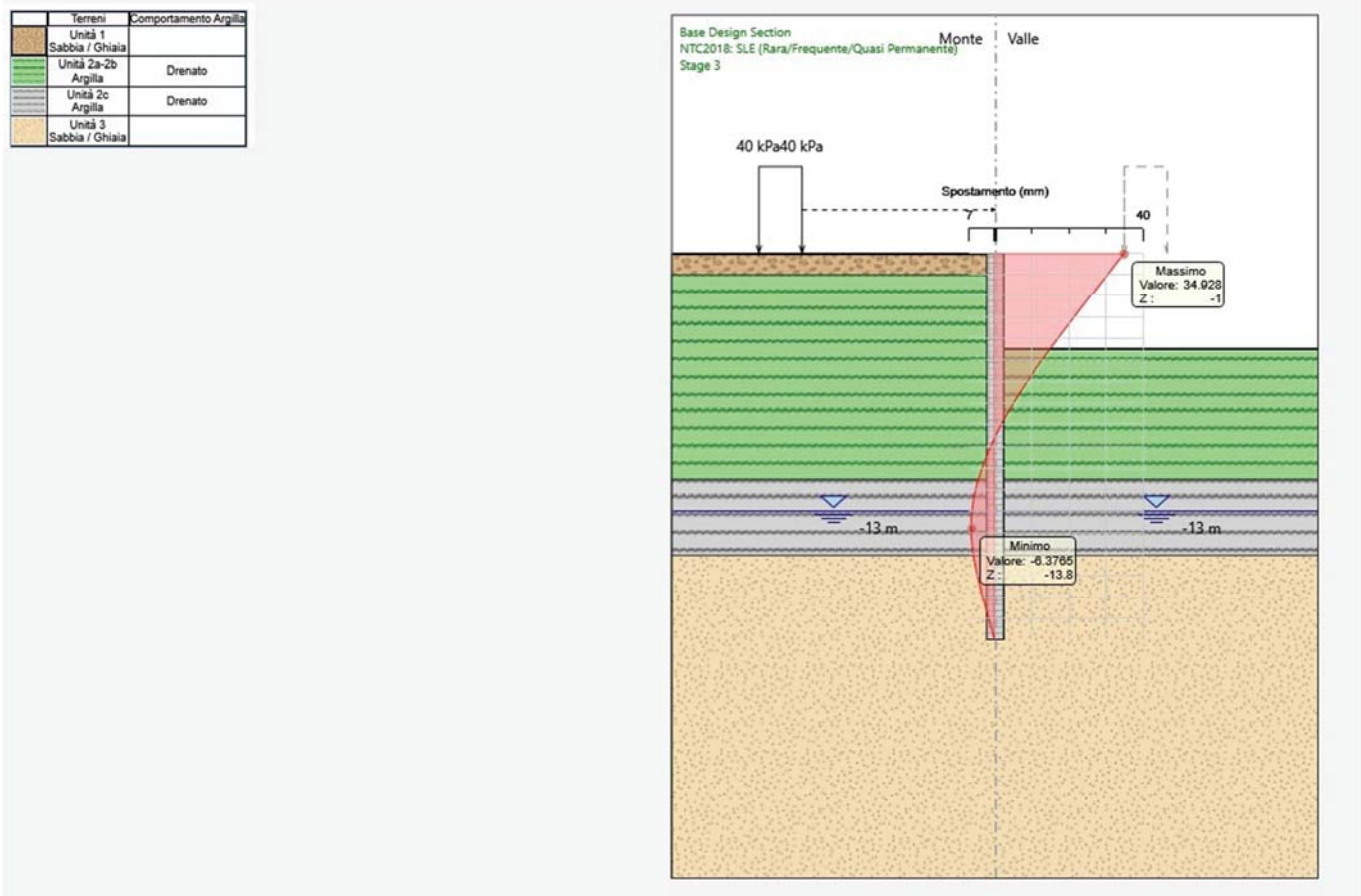
10.1 Grafici dei Risultati – Spostamenti

Grafico Spostamento SLE rara - Stage: Stage 2



Relazione di calcolo opere provvisionali

 PROGETTO LOTTO CODIFICA DOCUMENTO REV. FOGLIO
 IA8E 00 D 78 CL FV0103 003 A 37 DI 91

Grafico Spostamento SLE rara - Stage: Stage 3


PROGETTO DEFINITIVO

Linea Taranto – Brindisi

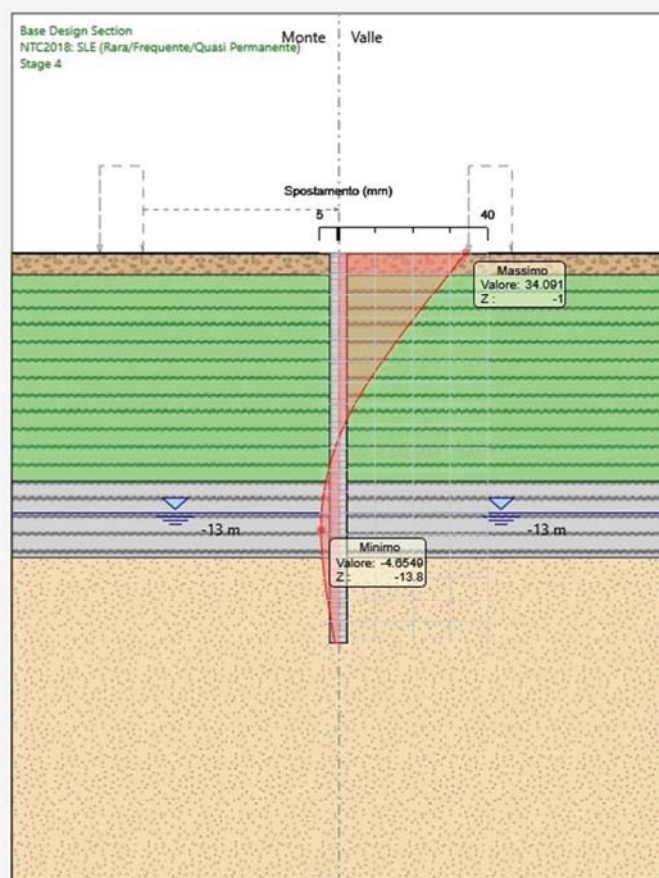
NUOVA STAZIONE DI NASISI

Relazione di calcolo opere provvisionali

PROGETTO	LOTTO	CODIFICA	DOCUMENTO	REV.	FOGLIO
IA8E	00	D 78 CL	FV0103 003	A	38 DI 91

Grafico Spostamento SLE rara - Stage: Stage 4

Terreni	Comportamento Argilla
Unità 1 Sabbia / Ghiaia	
Unità 2a-2b Argilla	Drenato
Unità 2c Argilla	Drenato
Unità 3 Sabbia / Ghiaia	





PROGETTO DEFINITIVO

Linea Taranto – Brindisi

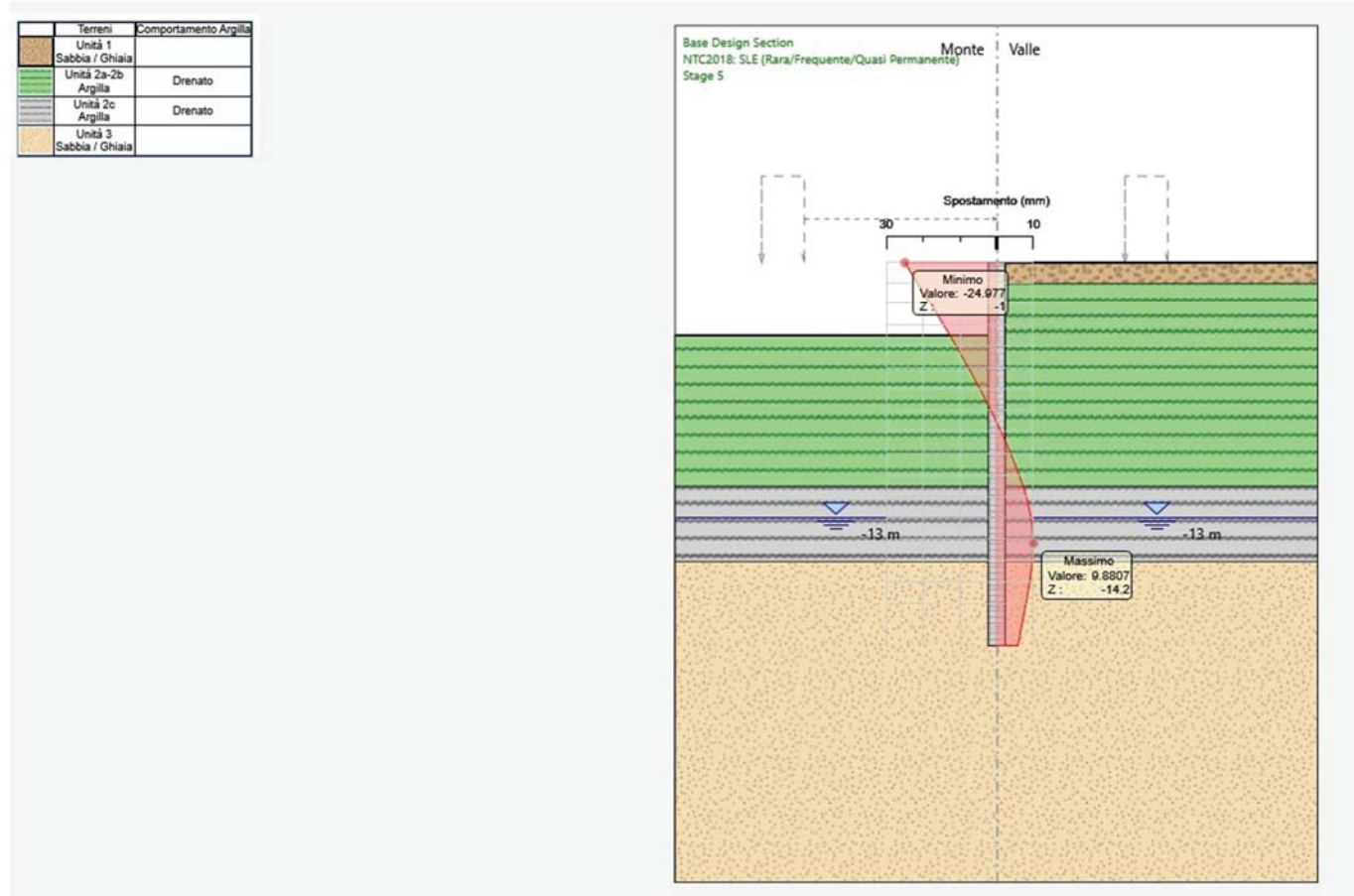
NUOVA STAZIONE DI NASISI

Relazione di calcolo opere provvisionali

PROGETTO	LOTTO	CODIFICA DOCUMENTO	REV.
IA8E	00	D 78 CL FV0103 003	A

FOGLIO
39 DI 91

Grafico Spostamento SLE rara - Stage: Stage 5



PROGETTO DEFINITIVO

Linea Taranto – Brindisi

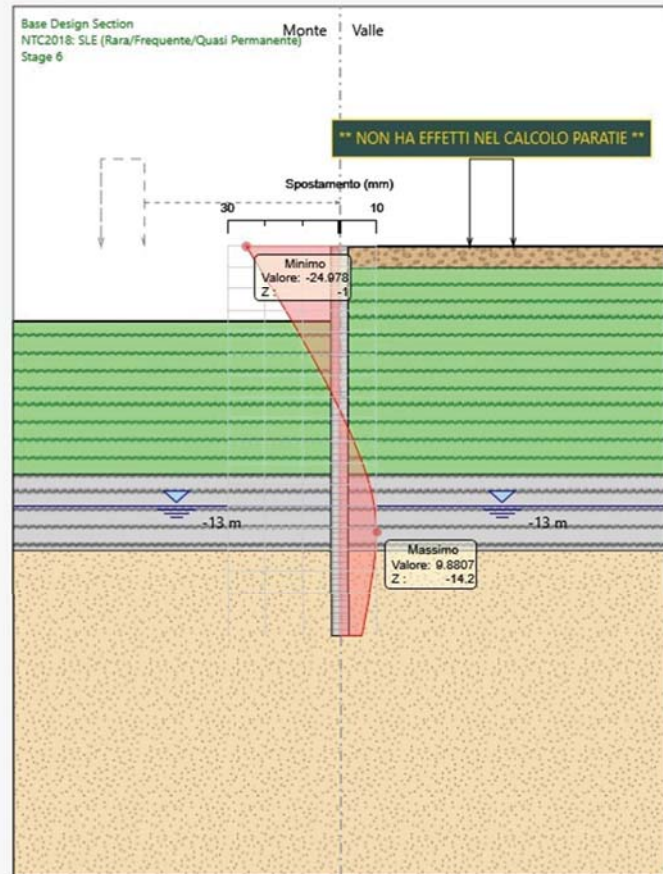
NUOVA STAZIONE DI NASISI

Relazione di calcolo opere provvisionali

PROGETTO IA8E	LOTTO 00	CODIFICA D 78 CL	DOCUMENTO FV0103 003	REV. A	FOGLIO 40 DI 91
------------------	-------------	---------------------	-------------------------	-----------	--------------------

Grafico Spostamento SLE rara - Stage: Stage 6

Terreni	Comportamento Argilla
Unità 1 Sabbia / Ghiaia	
Unità 2a-2b Argilla	Drenato
Unità 2c Argilla	Drenato
Unità 3 Sabbia / Ghiaia	



Relazione di calcolo opere provvisionali

 PROGETTO LOTTO CODIFICA DOCUMENTO REV. FOGLIO
 IA8E 00 D 78 CL FV0103 003 A 41 DI 91

10.2 Risultati Paratia
Tabella Inviluppi Tasso di Sfruttamento a Momento

Inviluppi Tasso di Sfruttamento a Momento - Caver		LEFT
Z (m)	Tasso di Sfruttamento a Momento - Caver	
-2	0.01	
-2.2	0.01	
-2.4	0.014	
-2.6	0.019	
-2.8	0.026	
-3	0.033	
-3.2	0.042	
-3.4	0.051	
-3.6	0.062	
-3.8	0.073	
-4	0.086	
-4.2	0.099	
-4.4	0.114	
-4.6	0.129	
-4.8	0.146	
-5	0.163	
-5.2	0.181	
-5.4	0.201	
-5.6	0.221	
-5.8	0.242	
-6	0.264	
-6.2	0.287	
-6.4	0.311	
-6.6	0.336	
-6.8	0.361	
-7	0.388	
-7.2	0.414	
-7.4	0.441	
-7.6	0.468	
-7.8	0.493	
-8	0.518	
-8.2	0.541	
-8.4	0.563	
-8.6	0.582	
-8.8	0.6	
-9	0.614	
-9.2	0.627	
-9.4	0.637	
-9.6	0.645	
-9.8	0.651	
-10	0.655	
-10.2	0.656	
-10.4	0.655	
-10.6	0.662	
-10.8	0.67	
-11	0.679	
-11.2	0.687	
-11.4	0.696	
-11.6	0.706	
-11.8	0.711	
-12	0.712	
-12.2	0.709	
-12.4	0.703	



PROGETTO DEFINITIVO

Linea Taranto – Brindisi

NUOVA STAZIONE DI NASISI

Relazione di calcolo opere provvisionali

PROGETTO LOTTO CODIFICA DOCUMENTO REV. FOGLIO
IA8E 00 D 78 CL FV0103 003 A 42 DI 91

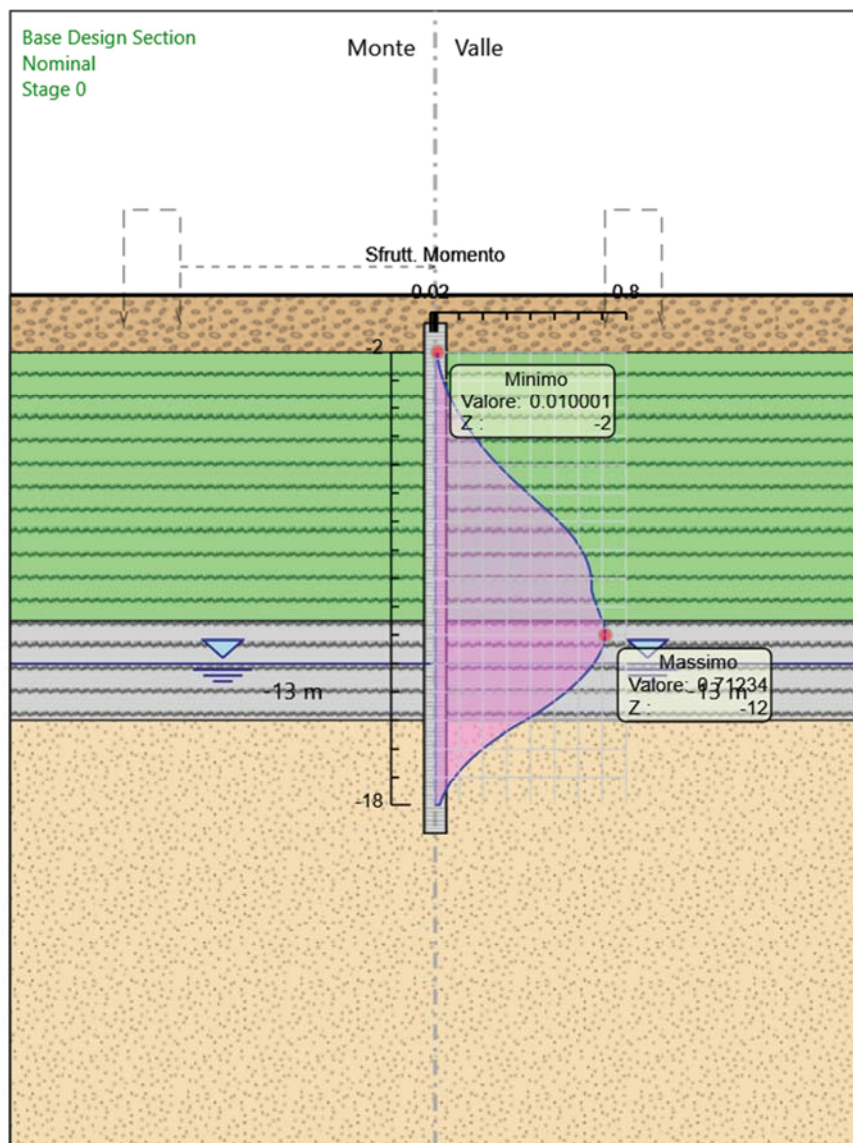
Inviluppi Tasso di Sfruttamento a Momento - Caver

LEFT

Z (m)	Tasso di Sfruttamento a Momento - Caver
-12.6	0.693
-12.8	0.68
-13	0.664
-13.2	0.646
-13.4	0.625
-13.6	0.602
-13.8	0.576
-14	0.549
-14.2	0.519
-14.4	0.487
-14.6	0.454
-14.8	0.417
-15	0.378
-15.2	0.337
-15.4	0.298
-15.6	0.262
-15.8	0.229
-16	0.198
-16.2	0.17
-16.4	0.144
-16.6	0.121
-16.8	0.1
-17	0.081
-17.2	0.064
-17.4	0.05
-17.6	0.038
-17.8	0.027
-18	0.019

Relazione di calcolo opere provvisoriali

 PROGETTO LOTTO CODIFICA DOCUMENTO REV. FOGLIO
 IA8E 00 D 78 CL FV0103 003 A 43 DI 91

Grafico Inviluppi Tasso di Sfruttamento a Momento


**PROGETTO DEFINITIVO****Linea Taranto – Brindisi****NUOVA STAZIONE DI NASISI****Relazione di calcolo opere provvisionali**

PROGETTO	LOTTO	CODIFICA	DOCUMENTO	REV.	FOGLIO
IA8E	00	D 78 CL	FV0103 003	A	44 DI 91

Tabella Inviluppi Tasso di Sfruttamento a Taglio

Inviluppi Tasso di Sfruttamento a Taglio - Caver	LEFT
Z (m)	Tasso di Sfruttamento a Taglio - Caver
-2	0.05
-2.2	0.065
-2.4	0.079
-2.6	0.094
-2.8	0.108
-3	0.123
-3.2	0.137
-3.4	0.152
-3.6	0.166
-3.8	0.18
-4	0.195
-4.2	0.209
-4.4	0.223
-4.6	0.237
-4.8	0.251
-5	0.265
-5.2	0.279
-5.4	0.296
-5.6	0.321
-5.8	0.342
-6	0.36
-6.2	0.374
-6.4	0.385
-6.6	0.392
-6.8	0.395
-7	0.395
-7.2	0.395
-7.4	0.391
-7.6	0.384
-7.8	0.373
-8	0.358
-8.2	0.34
-8.4	0.318
-8.6	0.293
-8.8	0.265
-9	0.24
-9.2	0.218
-9.4	0.198
-9.6	0.18
-9.8	0.165
-10	0.152
-10.2	0.178
-10.4	0.206
-10.6	0.229
-10.8	0.254
-11	0.279
-11.2	0.306
-11.4	0.334
-11.6	0.334
-11.8	0.281
-12	0.231
-12.2	0.223
-12.4	0.239
-12.6	0.255
-12.8	0.27
-13	0.284



PROGETTO DEFINITIVO

Linea Taranto – Brindisi

NUOVA STAZIONE DI NASISI

Relazione di calcolo opere provvisionali

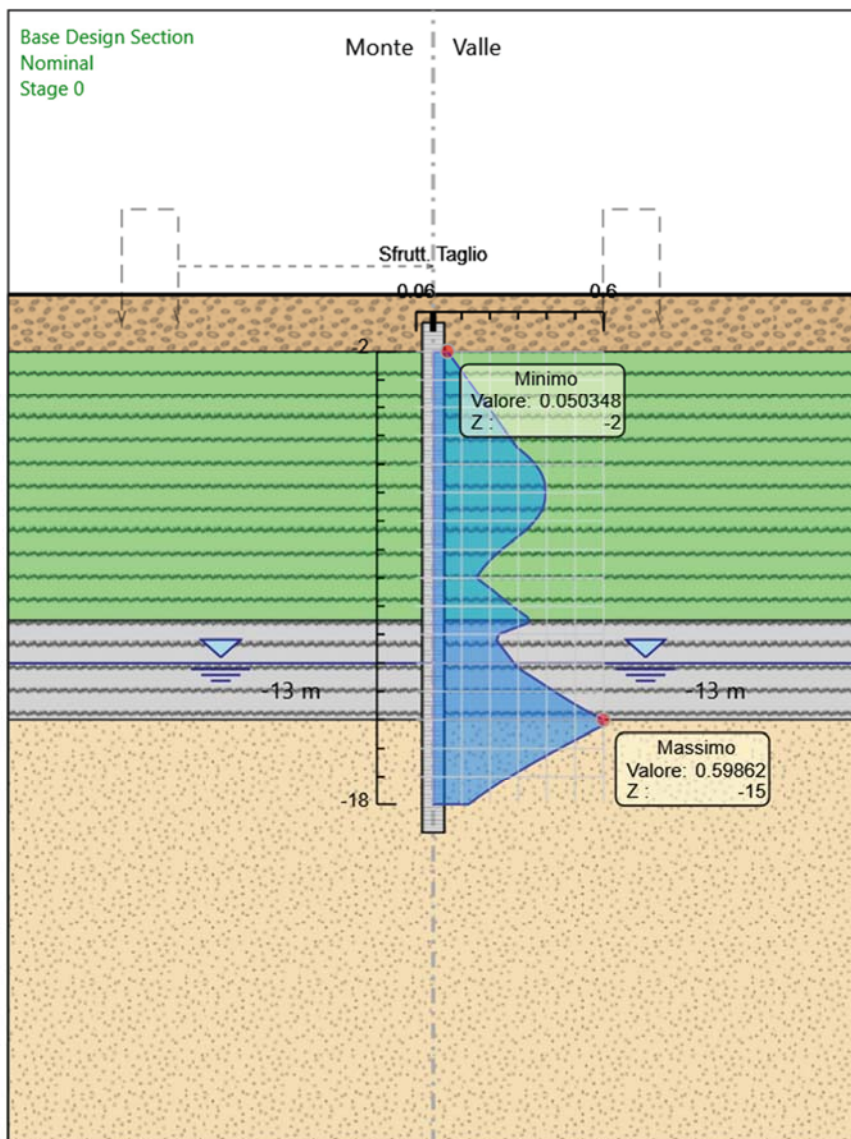
PROGETTO	LOTTO	CODIFICA	DOCUMENTO	REV.	FOGLIO
IA8E	00	D 78 CL	FV0103 003	A	45 DI 91

Inviluppi Tasso di Sfruttamento a Taglio - Caver	
Z (m)	LEFT
-13.2	0.302
-13.4	0.335
-13.6	0.366
-13.8	0.396
-14	0.427
-14.2	0.458
-14.4	0.49
-14.6	0.524
-14.8	0.56
-15	0.599
-15.2	0.599
-15.4	0.559
-15.6	0.52
-15.8	0.482
-16	0.444
-16.2	0.408
-16.4	0.372
-16.6	0.337
-16.8	0.303
-17	0.271
-17.2	0.239
-17.4	0.209
-17.6	0.18
-17.8	0.152
-18	0.125

Relazione di calcolo opere provvisionali

PROGETTO IA8E	LOTTO 00	CODIFICA D 78 CL	DOCUMENTO FV0103 003	REV. A	FOGLIO 46 DI 91
------------------	-------------	---------------------	-------------------------	-----------	--------------------

Grafico Involuppi Tasso di Sfruttamento a Taglio

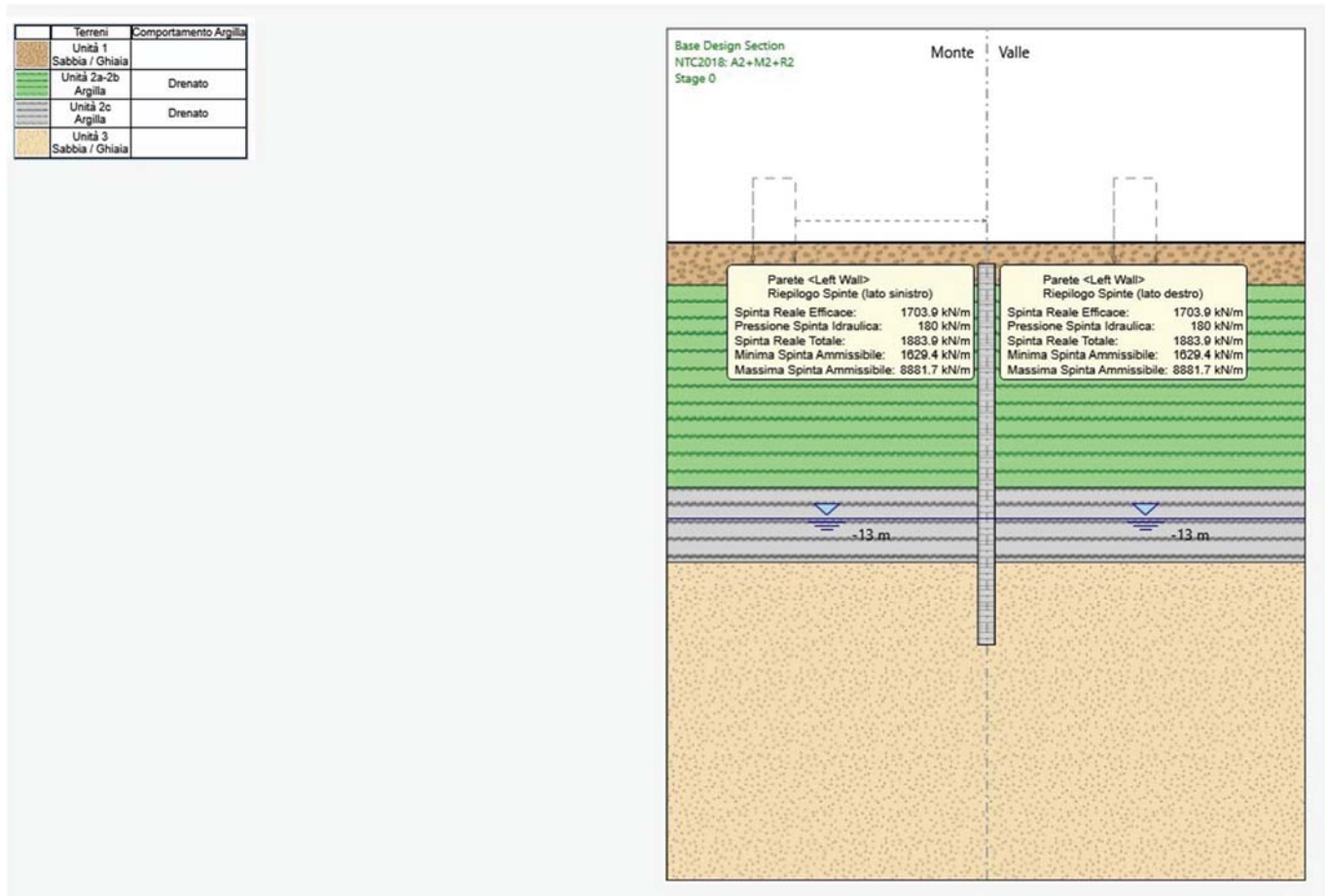


Relazione di calcolo opere provvisionali

 PROGETTO LOTTO CODIFICA DOCUMENTO REV. FOGLIO
 IA8E 00 D 78 CL FV0103 003 A 47 DI 91

10.3 Grafici dei Risultati – Riepilogo spinte
Grafico Riepilogativo spinte A2+M2+R2 - Stage: Stage 0

Terreni	Comportamento Argilla
Unità 1 Sabbia / Ghiaia	
Unità 2a-2b Argilla	Drenato
Unità 2c Argilla	Drenato
Unità 3 Sabbia / Ghiaia	



PROGETTO DEFINITIVO
Linea Taranto – Brindisi
NUOVA STAZIONE DI NASISI
Relazione di calcolo opere provvisionali

 PROGETTO LOTTO CODIFICA DOCUMENTO REV. FOGLIO
 IA8E 00 D 78 CL FV0103 003 A 48 DI 91

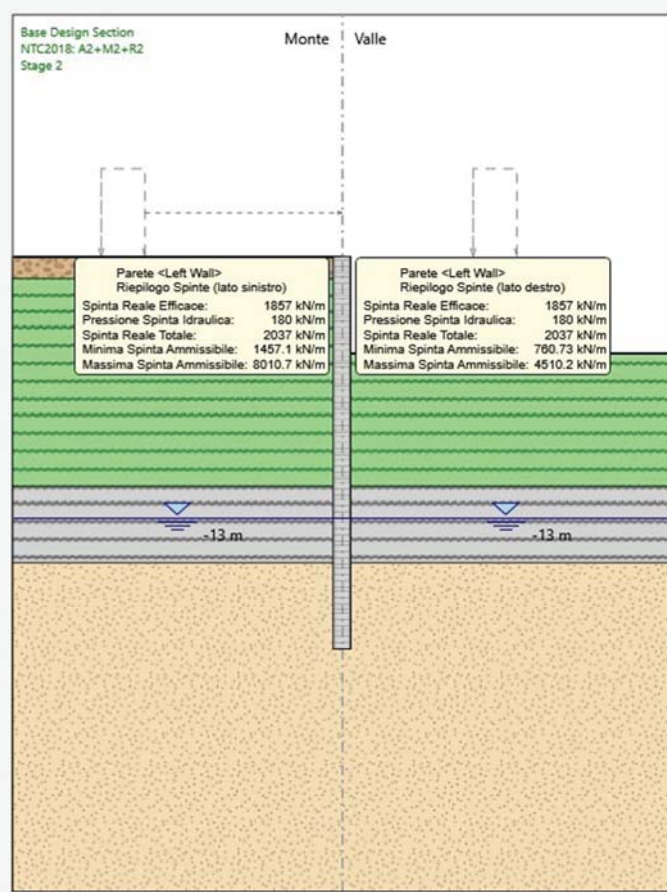
Grafico Riepilogativo spinte A2+M2+R2 - Stage: Stage 1


PROGETTO DEFINITIVO
Linea Taranto – Brindisi
NUOVA STAZIONE DI NASISI
Relazione di calcolo opere provvisionali

 PROGETTO LOTTO CODIFICA DOCUMENTO REV. FOGLIO
 IA8E 00 D 78 CL FV0103 003 A 49 DI 91

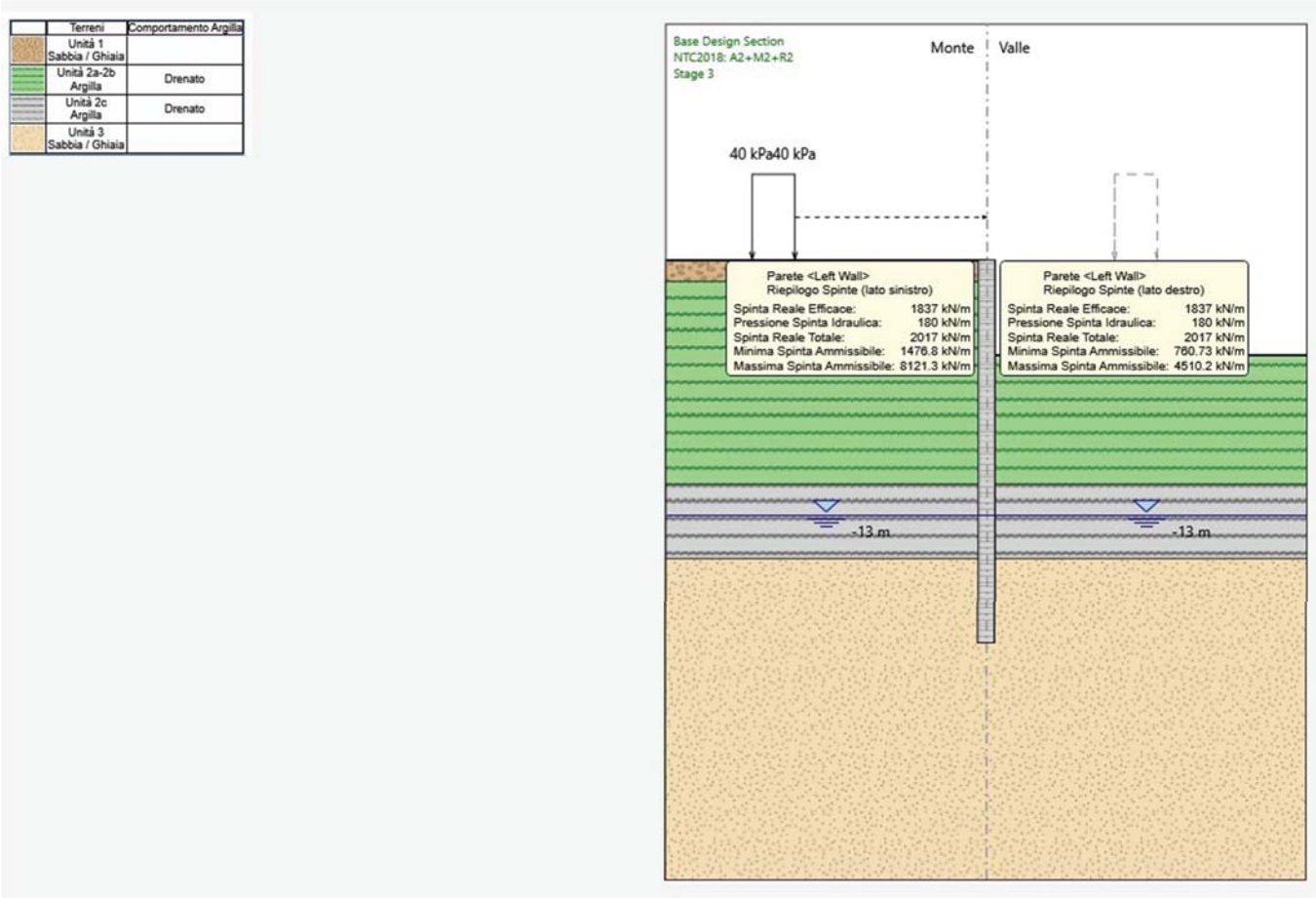
Grafico Riepilogativo spinte A2+M2+R2 - Stage: Stage 2

Terreni	Comportamento Argilla
Unità 1 Sabbia / Ghiaia	
Unità 2a-2b Argilla	Drenato
Unità 2c Argilla	Drenato
Unità 3 Sabbia / Ghiaia	



PROGETTO DEFINITIVO
Linea Taranto – Brindisi
NUOVA STAZIONE DI NASISI
Relazione di calcolo opere provvisionali

 PROGETTO LOTTO CODIFICA DOCUMENTO REV. FOGLIO
 IA8E 00 D 78 CL FV0103 003 A 50 DI 91

Grafico Riepilogativo spinte A2+M2+R2 - Stage: Stage 3


PROGETTO DEFINITIVO
Linea Taranto – Brindisi
NUOVA STAZIONE DI NASISI
Relazione di calcolo opere provvisionali

 PROGETTO LOTTO CODIFICA DOCUMENTO REV. FOGLIO
 IA8E 00 D 78 CL FV0103 003 A 51 DI 91

Grafico Riepilogativo spinte A2+M2+R2 - Stage: Stage 4

Terreni	Comportamento Argilla
Unità 1 Sabbia / Ghiaia	
Unità 2a-2b Argilla	Drenato
Unità 2c Argilla	Drenato
Unità 3 Sabbia / Ghiaia	



PROGETTO DEFINITIVO
Linea Taranto – Brindisi
NUOVA STAZIONE DI NASISI
Relazione di calcolo opere provvisionali

 PROGETTO LOTTO CODIFICA DOCUMENTO REV. FOGLIO
 IA8E 00 D 78 CL FV0103 003 A 52 DI 91

Grafico Riepilogativo spinte A2+M2+R2 - Stage: Stage 5

Terreni	Comportamento Argilla
Unità 1 Sabbia / Ghiaia	
Unità 2a-2b Argilla	Drenato
Unità 2c Argilla	Drenato
Unità 3 Sabbia / Ghiaia	

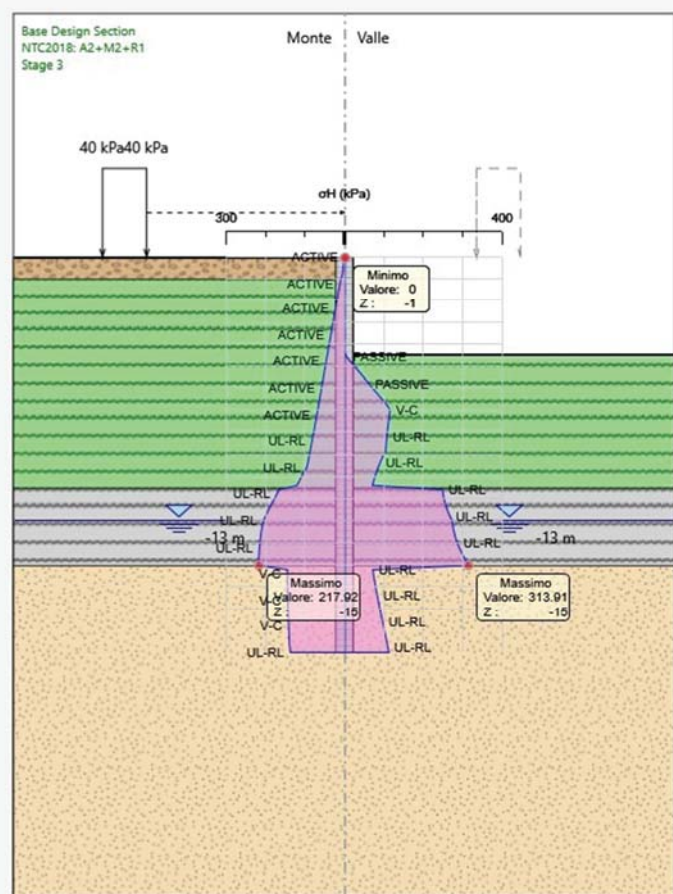


PROGETTO DEFINITIVO
Linea Taranto – Brindisi
NUOVA STAZIONE DI NASISI
Relazione di calcolo opere provvisoriali

 PROGETTO LOTTO CODIFICA DOCUMENTO REV. FOGLIO
 IA8E 00 D 78 CL FV0103 003 A 53 DI 91

Grafico Risultati Terreno Sigma H

Terreni	Comportamento Argilla
Unità 1 Sabbia / Ghiaia	
Unità 2a-2b Argilla	Drenato
Unità 2c Argilla	Drenato
Unità 3 Sabbia / Ghiaia	



**PROGETTO DEFINITIVO****Linea Taranto – Brindisi****NUOVA STAZIONE DI NASISI****Relazione di calcolo opere provvisionali**

PROGETTO	LOTTO	CODIFICA	DOCUMENTO	REV.	FOGLIO
IA8E	00	D 78 CL	FV0103 003	A	54 DI 91

Inviluppo Spinta Reale Efficace / Spinta Passiva

Design Assumption	Stage	Muro	Lato	Inviluppo Spinta Reale Efficace / Spinta Passiva	%
NTC2018: A2+M2+R2	Stage 5	Left Wall	LEFT	37.95	
NTC2018: A2+M2+R2	Stage 2	Left Wall	RIGHT	41.17	

**PROGETTO DEFINITIVO****Linea Taranto – Brindisi****NUOVA STAZIONE DI NASISI****Relazione di calcolo opere provvisionali**

PROGETTO	LOTTO	CODIFICA	DOCUMENTO	REV.	FOGLIO
IA8E	00	D 78 CL	FV0103 003	A	55 DI 91

11 INCIDENZE ARMATURE

Sulla base del dimensionamento delle sezioni maggiormente sollecitate, si riporta di seguito il prospetto sintetico relativo all'incidenza di armatura per i singoli elementi strutturali.

Elemento strutturale	INCIDENZA
	(kg/mc)
Paratia provvisoria	
Pali Ø 800	180
Cordolo di sommità	80



PROGETTO DEFINITIVO

Linea Taranto – Brindisi

NUOVA STAZIONE DI NASISI

Relazione di calcolo opere provvisionali

PROGETTO LOTTO CODIFICA DOCUMENTO REV. FOGLIO
IA8E 00 D 78 CL FV0103 003 A 56 DI 91

12 ALLEGATI

12.1 Design Assumption : Nominal - File di Paratie - File di output (.out)

```
+-----+  
| PARATIEPLUS(TM)    NLS ENGINE RELEASE 2020BETA FULL VERSION *Build date:Aug 27, 2019* |  
| |  
| |                      NewProject.BaseDesignSection_21.Nominal_56 |  
| |                      Exe Time :28 July 2021    18:30:09 |  
+-----+
```

```
*****  
*  
* PARATIE PLUS Non-Linear Spring Engine *  
*  
*       AN ELASTOPLASTIC FINITE ELEMENT PROGRAM *  
*       FOR FLEXIBLE EARTH-RETAINING STRUCTURES *  
*  
*       Written by CEAS s.r.l. (ITALY) *  
*       with the scientific supervision of *  
*       Roberto Nova - full professor SOIL MECHANICS *  
*       at Politecnico di Milano (ITALY) *  
*  
*****  
*  
* RELEASE 2020BETA *Build date:Aug 27, 2019* *  
*  
*  
* CEAS S.R.L VIALE GIUSTINIANO 10 *  
* 20129 M I L A N O (ITALIA) *  
* TEL.       +39 02 2020221 *  
*  
* email       bruno.becci@ceas.it *  
* Web Page     www.ceas.it    www.paratieplus.com *  
*****
```

```
JOB : NewProject.BaseDesignSection_21.Nominal_56  
STARTING  
ACCEPTED &lt;FILE,GENW &gt;  
ACCEPTED &lt;FILE,PLOTTER,BINARY &gt;  
ACCEPTED &lt;SOLVE TOTAL_STRESS &gt;  
ACCEPTED &lt;PARAM ITEMAX 40 &gt;  
ACCEPTED &lt;CONTROL HINGES 0 0.0001 0.001 &gt;
```

```
*****  
*  
* WARNING : PORE PRESSURES ARE AUTOMATICALLY COMPUTED *  
* BY THE PROGRAM. *  
*****
```

```
PRELIMINARY OPERATIONS CPU TIME 0.00 [sec]
```



PROGETTO DEFINITIVO

Linea Taranto – Brindisi

NUOVA STAZIONE DI NASISI

Relazione di calcolo opere provvisionali

PROGETTO	LOTTO	CODIFICA	DOCUMENTO	REV.	FOGLIO
IA8E	00	D 78 CL	FV0103 003	A	57 DI 91

```
+-----+  
| PARATIEPLUS(TM)   NLS ENGINE RELEASE 2020BETA FULL VERSION *Build date:Aug 27, 2019* |  
| NewProject.BaseDesignSection_21.Nominal_56 |  
| Exe Time :28 July 2021      18:30:09 |  
+-----+
```

INPUT FILE HAS BEEN GENERATED BY WALGEN PROGRAM

New Project

NO. OF NODAL POINTS (NUMNP)	91
NO. OF COORDINATES (NCOORD).....	2
NO. OF NODE DOFS (NDOF)	2
NO. OF EQUATIONS (NEQ).....	182
NO. OF CONSTRAINTS CARDS (NVINC).....	0
NO. OF ELEMENT GROUPS (NEG).....	3
NO. OF SOLUTION STEPS (NSTE).....	7
NO. OF ELEMENT SETS ATTACHED TO SLAVE NODES ...	0
NO. OF RECORD FROM WALGEN	139
NO. OF LONG NAMES (LASTNAME)	24
LENGTH UNIT CHOICE	3 (M)
FORCE UNIT CHOICE	3 (KN)
MAX PORE PRESSURE TABLE LENGTH.....	1
MAX INELASTIC DISPL. TABLE LENGTH.....	0
NO. OF ELEMENT GROUPS REQUIRING ADD. SLIP DOF .	0

IDOFa (01) = 2 Y-DISPL.F
IDOFa (02) = 4 X-ROT. F

RELEVANT ITEMS UNITS

STRESSES	kPa
Y-DISPLACEMENTS	m
ROTATIONS	RADIANS
BEAM AND SLAB MOMENTS	kN*m/m
BEAM SHEAR FORCES	kN/m
ANCHOR FORCES	kN/m
AXIAL FORCES IN TRUSSES	kN/m
AXIAL FORCES SPRINGS	kN/m
Y-REACTIONS	kN/m
X-MOMENT REACTIONS	kN*m/m
ETC.	



PROGETTO DEFINITIVO

Linea Taranto – Brindisi

NUOVA STAZIONE DI NASISI

Relazione di calcolo opere provvisionali

PROGETTO LOTTO CODIFICA DOCUMENTO REV. FOGLIO
IA8E 00 D 78 CL FV0103 003 A 58 DI 91

```
+-----+  
| PARATIEPLUS(TM)    NLS ENGINE RELEASE 2020BETA FULL VERSION *Build date:Aug 27, 2019* |  
| |  
| NewProject.BaseDesignSection_21.Nominal_56 |  
| Exe Time :28 July 2021      18:30:09 |  
+-----+  
P R E P R O C E S S O R    D A T A  
N O.    O F    C O M M A N D S    139  
  
1 : UNIT m kN  
2 : TITLE New Project  
3 : DELTA 0.2  
4 : option param itemax 40  
5 : option control hinges 0 0.0001 0.001  
6 : WALL LeftWall_25 0 -19 -1 1  
7 : SOIL 0_L LeftWall_25 -19 -1 1 0  
8 : SOIL 0_R LeftWall_25 -19 -1 2 180  
9 : LDATA Unità1_87114_84223_L_0 0 LeftWall_25  
10 : ATREST 0.45 0.5 1  
11 : WEIGHT 18.9 8.9 10  
12 : PERMEABILITY 1E-05  
13 : RESISTANCE 0 32.9 0 0 0  
14 : KSCALE 0 0  
15 : YOUNG 12000 18000  
16 : ENDL  
17 : LDATA Unità2a-2b_3_87115_L_0 -2 LeftWall_25  
18 : ATREST 0.55 0.5 1  
19 : WEIGHT 19.5 9.5 10  
20 : PERMEABILITY 1E-07  
21 : CLAY 0 24 0 0 24 0 0 80 50000 3000 0 0 5 0  
22 : KSCALE 0 0  
23 : YOUNG 18000 50000  
24 : ENDL  
25 : LDATA Unità2c_6_87116_L_0 -11.5 LeftWall_25  
26 : ATREST 0.55 5 1  
27 : WEIGHT 19.5 9.5 10  
28 : PERMEABILITY 1E-10  
29 : CLAY 0 24 0 0 24 0 0 140 90000 20000 0 0 20 0  
30 : KSCALE 0 0  
31 : YOUNG 30000 90000  
32 : ENDL  
33 : LDATA Unità3_2_87117_L_0 -15 LeftWall_25  
34 : ATREST 0.45 0.5 1  
35 : WEIGHT 19.5 9.5 10  
36 : PERMEABILITY 0.0001  
37 : RESISTANCE 0 34.2 0 0 0  
38 : KSCALE 0 0  
39 : YOUNG 20000 32000  
40 : ENDL  
41 : MATERIAL Fe360_83128 2.06E+08  
42 : MATERIAL C2835_98 3.2308E+07  
43 : BEAM WallElement_26 LeftWall_25 -19 -1 C2835_98 0.6448 00 00 0  
44 : STRIP LeftWall_25 4 4 9 2 -1 40 45  
45 : STEP Stage0_24  
46 : CHANGE Unità1_87114_84223_L_0 U-FRICT=32.9 LeftWall_25  
47 : CHANGE Unità1_87114_84223_L_0 D-FRICT=32.9 LeftWall_25  
48 : CHANGE Unità1_87114_84223_L_0 U-KA=0.296 LeftWall_25  
49 : CHANGE Unità1_87114_84223_L_0 U-KP=5.128 LeftWall_25  
50 : CHANGE Unità1_87114_84223_L_0 D-KA=0.296 LeftWall_25  
51 : CHANGE Unità1_87114_84223_L_0 D-KP=5.128 LeftWall_25  
52 : CHANGE Unità2a-2b_3_87115_L_0 U-PHICV=24 LeftWall_25  
53 : CHANGE Unità2a-2b_3_87115_L_0 U-PHIPEA=24 LeftWall_25  
54 : CHANGE Unità2a-2b_3_87115_L_0 D-PHICV=24 LeftWall_25  
55 : CHANGE Unità2a-2b_3_87115_L_0 D-PHIPEA=24 LeftWall_25  
56 : CHANGE Unità2a-2b_3_87115_L_0 U-KACV=0.422 LeftWall_25  
57 : CHANGE Unità2a-2b_3_87115_L_0 U-KPCV=3.051 LeftWall_25  
58 : CHANGE Unità2a-2b_3_87115_L_0 U-KAPEAK=0.422 LeftWall_25  
59 : CHANGE Unità2a-2b_3_87115_L_0 U-KPPEAK=3.051 LeftWall_25  
60 : CHANGE Unità2a-2b_3_87115_L_0 D-KACV=0.422 LeftWall_25  
61 : CHANGE Unità2a-2b_3_87115_L_0 D-KPCV=3.051 LeftWall_25  
62 : CHANGE Unità2a-2b_3_87115_L_0 D-KAPEAK=0.422 LeftWall_25  
63 : CHANGE Unità2a-2b_3_87115_L_0 D-KPPEAK=3.051 LeftWall_25  
64 : CHANGE Unità2c_6_87116_L_0 U-PHICV=24 LeftWall_25  
65 : CHANGE Unità2c_6_87116_L_0 U-PHIPEA=24 LeftWall_25
```



PROGETTO DEFINITIVO

Linea Taranto – Brindisi

NUOVA STAZIONE DI NASISI

Relazione di calcolo opere provvisionali

PROGETTO LOTTO CODIFICA DOCUMENTO REV. FOGLIO
IA8E 00 D 78 CL FV0103 003 A 59 DI 91

```
66 : CHANGE Unità2c_6_87116_L_0 D-PHICV=24 LeftWall_25
67 : CHANGE Unità2c_6_87116_L_0 D-PHIEA=24 LeftWall_25
68 : CHANGE Unità2c_6_87116_L_0 U-KACV=0.422 LeftWall_25
69 : CHANGE Unità2c_6_87116_L_0 U-KPCV=3.051 LeftWall_25
70 : CHANGE Unità2c_6_87116_L_0 U-KAPEAK=0.422 LeftWall_25
71 : CHANGE Unità2c_6_87116_L_0 U-KPPEAK=3.051 LeftWall_25
72 : CHANGE Unità2c_6_87116_L_0 D-KACV=0.422 LeftWall_25
73 : CHANGE Unità2c_6_87116_L_0 D-KPCV=3.051 LeftWall_25
74 : CHANGE Unità2c_6_87116_L_0 D-KAPEAK=0.422 LeftWall_25
75 : CHANGE Unità2c_6_87116_L_0 D-KPPEAK=3.051 LeftWall_25
76 : CHANGE Unità3_2_87117_L_0 U-FRICT=34.2 LeftWall_25
77 : CHANGE Unità3_2_87117_L_0 D-FRICT=34.2 LeftWall_25
78 : CHANGE Unità3_2_87117_L_0 U-KA=0.28 LeftWall_25
79 : CHANGE Unità3_2_87117_L_0 U-KP=5.576 LeftWall_25
80 : CHANGE Unità3_2_87117_L_0 D-KA=0.28 LeftWall_25
81 : CHANGE Unità3_2_87117_L_0 D-KP=5.576 LeftWall_25
82 : CHANGE Unità1_87114_84223_L_0 U-COHE=0 LeftWall_25
83 : CHANGE Unità1_87114_84223_L_0 U-ADHES=0 LeftWall_25
84 : CHANGE Unità1_87114_84223_L_0 D-COHE=0 LeftWall_25
85 : CHANGE Unità1_87114_84223_L_0 D-ADHES=0 LeftWall_25
86 : CHANGE Unità3_2_87117_L_0 U-COHE=0 LeftWall_25
87 : CHANGE Unità3_2_87117_L_0 U-ADHES=0 LeftWall_25
88 : CHANGE Unità3_2_87117_L_0 D-COHE=0 LeftWall_25
89 : CHANGE Unità3_2_87117_L_0 D-ADHES=0 LeftWall_25
90 : CHANGE Unità2a-2b_3_87115_L_0 U-SU=80 LeftWall_25
91 : CHANGE Unità2a-2b_3_87115_L_0 U-DSU=0 LeftWall_25
92 : CHANGE Unità2a-2b_3_87115_L_0 D-SU=80 LeftWall_25
93 : CHANGE Unità2a-2b_3_87115_L_0 D-DSU=0 LeftWall_25
94 : CHANGE Unità2c_6_87116_L_0 U-SU=140 LeftWall_25
95 : CHANGE Unità2c_6_87116_L_0 U-DSU=0 LeftWall_25
96 : CHANGE Unità2c_6_87116_L_0 D-SU=140 LeftWall_25
97 : CHANGE Unità2c_6_87116_L_0 D-DSU=0 LeftWall_25
98 : SETWALL LeftWall_25
99 : GEOM 0 0
100 : SURCHARGE 0 0 0
101 : WATER -13 0 -19 0 0
102 : ADD WallElement_26
103 : ENDSTEP
104 : STEP Stage1_87605
105 : SETWALL LeftWall_25
106 : GEOM -1 -1
107 : SURCHARGE 0 0 0
108 : WATER -13 0 -19 0 0
109 : ENDSTEP
110 : STEP Stage2_83718
111 : SETWALL LeftWall_25
112 : GEOM -1 -5.5
113 : SURCHARGE 0 0 0
114 : WATER -13 0 -19 0 0
115 : ENDSTEP
116 : STEP Stage3_83967
117 : SETWALL LeftWall_25
118 : GEOM -1 -5.5
119 : SURCHARGE 0 0 0
120 : WATER -13 0 -19 0 0
121 : ENDSTEP
122 : STEP Stage4_92878
123 : SETWALL LeftWall_25
124 : GEOM -1 -1
125 : SURCHARGE 0 0 0
126 : WATER -13 0 -19 0 0
127 : ENDSTEP
128 : STEP Stage5_93130
129 : SETWALL LeftWall_25
130 : GEOM -4.5 -1
131 : SURCHARGE 0 0 0
132 : WATER -13 0 -19 0 0
133 : ENDSTEP
134 : STEP Stage6_93382
135 : SETWALL LeftWall_25
136 : GEOM -4.5 -1
137 : SURCHARGE 0 0 0
138 : WATER -13 0 -19 0 0
139 : ENDSTEP
```



PROGETTO DEFINITIVO

Linea Taranto – Brindisi

NUOVA STAZIONE DI NASISI

Relazione di calcolo opere provvisionali

PROGETTO IA8E	LOTTO 00	CODIFICA D 78 CL	DOCUMENTO FV0103 003	REV. A	FOGLIO 60 DI 91
------------------	-------------	---------------------	-------------------------	-----------	--------------------

```
+-----+  
| PARATIEPLUS(TM)   NLS ENGINE RELEASE 2020BETA FULL VERSION *Build date:Aug 27, 2019* |  
| |  
| NewProject.BaseDesignSection_21.Nominal_56 |  
| Exe Time :28 July 2021      18:30:09 |  
+-----+
```

N O D A L P O I N T D A T A

NODE	Y-COORD	Z-COORD /						
1	0.0000	-1.0000 / 2	0.0000	-1.2000 / 3	0.0000	-1.4000 / 4	0.0000	-1.6000 /
5	0.0000	-1.8000 / 6	0.0000	-2.0000 / 7	0.0000	-2.2000 / 8	0.0000	-2.4000 /
9	0.0000	-2.6000 / 10	0.0000	-2.8000 / 11	0.0000	-3.0000 / 12	0.0000	-3.2000 /
13	0.0000	-3.4000 / 14	0.0000	-3.6000 / 15	0.0000	-3.8000 / 16	0.0000	-4.0000 /
17	0.0000	-4.2000 / 18	0.0000	-4.4000 / 19	0.0000	-4.6000 / 20	0.0000	-4.8000 /
21	0.0000	-5.0000 / 22	0.0000	-5.2000 / 23	0.0000	-5.4000 / 24	0.0000	-5.6000 /
25	0.0000	-5.8000 / 26	0.0000	-6.0000 / 27	0.0000	-6.2000 / 28	0.0000	-6.4000 /
29	0.0000	-6.6000 / 30	0.0000	-6.8000 / 31	0.0000	-7.0000 / 32	0.0000	-7.2000 /
33	0.0000	-7.4000 / 34	0.0000	-7.6000 / 35	0.0000	-7.8000 / 36	0.0000	-8.0000 /
37	0.0000	-8.2000 / 38	0.0000	-8.4000 / 39	0.0000	-8.6000 / 40	0.0000	-8.8000 /
41	0.0000	-9.0000 / 42	0.0000	-9.2000 / 43	0.0000	-9.4000 / 44	0.0000	-9.6000 /
45	0.0000	-9.8000 / 46	0.0000	-10.000 / 47	0.0000	-10.200 / 48	0.0000	-10.400 /
49	0.0000	-10.600 / 50	0.0000	-10.800 / 51	0.0000	-11.000 / 52	0.0000	-11.200 /
53	0.0000	-11.400 / 54	0.0000	-11.600 / 55	0.0000	-11.800 / 56	0.0000	-12.000 /
57	0.0000	-12.200 / 58	0.0000	-12.400 / 59	0.0000	-12.600 / 60	0.0000	-12.800 /
61	0.0000	-13.000 / 62	0.0000	-13.200 / 63	0.0000	-13.400 / 64	0.0000	-13.600 /
65	0.0000	-13.800 / 66	0.0000	-14.000 / 67	0.0000	-14.200 / 68	0.0000	-14.400 /
69	0.0000	-14.600 / 70	0.0000	-14.800 / 71	0.0000	-15.000 / 72	0.0000	-15.200 /
73	0.0000	-15.400 / 74	0.0000	-15.600 / 75	0.0000	-15.800 / 76	0.0000	-16.000 /
77	0.0000	-16.200 / 78	0.0000	-16.400 / 79	0.0000	-16.600 / 80	0.0000	-16.800 /
81	0.0000	-17.000 / 82	0.0000	-17.200 / 83	0.0000	-17.400 / 84	0.0000	-17.600 /
85	0.0000	-17.800 / 86	0.0000	-18.000 / 87	0.0000	-18.200 / 88	0.0000	-18.400 /
89	0.0000	-18.600 / 90	0.0000	-18.800 / 91	0.0000	-19.000 /		



PROGETTO DEFINITIVO

Linea Taranto – Brindisi

NUOVA STAZIONE DI NASISI

Relazione di calcolo opere provvisionali

PROGETTO	LOTTO	CODIFICA	DOCUMENTO	REV.	FOGLIO
IA8E	00	D 78 CL	 FV0103 003	A	61 DI 91



PROGETTO DEFINITIVO

Linea Taranto – Brindisi

NUOVA STAZIONE DI NASISI

Relazione di calcolo opere provvisionali

PROGETTO	LOTTO	CODIFICA	DOCUMENTO	REV.	FOGLIO
IA8E	00	D 78 CL	FV0103 003	A	62 DI 91

21	21	2	0.2000	0.000	0.000	0.000	1.000
22	22	2	0.2000	0.000	0.000	0.000	1.000
23	23	2	0.2000	0.000	0.000	0.000	1.000
24	24	2	0.2000	0.000	0.000	0.000	1.000
25	25	2	0.2000	0.000	0.000	0.000	1.000
26	26	2	0.2000	0.000	0.000	0.000	1.000
27	27	2	0.2000	0.000	0.000	0.000	1.000
28	28	2	0.2000	0.000	0.000	0.000	1.000
29	29	2	0.2000	0.000	0.000	0.000	1.000
30	30	2	0.2000	0.000	0.000	0.000	1.000
31	31	2	0.2000	0.000	0.000	0.000	1.000
32	32	2	0.2000	0.000	0.000	0.000	1.000
33	33	2	0.2000	0.000	0.000	0.000	1.000
34	34	2	0.2000	0.000	0.000	0.000	1.000
35	35	2	0.2000	0.000	0.000	0.000	1.000
36	36	2	0.2000	0.000	0.000	0.000	1.000
37	37	2	0.2000	0.000	0.000	0.000	1.000
38	38	2	0.2000	0.000	0.000	0.000	1.000
39	39	2	0.2000	0.000	0.000	0.000	1.000
40	40	2	0.2000	0.000	0.000	0.000	1.000
41	41	2	0.2000	0.000	0.000	0.000	1.000
42	42	2	0.2000	0.000	0.000	0.000	1.000
43	43	2	0.2000	0.000	0.000	0.000	1.000
44	44	2	0.2000	0.000	0.000	0.000	1.000
45	45	2	0.2000	0.000	0.000	0.000	1.000
46	46	2	0.2000	0.000	0.000	0.000	1.000
47	47	2	0.2000	0.000	0.000	0.000	1.000
48	48	2	0.2000	0.000	0.000	0.000	1.000
49	49	2	0.2000	0.000	0.000	0.000	1.000
50	50	2	0.2000	0.000	0.000	0.000	1.000
51	51	2	0.2000	0.000	0.000	0.000	1.000
52	52	2	0.2000	0.000	0.000	0.000	1.000
53	53	2	0.2000	0.000	0.000	0.000	1.000
54	54	3	0.2000	0.000	0.000	0.000	1.000
55	55	3	0.2000	0.000	0.000	0.000	1.000
56	56	3	0.2000	0.000	0.000	0.000	1.000
57	57	3	0.2000	0.000	0.000	0.000	1.000
58	58	3	0.2000	0.000	0.000	0.000	1.000
59	59	3	0.2000	0.000	0.000	0.000	1.000
60	60	3	0.2000	0.000	0.000	0.000	1.000
61	61	3	0.2000	0.000	0.000	0.000	1.000
62	62	3	0.2000	0.000	0.000	0.000	1.000
63	63	3	0.2000	0.000	0.000	0.000	1.000
64	64	3	0.2000	0.000	0.000	0.000	1.000
65	65	3	0.2000	0.000	0.000	0.000	1.000
66	66	3	0.2000	0.000	0.000	0.000	1.000
67	67	3	0.2000	0.000	0.000	0.000	1.000
68	68	3	0.2000	0.000	0.000	0.000	1.000
69	69	3	0.2000	0.000	0.000	0.000	1.000
70	70	3	0.2000	0.000	0.000	0.000	1.000
71	71	3	0.2000	0.000	0.000	0.000	1.000
72	72	4	0.2000	0.000	0.000	0.000	1.000
73	73	4	0.2000	0.000	0.000	0.000	1.000
74	74	4	0.2000	0.000	0.000	0.000	1.000
75	75	4	0.2000	0.000	0.000	0.000	1.000
76	76	4	0.2000	0.000	0.000	0.000	1.000
77	77	4	0.2000	0.000	0.000	0.000	1.000
78	78	4	0.2000	0.000	0.000	0.000	1.000
79	79	4	0.2000	0.000	0.000	0.000	1.000
80	80	4	0.2000	0.000	0.000	0.000	1.000
81	81	4	0.2000	0.000	0.000	0.000	1.000
82	82	4	0.2000	0.000	0.000	0.000	1.000
83	83	4	0.2000	0.000	0.000	0.000	1.000
84	84	4	0.2000	0.000	0.000	0.000	1.000
85	85	4	0.2000	0.000	0.000	0.000	1.000
86	86	4	0.2000	0.000	0.000	0.000	1.000
87	87	4	0.2000	0.000	0.000	0.000	1.000
88	88	4	0.2000	0.000	0.000	0.000	1.000
89	89	4	0.2000	0.000	0.000	0.000	1.000
90	90	4	0.2000	0.000	0.000	0.000	1.000
91	91	4	0.1000	0.000	0.000	0.000	1.000



PROGETTO DEFINITIVO

Linea Taranto – Brindisi

NUOVA STAZIONE DI NASISI

Relazione di calcolo opere provvisionali

PROGETTO LOTTO CODIFICA DOCUMENTO REV. FOGLIO
IA8E 00 D 78 CL FV0103 003 A 63 DI 91



PROGETTO DEFINITIVO

Linea Taranto – Brindisi

NUOVA STAZIONE DI NASISI

Relazione di calcolo opere provvisionali

PROGETTO	LOTTO	CODIFICA	DOCUMENTO	REV.	FOGLIO
IA8E	00	D 78 CL	FV0103 003	A	64 DI 91

21	21	2	0.2000	0.000	0.000	0.000	2.000
22	22	2	0.2000	0.000	0.000	0.000	2.000
23	23	2	0.2000	0.000	0.000	0.000	2.000
24	24	2	0.2000	0.000	0.000	0.000	2.000
25	25	2	0.2000	0.000	0.000	0.000	2.000
26	26	2	0.2000	0.000	0.000	0.000	2.000
27	27	2	0.2000	0.000	0.000	0.000	2.000
28	28	2	0.2000	0.000	0.000	0.000	2.000
29	29	2	0.2000	0.000	0.000	0.000	2.000
30	30	2	0.2000	0.000	0.000	0.000	2.000
31	31	2	0.2000	0.000	0.000	0.000	2.000
32	32	2	0.2000	0.000	0.000	0.000	2.000
33	33	2	0.2000	0.000	0.000	0.000	2.000
34	34	2	0.2000	0.000	0.000	0.000	2.000
35	35	2	0.2000	0.000	0.000	0.000	2.000
36	36	2	0.2000	0.000	0.000	0.000	2.000
37	37	2	0.2000	0.000	0.000	0.000	2.000
38	38	2	0.2000	0.000	0.000	0.000	2.000
39	39	2	0.2000	0.000	0.000	0.000	2.000
40	40	2	0.2000	0.000	0.000	0.000	2.000
41	41	2	0.2000	0.000	0.000	0.000	2.000
42	42	2	0.2000	0.000	0.000	0.000	2.000
43	43	2	0.2000	0.000	0.000	0.000	2.000
44	44	2	0.2000	0.000	0.000	0.000	2.000
45	45	2	0.2000	0.000	0.000	0.000	2.000
46	46	2	0.2000	0.000	0.000	0.000	2.000
47	47	2	0.2000	0.000	0.000	0.000	2.000
48	48	2	0.2000	0.000	0.000	0.000	2.000
49	49	2	0.2000	0.000	0.000	0.000	2.000
50	50	2	0.2000	0.000	0.000	0.000	2.000
51	51	2	0.2000	0.000	0.000	0.000	2.000
52	52	2	0.2000	0.000	0.000	0.000	2.000
53	53	2	0.2000	0.000	0.000	0.000	2.000
54	54	3	0.2000	0.000	0.000	0.000	2.000
55	55	3	0.2000	0.000	0.000	0.000	2.000
56	56	3	0.2000	0.000	0.000	0.000	2.000
57	57	3	0.2000	0.000	0.000	0.000	2.000
58	58	3	0.2000	0.000	0.000	0.000	2.000
59	59	3	0.2000	0.000	0.000	0.000	2.000
60	60	3	0.2000	0.000	0.000	0.000	2.000
61	61	3	0.2000	0.000	0.000	0.000	2.000
62	62	3	0.2000	0.000	0.000	0.000	2.000
63	63	3	0.2000	0.000	0.000	0.000	2.000
64	64	3	0.2000	0.000	0.000	0.000	2.000
65	65	3	0.2000	0.000	0.000	0.000	2.000
66	66	3	0.2000	0.000	0.000	0.000	2.000
67	67	3	0.2000	0.000	0.000	0.000	2.000
68	68	3	0.2000	0.000	0.000	0.000	2.000
69	69	3	0.2000	0.000	0.000	0.000	2.000
70	70	3	0.2000	0.000	0.000	0.000	2.000
71	71	3	0.2000	0.000	0.000	0.000	2.000
72	72	4	0.2000	0.000	0.000	0.000	2.000
73	73	4	0.2000	0.000	0.000	0.000	2.000
74	74	4	0.2000	0.000	0.000	0.000	2.000
75	75	4	0.2000	0.000	0.000	0.000	2.000
76	76	4	0.2000	0.000	0.000	0.000	2.000
77	77	4	0.2000	0.000	0.000	0.000	2.000
78	78	4	0.2000	0.000	0.000	0.000	2.000
79	79	4	0.2000	0.000	0.000	0.000	2.000
80	80	4	0.2000	0.000	0.000	0.000	2.000
81	81	4	0.2000	0.000	0.000	0.000	2.000
82	82	4	0.2000	0.000	0.000	0.000	2.000
83	83	4	0.2000	0.000	0.000	0.000	2.000
84	84	4	0.2000	0.000	0.000	0.000	2.000
85	85	4	0.2000	0.000	0.000	0.000	2.000
86	86	4	0.2000	0.000	0.000	0.000	2.000
87	87	4	0.2000	0.000	0.000	0.000	2.000
88	88	4	0.2000	0.000	0.000	0.000	2.000
89	89	4	0.2000	0.000	0.000	0.000	2.000
90	90	4	0.2000	0.000	0.000	0.000	2.000
91	91	4	0.1000	0.000	0.000	0.000	2.000



PROGETTO DEFINITIVO

Linea Taranto – Brindisi

NUOVA STAZIONE DI NASISI

Relazione di calcolo opere provvisionali

PROGETTO LOTTO CODIFICA DOCUMENTO REV. FOGLIO
IA8E 00 D 78 CL FV0103 003 A 65 DI 91



PROGETTO DEFINITIVO

Linea Taranto – Brindisi

NUOVA STAZIONE DI NASISI

Relazione di calcolo opere provvisionali

PROGETTO	LOTTO	CODIFICA	DOCUMENTO	REV.	FOGLIO
IA8E	00	D 78 CL	FV0103 003	A	66 DI 91

26	26	27	1	0.000	0.000	0.6448	0.000	0.000
27	27	28	1	0.000	0.000	0.6448	0.000	0.000
28	28	29	1	0.000	0.000	0.6448	0.000	0.000
29	29	30	1	0.000	0.000	0.6448	0.000	0.000
30	30	31	1	0.000	0.000	0.6448	0.000	0.000
31	31	32	1	0.000	0.000	0.6448	0.000	0.000
32	32	33	1	0.000	0.000	0.6448	0.000	0.000
33	33	34	1	0.000	0.000	0.6448	0.000	0.000
34	34	35	1	0.000	0.000	0.6448	0.000	0.000
35	35	36	1	0.000	0.000	0.6448	0.000	0.000
36	36	37	1	0.000	0.000	0.6448	0.000	0.000
37	37	38	1	0.000	0.000	0.6448	0.000	0.000
38	38	39	1	0.000	0.000	0.6448	0.000	0.000
39	39	40	1	0.000	0.000	0.6448	0.000	0.000
40	40	41	1	0.000	0.000	0.6448	0.000	0.000
41	41	42	1	0.000	0.000	0.6448	0.000	0.000
42	42	43	1	0.000	0.000	0.6448	0.000	0.000
43	43	44	1	0.000	0.000	0.6448	0.000	0.000
44	44	45	1	0.000	0.000	0.6448	0.000	0.000
45	45	46	1	0.000	0.000	0.6448	0.000	0.000
46	46	47	1	0.000	0.000	0.6448	0.000	0.000
47	47	48	1	0.000	0.000	0.6448	0.000	0.000
48	48	49	1	0.000	0.000	0.6448	0.000	0.000
49	49	50	1	0.000	0.000	0.6448	0.000	0.000
50	50	51	1	0.000	0.000	0.6448	0.000	0.000
51	51	52	1	0.000	0.000	0.6448	0.000	0.000
52	52	53	1	0.000	0.000	0.6448	0.000	0.000
53	53	54	1	0.000	0.000	0.6448	0.000	0.000
54	54	55	1	0.000	0.000	0.6448	0.000	0.000
55	55	56	1	0.000	0.000	0.6448	0.000	0.000
56	56	57	1	0.000	0.000	0.6448	0.000	0.000
57	57	58	1	0.000	0.000	0.6448	0.000	0.000
58	58	59	1	0.000	0.000	0.6448	0.000	0.000
59	59	60	1	0.000	0.000	0.6448	0.000	0.000
60	60	61	1	0.000	0.000	0.6448	0.000	0.000
61	61	62	1	0.000	0.000	0.6448	0.000	0.000
62	62	63	1	0.000	0.000	0.6448	0.000	0.000
63	63	64	1	0.000	0.000	0.6448	0.000	0.000
64	64	65	1	0.000	0.000	0.6448	0.000	0.000
65	65	66	1	0.000	0.000	0.6448	0.000	0.000
66	66	67	1	0.000	0.000	0.6448	0.000	0.000
67	67	68	1	0.000	0.000	0.6448	0.000	0.000
68	68	69	1	0.000	0.000	0.6448	0.000	0.000
69	69	70	1	0.000	0.000	0.6448	0.000	0.000
70	70	71	1	0.000	0.000	0.6448	0.000	0.000
71	71	72	1	0.000	0.000	0.6448	0.000	0.000
72	72	73	1	0.000	0.000	0.6448	0.000	0.000
73	73	74	1	0.000	0.000	0.6448	0.000	0.000
74	74	75	1	0.000	0.000	0.6448	0.000	0.000
75	75	76	1	0.000	0.000	0.6448	0.000	0.000
76	76	77	1	0.000	0.000	0.6448	0.000	0.000
77	77	78	1	0.000	0.000	0.6448	0.000	0.000
78	78	79	1	0.000	0.000	0.6448	0.000	0.000
79	79	80	1	0.000	0.000	0.6448	0.000	0.000
80	80	81	1	0.000	0.000	0.6448	0.000	0.000
81	81	82	1	0.000	0.000	0.6448	0.000	0.000
82	82	83	1	0.000	0.000	0.6448	0.000	0.000
83	83	84	1	0.000	0.000	0.6448	0.000	0.000
84	84	85	1	0.000	0.000	0.6448	0.000	0.000
85	85	86	1	0.000	0.000	0.6448	0.000	0.000
86	86	87	1	0.000	0.000	0.6448	0.000	0.000
87	87	88	1	0.000	0.000	0.6448	0.000	0.000
88	88	89	1	0.000	0.000	0.6448	0.000	0.000
89	89	90	1	0.000	0.000	0.6448	0.000	0.000
90	90	91	1	0.000	0.000	0.6448	0.000	0.000

**PROGETTO DEFINITIVO****Linea Taranto – Brindisi****NUOVA STAZIONE DI NASISI****Relazione di calcolo opere provvisionali**

PROGETTO	LOTTO	CODIFICA	DOCUMENTO	REV.	FOGLIO
IA8E	00	D 78 CL	FV0103 003	A	67 DI 91

```
+-----+  
| PARATIEPLUS(TM)   NLS ENGINE RELEASE 2020BETA FULL VERSION *Build date:Aug 27, 2019* |  
| |  
| NewProject.BaseDesignSection_21.Nominal_56 |  
| Exe Time :28 July 2021      18:30:09 |  
+-----+
```

NO. OF NODAL LOADS (NLOAD) 0
NO. OF LOAD CURVES (NLCUR) 14
MAXIMUM POINTS/LCURVE (NPTM) 5

**PROGETTO DEFINITIVO****Linea Taranto – Brindisi****NUOVA STAZIONE DI NASISI****Relazione di calcolo opere provvisionali**

PROGETTO IA8E	LOTTO 00	CODIFICA D 78 CL	DOCUMENTO FV0103 003	REV. A	FOGLIO 68 DI 91
------------------	-------------	---------------------	-------------------------	-----------	--------------------

```
+-----+  
| PARATIEPLUS(TM)   NLS ENGINE RELEASE 2020BETA FULL VERSION *Build date:Aug 27, 2019* |  
| |  
| NewProject.BaseDesignSection_21.Nominal_56 |  
| Exe Time :28 July 2021      18:30:09 |  
+-----+
```

LOAD DATA

LOAD FUNCTION NUMBER = 1
NUMBER OF TIME POINTS = 5

TIME	VALUE	FUNCTION
0.00000	0.00000E+00	
0.80000	0.00000E+00	
1.00000	0.10000E+01	
1.20000	0.00000E+00	
8.00000	0.00000E+00	

LOAD FUNCTION NUMBER = 2
NUMBER OF TIME POINTS = 5

TIME	VALUE	FUNCTION
0.00000	0.00000E+00	
1.80000	0.00000E+00	
2.00000	0.10000E+01	
2.20000	0.00000E+00	
8.00000	0.00000E+00	

LOAD FUNCTION NUMBER = 3
NUMBER OF TIME POINTS = 5

TIME	VALUE	FUNCTION
0.00000	0.00000E+00	
2.80000	0.00000E+00	
3.00000	0.10000E+01	
3.20000	0.00000E+00	
8.00000	0.00000E+00	

LOAD FUNCTION NUMBER = 4
NUMBER OF TIME POINTS = 5

TIME	VALUE	FUNCTION
0.00000	0.00000E+00	
3.80000	0.00000E+00	
4.00000	0.10000E+01	
4.20000	0.00000E+00	
8.00000	0.00000E+00	

LOAD FUNCTION NUMBER = 5
NUMBER OF TIME POINTS = 5

TIME	VALUE	FUNCTION
0.00000	0.00000E+00	
4.80000	0.00000E+00	
5.00000	0.10000E+01	
5.20000	0.00000E+00	
8.00000	0.00000E+00	

**PROGETTO DEFINITIVO****Linea Taranto – Brindisi****NUOVA STAZIONE DI NASISI****Relazione di calcolo opere provvisionali**

PROGETTO	LOTTO	CODIFICA	DOCUMENTO	REV.	FOGLIO
IA8E	00	D 78 CL	FV0103 003	A	69 DI 91

LOAD FUNCTION NUMBER = 6
NUMBER OF TIME POINTS = 5

TIME VALUE FUNCTION

0.00000	0.00000E+00
5.80000	0.00000E+00
6.00000	0.10000E+01
6.20000	0.00000E+00
8.00000	0.00000E+00

LOAD FUNCTION NUMBER = 7
NUMBER OF TIME POINTS = 5

TIME VALUE FUNCTION

0.00000	0.00000E+00
6.80000	0.00000E+00
7.00000	0.10000E+01
7.20000	0.00000E+00
8.00000	0.00000E+00

LOAD FUNCTION NUMBER = 8
NUMBER OF TIME POINTS = 4

TIME VALUE FUNCTION

0.00000	0.00000E+00
0.80000	0.00000E+00
1.00000	0.10000E+01
8.00000	0.10000E+01

LOAD FUNCTION NUMBER = 9
NUMBER OF TIME POINTS = 4

TIME VALUE FUNCTION

0.00000	0.00000E+00
1.80000	0.00000E+00
2.00000	0.10000E+01
8.00000	0.10000E+01

LOAD FUNCTION NUMBER = 10
NUMBER OF TIME POINTS = 4

TIME VALUE FUNCTION

0.00000	0.00000E+00
2.80000	0.00000E+00
3.00000	0.10000E+01
8.00000	0.10000E+01

LOAD FUNCTION NUMBER = 11
NUMBER OF TIME POINTS = 4

TIME VALUE FUNCTION

0.00000	0.00000E+00
3.80000	0.00000E+00
4.00000	0.10000E+01
8.00000	0.10000E+01

LOAD FUNCTION NUMBER = 12
NUMBER OF TIME POINTS = 4

TIME VALUE FUNCTION

**PROGETTO DEFINITIVO****Linea Taranto – Brindisi****NUOVA STAZIONE DI NASISI****Relazione di calcolo opere provvisionali**

PROGETTO	LOTTO	CODIFICA	DOCUMENTO	REV.	FOGLIO
IA8E	00	D 78 CL	FV0103 003	A	70 DI 91

0.00000 0.0000E+00
4.80000 0.0000E+00
5.00000 0.1000E+01
8.00000 0.1000E+01

LOAD FUNCTION NUMBER = 13
NUMBER OF TIME POINTS = 4

TIME VALUE FUNCTION

TIME	FUNCTION
0.00000	0.0000E+00
5.80000	0.0000E+00
6.00000	0.1000E+01
8.00000	0.1000E+01

LOAD FUNCTION NUMBER = 14
NUMBER OF TIME POINTS = 4

TIME VALUE FUNCTION

TIME	FUNCTION
0.00000	0.0000E+00
6.80000	0.0000E+00
7.00000	0.1000E+01
8.00000	0.1000E+01

NO. OF DISTRIBUTED LOAD CARDS 0



PROGETTO DEFINITIVO

Linea Taranto – Brindisi

NUOVA STAZIONE DI NASISI

Relazione di calcolo opere provvisionali

PROGETTO	LOTTO	CODIFICA	DOCUMENTO	REV.	FOGLIO
IA8E	00	D 78 CL	FV0103 003	A	71 DI 91

```
+-----+  
| PARATIEPLUS(TM)   NLS ENGINE RELEASE 2020BETA FULL VERSION *Build date:Aug 27, 2019* |  
| |  
| NewProject.BaseDesignSection_21.Nominal_56 |  
| Exe Time :28 July 2021      18:30:09 |  
+-----+
```

LOAD BALANCE

STEP	1	TOTAL APPLIED LOAD IN DIR.	2	Y-DISPL.F	0.0000000
STEP	1	TOTAL APPLIED LOAD IN DIR.	4	X-ROT. F	0.0000000
STEP	2	TOTAL APPLIED LOAD IN DIR.	2	Y-DISPL.F	0.0000000
STEP	2	TOTAL APPLIED LOAD IN DIR.	4	X-ROT. F	0.0000000
STEP	3	TOTAL APPLIED LOAD IN DIR.	2	Y-DISPL.F	0.0000000
STEP	3	TOTAL APPLIED LOAD IN DIR.	4	X-ROT. F	0.0000000
STEP	4	TOTAL APPLIED LOAD IN DIR.	2	Y-DISPL.F	0.0000000
STEP	4	TOTAL APPLIED LOAD IN DIR.	4	X-ROT. F	0.0000000
STEP	5	TOTAL APPLIED LOAD IN DIR.	2	Y-DISPL.F	0.0000000
STEP	5	TOTAL APPLIED LOAD IN DIR.	4	X-ROT. F	0.0000000
STEP	6	TOTAL APPLIED LOAD IN DIR.	2	Y-DISPL.F	0.0000000
STEP	6	TOTAL APPLIED LOAD IN DIR.	4	X-ROT. F	0.0000000
STEP	7	TOTAL APPLIED LOAD IN DIR.	2	Y-DISPL.F	0.0000000
STEP	7	TOTAL APPLIED LOAD IN DIR.	4	X-ROT. F	0.0000000

LOAD INPUT SECTION COMPLETED

**PROGETTO DEFINITIVO****Linea Taranto – Brindisi****NUOVA STAZIONE DI NASISI****Relazione di calcolo opere provvisionali**

PROGETTO	LOTTO	CODIFICA	DOCUMENTO	REV.	FOGLIO
IA8E	00	D 78 CL	FV0103 003	A	72 DI 91

```
+-----+  
| PARATIEPLUS(TM)   NLS ENGINE RELEASE 2020BETA FULL VERSION *Build date:Aug 27, 2019* |  
| NewProject.BaseDesignSection_21.Nominal_56 |  
| Exe Time :28 July 2021      18:30:09 |  
+-----+
```

NO. OF LAYERS 4
NO. OF DATA PER LAYER..... 120



PROGETTO DEFINITIVO

Linea Taranto – Brindisi

NUOVA STAZIONE DI NASISI

Relazione di calcolo opere provvisionali

PROGETTO	LOTTO	CODIFICA	DOCUMENTO	REV.	FOGLIO
IA8E	00	D 78 CL	FV0103 003	A	73 DI 91

```
+-----+  
| PARATIEPLUS(TM) NLS ENGINE RELEASE 2020BETA FULL VERSION *Build date:Aug 27, 2019* |  
| NewProject.BaseDesignSection_21.Nominal_56 |  
| Exe Time :28 July 2021 18:30:09 |  
+-----+
```

LAYER DESCRIPTORS FOR STEP NO. 1

NON ZERO LAYER DESCRIPTORS FOR LAYER NO. 1 FOR STEP NO. 1

ITEM NO.	1<NAME>	= 18.000	(BOTH WALLS)
ITEM NO.	2<NATURE>	= 1.0000	(BOTH WALLS)
ITEM NO.	3<LEVEL>	= 0.0000	(BOTH WALLS)
ITEM NO.	4<WALL>	= 1.0000	(BOTH WALLS)
ITEM NO.	5<GAMMAD>	= 18.900	(BOTH WALLS)
ITEM NO.	6<GAMMAB>	= 8.9000	(BOTH WALLS)
ITEM NO.	7<GAMMAW>	= 10.000	(BOTH WALLS)
ITEM NO.	9<U-FRICT>	= 32.900	(BOTH WALLS)
ITEM NO.	10<U-KA>	= 0.29600	WALL NO. 1
ITEM NO.	11<U-KP>	= 5.1280	WALL NO. 1
ITEM NO.	12<K0-NC>	= 0.45000	(BOTH WALLS)
ITEM NO.	13<NEXP>	= 0.50000	(BOTH WALLS)
ITEM NO.	14<OCR>	= 1.0000	(BOTH WALLS)
ITEM NO.	16<MODEL>	= 1.0000	(BOTH WALLS)
ITEM NO.	17<EVC>	= 12000.	(BOTH WALLS)
ITEM NO.	18<EUR>	= 18000.	(BOTH WALLS)
ITEM NO.	27<U-PERM>	= 0.10000E-04	(BOTH WALLS)
ITEM NO.	62<D-NATURE>	= 1.0000	(BOTH WALLS)
ITEM NO.	63<D-LEVEL>	= 0.0000	(BOTH WALLS)
ITEM NO.	69<D-FRICT>	= 32.900	(BOTH WALLS)
ITEM NO.	70<D-KA>	= 0.29600	WALL NO. 1
ITEM NO.	71<D-KP>	= 5.1280	WALL NO. 1
ITEM NO.	87<D-PERM>	= 0.10000E-04	(BOTH WALLS)

NON ZERO LAYER DESCRIPTORS FOR LAYER NO. 2 FOR STEP NO. 1

ITEM NO.	1<NAME>	= 19.000	(BOTH WALLS)
ITEM NO.	2<NATURE>	= 2.0000	(BOTH WALLS)
ITEM NO.	3<LEVEL>	= -2.0000	(BOTH WALLS)
ITEM NO.	4<WALL>	= 1.0000	(BOTH WALLS)
ITEM NO.	5<GAMMAD>	= 19.500	(BOTH WALLS)
ITEM NO.	6<GAMMAB>	= 9.5000	(BOTH WALLS)
ITEM NO.	7<GAMMAN>	= 10.000	(BOTH WALLS)
ITEM NO.	12<K0-NC>	= 0.55000	(BOTH WALLS)
ITEM NO.	13<NEXP>	= 0.50000	(BOTH WALLS)
ITEM NO.	14<OCR>	= 1.0000	(BOTH WALLS)
ITEM NO.	16<MODEL>	= 1.0000	(BOTH WALLS)
ITEM NO.	17<EVC>	= 18000.	(BOTH WALLS)
ITEM NO.	18<EUR>	= 50000.	(BOTH WALLS)
ITEM NO.	27<U-PERM>	= 0.10000E-06	(BOTH WALLS)
ITEM NO.	32<U-PHICV>	= 24.000	(BOTH WALLS)
ITEM NO.	33<U-KACV>	= 0.42200	WALL NO. 1
ITEM NO.	34<U-KPCV>	= 3.0510	WALL NO. 1
ITEM NO.	35<U-PHPEAA>	= 24.000	(BOTH WALLS)
ITEM NO.	36<U-KAPEAK>	= 0.42200	WALL NO. 1
ITEM NO.	37<U-KPPEAK>	= 3.0510	WALL NO. 1
ITEM NO.	38<U-SU>	= 80.000	(BOTH WALLS)
ITEM NO.	39<U-EU>	= 50000.	(BOTH WALLS)
ITEM NO.	40<U-KWU>	= 3000.0	(BOTH WALLS)
ITEM NO.	43<U-APPC>	= 5.0000	(BOTH WALLS)
ITEM NO.	62<D-NATURE>	= 2.0000	(BOTH WALLS)
ITEM NO.	63<D-LEVEL>	= 0.0000	(BOTH WALLS)
ITEM NO.	87<D-PERM>	= 0.10000E-06	(BOTH WALLS)
ITEM NO.	92<D-PHICV>	= 24.000	(BOTH WALLS)
ITEM NO.	93<D-KACV>	= 0.42200	WALL NO. 1
ITEM NO.	94<D-KPCV>	= 3.0510	WALL NO. 1
ITEM NO.	95<D-PHPEA>	= 24.000	(BOTH WALLS)
ITEM NO.	96<D-KAPEAK>	= 0.42200	WALL NO. 1
ITEM NO.	97<D-KPPEAK>	= 3.0510	WALL NO. 1
ITEM NO.	98<D-SU>	= 80.000	(BOTH WALLS)
ITEM NO.	99<D-EU>	= 50000.	(BOTH WALLS)
ITEM NO.	100<D-KWU>	= 3000.0	(BOTH WALLS)
ITEM NO.	103<D-APPC>	= 5.0000	(BOTH WALLS)



PROGETTO DEFINITIVO

Linea Taranto – Brindisi

NUOVA STAZIONE DI NASISI

Relazione di calcolo opere provvisionali

PROGETTO	LOTTO	CODIFICA DOCUMENTO	REV.	FOGLIO
IA8E	00	D 78 CL FV0103 003	A	74 DI 91

NON ZERO LAYER DESCRIPTORS FOR LAYER NO. 3 FOR STEP NO. 1

ITEM NO. 1<NAME>= 20.000 (BOTH WALLS)
ITEM NO. 2<NATURE>= 2.0000 (BOTH WALLS)
ITEM NO. 3<LEVEL>= -11.500 (BOTH WALLS)
ITEM NO. 4<WALL>= 1.0000 (BOTH WALLS)
ITEM NO. 5<GAMMAD>= 19.500 (BOTH WALLS)
ITEM NO. 6<GAMMAB>= 9.5000 (BOTH WALLS)
ITEM NO. 7<GAMMAW>= 10.000 (BOTH WALLS)
ITEM NO. 12<K0-NC>= 0.55000 (BOTH WALLS)
ITEM NO. 13<NEXP>= 5.0000 (BOTH WALLS)
ITEM NO. 14<OCR>= 1.0000 (BOTH WALLS)
ITEM NO. 16<MODEL>= 1.0000 (BOTH WALLS)
ITEM NO. 17<EVC>= 30000. (BOTH WALLS)
ITEM NO. 18<EUR>= 90000. (BOTH WALLS)
ITEM NO. 27<U-PERM>= 0.10000E-09 (BOTH WALLS)
ITEM NO. 32<U-PHICV>= 24.000 (BOTH WALLS)
ITEM NO. 33<U-KACV>= 0.42200 WALL NO. 1
ITEM NO. 34<U-KPCV>= 3.0510 WALL NO. 1
ITEM NO. 35<U-PHPEA>= 24.000 (BOTH WALLS)
ITEM NO. 36<U-KAPEAK>= 0.42200 WALL NO. 1
ITEM NO. 37<U-KPPEAK>= 3.0510 WALL NO. 1
ITEM NO. 38<U-SU>= 140.00 (BOTH WALLS)
ITEM NO. 39<U-EU>= 90000. (BOTH WALLS)
ITEM NO. 40<U-KWU>= 20000. (BOTH WALLS)
ITEM NO. 43<U-APPC>= 20.000 (BOTH WALLS)
ITEM NO. 62<D-NATURE>= 2.0000 (BOTH WALLS)
ITEM NO. 63<D-LEVEL>= 0.0000 (BOTH WALLS)
ITEM NO. 87<D-PERM>= 0.10000E-09 (BOTH WALLS)
ITEM NO. 92<D-PHICV>= 24.000 (BOTH WALLS)
ITEM NO. 93<D-KACV>= 0.42200 WALL NO. 1
ITEM NO. 94<D-KPCV>= 3.0510 WALL NO. 1
ITEM NO. 95<D-PHPEA>= 24.000 (BOTH WALLS)
ITEM NO. 96<D-KAPEAK>= 0.42200 WALL NO. 1
ITEM NO. 97<D-KPPEAK>= 3.0510 WALL NO. 1
ITEM NO. 98<D-SU>= 140.00 (BOTH WALLS)
ITEM NO. 99<D-EU>= 90000. (BOTH WALLS)
ITEM NO. 100<D-KWU>= 20000. (BOTH WALLS)
ITEM NO. 103<D-APPC>= 20.000 (BOTH WALLS)

NON ZERO LAYER DESCRIPTORS FOR LAYER NO. 4 FOR STEP NO. 1

ITEM NO. 1<NAME>= 21.000 (BOTH WALLS)
ITEM NO. 2<NATURE>= 1.0000 (BOTH WALLS)
ITEM NO. 3<LEVEL>= -15.000 (BOTH WALLS)
ITEM NO. 4<WALL>= 1.0000 (BOTH WALLS)
ITEM NO. 5<GAMMAD>= 19.500 (BOTH WALLS)
ITEM NO. 6<GAMMAB>= 9.5000 (BOTH WALLS)
ITEM NO. 7<GAMMAW>= 10.000 (BOTH WALLS)
ITEM NO. 9<FRICT>= 34.200 (BOTH WALLS)
ITEM NO. 10<U-KA>= 0.28000 WALL NO. 1
ITEM NO. 11<U-KP>= 5.5760 WALL NO. 1
ITEM NO. 12<K0-NC>= 0.45000 (BOTH WALLS)
ITEM NO. 13<NEXP>= 0.50000 (BOTH WALLS)
ITEM NO. 14<OCR>= 1.0000 (BOTH WALLS)
ITEM NO. 16<MODEL>= 1.0000 (BOTH WALLS)
ITEM NO. 17<EVC>= 20000. (BOTH WALLS)
ITEM NO. 18<EUR>= 32000. (BOTH WALLS)
ITEM NO. 27<U-PERM>= 0.10000E-03 (BOTH WALLS)
ITEM NO. 62<D-NATURE>= 1.0000 (BOTH WALLS)
ITEM NO. 63<D-LEVEL>= 0.0000 (BOTH WALLS)
ITEM NO. 69<D-FRICT>= 34.200 (BOTH WALLS)
ITEM NO. 70<D-KA>= 0.28000 WALL NO. 1
ITEM NO. 71<D-KP>= 5.5760 WALL NO. 1
ITEM NO. 87<D-PERM>= 0.10000E-03 (BOTH WALLS)

LAYER DESCRIPTORS FOR STEP NO. 2

NON ZERO LAYER DESCRIPTORS FOR LAYER NO. 1 FOR STEP NO. 2

ITEM NO. 1<NAME>= 18.000 (BOTH WALLS)
ITEM NO. 2<NATURE>= 1.0000 (BOTH WALLS)
ITEM NO. 3<LEVEL>= 0.0000 (BOTH WALLS)
ITEM NO. 4<WALL>= 1.0000 (BOTH WALLS)
ITEM NO. 5<GAMMAD>= 18.900 (BOTH WALLS)
ITEM NO. 6<GAMMAB>= 8.9000 (BOTH WALLS)



PROGETTO DEFINITIVO

Linea Taranto – Brindisi

NUOVA STAZIONE DI NASISI

Relazione di calcolo opere provvisionali

PROGETTO	LOTTO	CODIFICA	DOCUMENTO	REV.	FOGLIO
IA8E	00	D 78 CL	FV0103 003	A	75 DI 91

ITEM NO. 7<gt;>= 10.000 (BOTH WALLS)
ITEM NO. 9<gt;>= 32.900 (BOTH WALLS)
ITEM NO. 10<gt;>= 0.29600 WALL NO. 1
ITEM NO. 11<gt;>= 5.1280 WALL NO. 1
ITEM NO. 12<gt;>= 0.45000 (BOTH WALLS)
ITEM NO. 13<gt;>= 0.50000 (BOTH WALLS)
ITEM NO. 14<gt;>= 1.0000 (BOTH WALLS)
ITEM NO. 16<gt;>= 1.0000 (BOTH WALLS)
ITEM NO. 17<gt;>= 12000. (BOTH WALLS)
ITEM NO. 18<gt;>= 18000. (BOTH WALLS)
ITEM NO. 27<gt;>= 0.10000E-04 (BOTH WALLS)
ITEM NO. 62<gt;>= 1.0000 (BOTH WALLS)
ITEM NO. 63<gt;>= 0.0000 (BOTH WALLS)
ITEM NO. 69<gt;>= 32.900 (BOTH WALLS)
ITEM NO. 70<gt;>= 0.29600 WALL NO. 1
ITEM NO. 71<gt;>= 5.1280 WALL NO. 1
ITEM NO. 87<gt;>= 0.10000E-04 (BOTH WALLS)

NON ZERO LAYER DESCRIPTORS FOR LAYER NO. 2 FOR STEP NO. 2

ITEM NO. 1<gt;>= 19.000 (BOTH WALLS)
ITEM NO. 2<gt;>= 2.0000 (BOTH WALLS)
ITEM NO. 3<gt;>= -2.0000 (BOTH WALLS)
ITEM NO. 4<gt;>= 1.0000 (BOTH WALLS)
ITEM NO. 5<gt;>= 19.500 (BOTH WALLS)
ITEM NO. 6<gt;>= 9.5000 (BOTH WALLS)
ITEM NO. 7<gt;>= 10.000 (BOTH WALLS)
ITEM NO. 12<gt;>= 0.55000 (BOTH WALLS)
ITEM NO. 13<gt;>= 0.50000 (BOTH WALLS)
ITEM NO. 14<gt;>= 1.0000 (BOTH WALLS)
ITEM NO. 16<gt;>= 1.0000 (BOTH WALLS)
ITEM NO. 17<gt;>= 18000. (BOTH WALLS)
ITEM NO. 18<gt;>= 50000. (BOTH WALLS)
ITEM NO. 27<gt;>= 0.10000E-06 (BOTH WALLS)
ITEM NO. 32<gt;>= 24.000 (BOTH WALLS)
ITEM NO. 33<gt;>= 0.42200 WALL NO. 1
ITEM NO. 34<gt;>= 3.0510 WALL NO. 1
ITEM NO. 35<gt;>= 24.000 (BOTH WALLS)
ITEM NO. 36<gt;>= 0.42200 WALL NO. 1
ITEM NO. 37<gt;>= 3.0510 WALL NO. 1
ITEM NO. 38<gt;>= 80.000 (BOTH WALLS)
ITEM NO. 39<gt;>= 50000. (BOTH WALLS)
ITEM NO. 40<gt;>= 3000.0 (BOTH WALLS)
ITEM NO. 43<gt;>= 5.0000 (BOTH WALLS)
ITEM NO. 62<gt;>= 2.0000 (BOTH WALLS)
ITEM NO. 63<gt;>= 0.0000 (BOTH WALLS)
ITEM NO. 87<gt;>= 0.10000E-06 (BOTH WALLS)
ITEM NO. 92<gt;>= 24.000 (BOTH WALLS)
ITEM NO. 93<gt;>= 0.42200 WALL NO. 1
ITEM NO. 94<gt;>= 3.0510 WALL NO. 1
ITEM NO. 95<gt;>= 24.000 (BOTH WALLS)
ITEM NO. 96<gt;>= 0.42200 WALL NO. 1
ITEM NO. 97<gt;>= 3.0510 WALL NO. 1
ITEM NO. 98<gt;>= 80.000 (BOTH WALLS)
ITEM NO. 99<gt;>= 50000. (BOTH WALLS)
ITEM NO. 100<gt;>= 3000.0 (BOTH WALLS)
ITEM NO. 103<gt;>= 5.0000 (BOTH WALLS)

NON ZERO LAYER DESCRIPTORS FOR LAYER NO. 3 FOR STEP NO. 2

ITEM NO. 1<gt;>= 20.000 (BOTH WALLS)
ITEM NO. 2<gt;>= 2.0000 (BOTH WALLS)
ITEM NO. 3<gt;>= -11.500 (BOTH WALLS)
ITEM NO. 4<gt;>= 1.0000 (BOTH WALLS)
ITEM NO. 5<gt;>= 19.500 (BOTH WALLS)
ITEM NO. 6<gt;>= 9.5000 (BOTH WALLS)
ITEM NO. 7<gt;>= 10.000 (BOTH WALLS)
ITEM NO. 12<gt;>= 0.55000 (BOTH WALLS)
ITEM NO. 13<gt;>= 5.0000 (BOTH WALLS)
ITEM NO. 14<gt;>= 1.0000 (BOTH WALLS)
ITEM NO. 16<gt;>= 1.0000 (BOTH WALLS)
ITEM NO. 17<gt;>= 30000. (BOTH WALLS)
ITEM NO. 18<gt;>= 90000. (BOTH WALLS)
ITEM NO. 27<gt;>= 0.10000E-09 (BOTH WALLS)
ITEM NO. 32<gt;>= 24.000 (BOTH WALLS)
ITEM NO. 33<gt;>= 0.42200 WALL NO. 1
ITEM NO. 34<gt;>= 3.0510 WALL NO. 1
ITEM NO. 35<gt;>= 24.000 (BOTH WALLS)

**PROGETTO DEFINITIVO****Linea Taranto – Brindisi****NUOVA STAZIONE DI NASISI****Relazione di calcolo opere provvisionali**

PROGETTO IA8E	LOTTO 00	CODIFICA D 78 CL	DOCUMENTO FV0103 003	REV. A	FOGLIO 76 DI 91
------------------	-------------	---------------------	-------------------------	-----------	--------------------

ITEM NO. 36<lt;U-KAPEAK>= 0.42200 WALL NO. 1
ITEM NO. 37<lt;U-KPPEAK>= 3.0510 WALL NO. 1
ITEM NO. 38<lt;U-SU >= 140.00 (BOTH WALLS)
ITEM NO. 39<lt;U-EU >= 90000. (BOTH WALLS)
ITEM NO. 40<lt;U-KWU >= 20000. (BOTH WALLS)
ITEM NO. 43<lt;U-APPC >= 20.000 (BOTH WALLS)
ITEM NO. 62<lt;D-NATURE>= 2.0000 (BOTH WALLS)
ITEM NO. 63<lt;D-LEVEL >= 0.0000 (BOTH WALLS)
ITEM NO. 87<lt;D-PERM >= 0.10000E-09 (BOTH WALLS)
ITEM NO. 92<lt;D-PHICV >= 24.000 (BOTH WALLS)
ITEM NO. 93<lt;D-KACV >= 0.42200 WALL NO. 1
ITEM NO. 94<lt;D-KPCV >= 3.0510 WALL NO. 1
ITEM NO. 95<lt;D-PHPEA>= 24.000 (BOTH WALLS)
ITEM NO. 96<lt;D-KAPEAK>= 0.42200 WALL NO. 1
ITEM NO. 97<lt;D-KPPEAK>= 3.0510 WALL NO. 1
ITEM NO. 98<lt;D-SU >= 140.00 (BOTH WALLS)
ITEM NO. 99<lt;D-EU >= 90000. (BOTH WALLS)
ITEM NO. 100<lt;D-KWU >= 20000. (BOTH WALLS)
ITEM NO. 103<lt;D-APPC >= 20.000 (BOTH WALLS)

NON ZERO LAYER DESCRIPTORS FOR LAYER NO. 4 FOR STEP NO. 2

ITEM NO. 1<lt;NAME >= 21.000 (BOTH WALLS)
ITEM NO. 2<lt;NATURE >= 1.0000 (BOTH WALLS)
ITEM NO. 3<lt;LEVEL >= -15.000 (BOTH WALLS)
ITEM NO. 4<lt;WALL >= 1.0000 (BOTH WALLS)
ITEM NO. 5<lt;GAMMAD >= 19.500 (BOTH WALLS)
ITEM NO. 6<lt;GAMMAB >= 9.5000 (BOTH WALLS)
ITEM NO. 7<lt;GAMMAW >= 10.000 (BOTH WALLS)
ITEM NO. 9<lt;U-FRICT >= 34.200 (BOTH WALLS)
ITEM NO. 10<lt;U-KA >= 0.28000 WALL NO. 1
ITEM NO. 11<lt;U-KP >= 5.5760 WALL NO. 1
ITEM NO. 12<lt;KO-NC >= 0.45000 (BOTH WALLS)
ITEM NO. 13<lt;NEXP >= 0.50000 (BOTH WALLS)
ITEM NO. 14<lt;OCR >= 1.0000 (BOTH WALLS)
ITEM NO. 16<lt;MODEL >= 1.0000 (BOTH WALLS)
ITEM NO. 17<lt;EVC >= 20000. (BOTH WALLS)
ITEM NO. 18<lt;EUR >= 32000. (BOTH WALLS)
ITEM NO. 27<lt;U-PERM >= 0.10000E-03 (BOTH WALLS)
ITEM NO. 62<lt;D-NATURE>= 1.0000 (BOTH WALLS)
ITEM NO. 63<lt;D-LEVEL >= 0.0000 (BOTH WALLS)
ITEM NO. 69<lt;D-FRICT >= 34.200 (BOTH WALLS)
ITEM NO. 70<lt;D-KA >= 0.28000 WALL NO. 1
ITEM NO. 71<lt;D-KP >= 5.5760 WALL NO. 1
ITEM NO. 87<lt;D-PERM >= 0.10000E-03 (BOTH WALLS)

LAYER DESCRIPTORS FOR STEP NO. 3

NON ZERO LAYER DESCRIPTORS FOR LAYER NO. 1 FOR STEP NO. 3

ITEM NO. 1<lt;NAME >= 18.000 (BOTH WALLS)
ITEM NO. 2<lt;NATURE >= 1.0000 (BOTH WALLS)
ITEM NO. 3<lt;LEVEL >= 0.0000 (BOTH WALLS)
ITEM NO. 4<lt;WALL >= 1.0000 (BOTH WALLS)
ITEM NO. 5<lt;GAMMAD >= 18.900 (BOTH WALLS)
ITEM NO. 6<lt;GAMMAB >= 8.9000 (BOTH WALLS)
ITEM NO. 7<lt;GAMMAW >= 10.000 (BOTH WALLS)
ITEM NO. 9<lt;U-FRICT >= 32.900 (BOTH WALLS)
ITEM NO. 10<lt;U-KA >= 0.29600 WALL NO. 1
ITEM NO. 11<lt;U-KP >= 5.1280 WALL NO. 1
ITEM NO. 12<lt;KO-NC >= 0.45000 (BOTH WALLS)
ITEM NO. 13<lt;NEXP >= 0.50000 (BOTH WALLS)
ITEM NO. 14<lt;OCR >= 1.0000 (BOTH WALLS)
ITEM NO. 16<lt;MODEL >= 1.0000 (BOTH WALLS)
ITEM NO. 17<lt;EVC >= 12000. (BOTH WALLS)
ITEM NO. 18<lt;EUR >= 18000. (BOTH WALLS)
ITEM NO. 27<lt;U-PERM >= 0.10000E-04 (BOTH WALLS)
ITEM NO. 62<lt;D-NATURE>= 1.0000 (BOTH WALLS)
ITEM NO. 63<lt;D-LEVEL >= 0.0000 (BOTH WALLS)
ITEM NO. 69<lt;D-FRICT >= 32.900 (BOTH WALLS)
ITEM NO. 70<lt;D-KA >= 0.29600 WALL NO. 1
ITEM NO. 71<lt;D-KP >= 5.1280 WALL NO. 1
ITEM NO. 87<lt;D-PERM >= 0.10000E-04 (BOTH WALLS)

NON ZERO LAYER DESCRIPTORS FOR LAYER NO. 2 FOR STEP NO. 3

ITEM NO. 1<lt;NAME >= 19.000 (BOTH WALLS)



PROGETTO DEFINITIVO

Linea Taranto – Brindisi

NUOVA STAZIONE DI NASISI

Relazione di calcolo opere provvisionali

PROGETTO	LOTTO	CODIFICA	DOCUMENTO	REV.	FOGLIO
IA8E	00	D 78 CL	FV0103 003	A	77 DI 91

ITEM NO. 2<gt;>= 2.0000 (BOTH WALLS)
ITEM NO. 3<gt;>= -2.0000 (BOTH WALLS)
ITEM NO. 4<gt;>= 1.0000 (BOTH WALLS)
ITEM NO. 5<gt;>= 19.500 (BOTH WALLS)
ITEM NO. 6<gt;>= 9.5000 (BOTH WALLS)
ITEM NO. 7<gt;>= 10.000 (BOTH WALLS)
ITEM NO. 12<gt;>= 0.55000 (BOTH WALLS)
ITEM NO. 13<gt;>= 0.50000 (BOTH WALLS)
ITEM NO. 14<gt;>= 1.0000 (BOTH WALLS)
ITEM NO. 16<gt;>= 1.0000 (BOTH WALLS)
ITEM NO. 17<gt;>= 18000. (BOTH WALLS)
ITEM NO. 18<gt;>= 50000. (BOTH WALLS)
ITEM NO. 27<gt;>= 0.10000E-06 (BOTH WALLS)
ITEM NO. 32<gt;>= 24.000 (BOTH WALLS)
ITEM NO. 33<gt;>= 0.42200 WALL NO. 1
ITEM NO. 34<gt;>= 3.0510 WALL NO. 1
ITEM NO. 35<gt;>= 24.000 (BOTH WALLS)
ITEM NO. 36<gt;>= 0.42200 WALL NO. 1
ITEM NO. 37<gt;>= 3.0510 WALL NO. 1
ITEM NO. 38<gt;>= 80.000 (BOTH WALLS)
ITEM NO. 39<gt;>= 50000. (BOTH WALLS)
ITEM NO. 40<gt;>= 3000.0 (BOTH WALLS)
ITEM NO. 43<gt;>= 5.0000 (BOTH WALLS)
ITEM NO. 62<gt;>= 2.0000 (BOTH WALLS)
ITEM NO. 63<gt;>= 0.0000 (BOTH WALLS)
ITEM NO. 87<gt;>= 0.10000E-06 (BOTH WALLS)
ITEM NO. 92<gt;>= 24.000 (BOTH WALLS)
ITEM NO. 93<gt;>= 0.42200 WALL NO. 1
ITEM NO. 94<gt;>= 3.0510 WALL NO. 1
ITEM NO. 95<gt;>= 24.000 (BOTH WALLS)
ITEM NO. 96<gt;>= 0.42200 WALL NO. 1
ITEM NO. 97<gt;>= 3.0510 WALL NO. 1
ITEM NO. 98<gt;>= 80.000 (BOTH WALLS)
ITEM NO. 99<gt;>= 50000. (BOTH WALLS)
ITEM NO. 100<gt;>= 3000.0 (BOTH WALLS)
ITEM NO. 103<gt;>= 5.0000 (BOTH WALLS)

NON ZERO LAYER DESCRIPTORS FOR LAYER NO. 3 FOR STEP NO. 3

ITEM NO. 1<gt;>= 20.000 (BOTH WALLS)
ITEM NO. 2<gt;>= 2.0000 (BOTH WALLS)
ITEM NO. 3<gt;>= -11.500 (BOTH WALLS)
ITEM NO. 4<gt;>= 1.0000 (BOTH WALLS)
ITEM NO. 5<gt;>= 19.500 (BOTH WALLS)
ITEM NO. 6<gt;>= 9.5000 (BOTH WALLS)
ITEM NO. 7<gt;>= 10.000 (BOTH WALLS)
ITEM NO. 12<gt;>= 0.55000 (BOTH WALLS)
ITEM NO. 13<gt;>= 5.0000 (BOTH WALLS)
ITEM NO. 14<gt;>= 1.0000 (BOTH WALLS)
ITEM NO. 16<gt;>= 1.0000 (BOTH WALLS)
ITEM NO. 17<gt;>= 30000. (BOTH WALLS)
ITEM NO. 18<gt;>= 90000. (BOTH WALLS)
ITEM NO. 27<gt;>= 0.10000E-09 (BOTH WALLS)
ITEM NO. 32<gt;>= 24.000 (BOTH WALLS)
ITEM NO. 33<gt;>= 0.42200 WALL NO. 1
ITEM NO. 34<gt;>= 3.0510 WALL NO. 1
ITEM NO. 35<gt;>= 24.000 (BOTH WALLS)
ITEM NO. 36<gt;>= 0.42200 WALL NO. 1
ITEM NO. 37<gt;>= 3.0510 WALL NO. 1
ITEM NO. 38<gt;>= 140.00 (BOTH WALLS)
ITEM NO. 39<gt;>= 90000. (BOTH WALLS)
ITEM NO. 40<gt;>= 20000. (BOTH WALLS)
ITEM NO. 43<gt;>= 20.000 (BOTH WALLS)
ITEM NO. 62<gt;>= 2.0000 (BOTH WALLS)
ITEM NO. 63<gt;>= 0.0000 (BOTH WALLS)
ITEM NO. 87<gt;>= 0.10000E-09 (BOTH WALLS)
ITEM NO. 92<gt;>= 24.000 (BOTH WALLS)
ITEM NO. 93<gt;>= 0.42200 WALL NO. 1
ITEM NO. 94<gt;>= 3.0510 WALL NO. 1
ITEM NO. 95<gt;>= 24.000 (BOTH WALLS)
ITEM NO. 96<gt;>= 0.42200 WALL NO. 1
ITEM NO. 97<gt;>= 3.0510 WALL NO. 1
ITEM NO. 98<gt;>= 140.00 (BOTH WALLS)
ITEM NO. 99<gt;>= 90000. (BOTH WALLS)
ITEM NO. 100<gt;>= 20000. (BOTH WALLS)
ITEM NO. 103<gt;>= 20.000 (BOTH WALLS)

NON ZERO LAYER DESCRIPTORS FOR LAYER NO. 4 FOR STEP NO. 3

**PROGETTO DEFINITIVO****Linea Taranto – Brindisi****NUOVA STAZIONE DI NASISI****Relazione di calcolo opere provvisionali**

PROGETTO	LOTTO	CODIFICA	DOCUMENTO	REV.	FOGLIO
IA8E	00	D 78 CL	FV0103 003	A	78 DI 91

ITEM NO. 1<NAME >= 21.000 (BOTH WALLS)
ITEM NO. 2<NATURE >= 1.0000 (BOTH WALLS)
ITEM NO. 3<LEVEL >= -15.000 (BOTH WALLS)
ITEM NO. 4<WALL >= 1.0000 (BOTH WALLS)
ITEM NO. 5<GAMMAD >= 19.500 (BOTH WALLS)
ITEM NO. 6<GAMMAB >= 9.5000 (BOTH WALLS)
ITEM NO. 7<GAMMAW >= 10.000 (BOTH WALLS)
ITEM NO. 9<U-FRICT >= 34.200 (BOTH WALLS)
ITEM NO. 10<U-KA >= 0.28000 WALL NO. 1
ITEM NO. 11<U-KP >= 5.5760 WALL NO. 1
ITEM NO. 12<KO-NC >= 0.45000 (BOTH WALLS)
ITEM NO. 13<NEXP >= 0.50000 (BOTH WALLS)
ITEM NO. 14<OCR >= 1.0000 (BOTH WALLS)
ITEM NO. 16<MODEL >= 1.0000 (BOTH WALLS)
ITEM NO. 17<EVC >= 20000. (BOTH WALLS)
ITEM NO. 18<EUR >= 32000. (BOTH WALLS)
ITEM NO. 27<U-PERM >= 0.10000E-03 (BOTH WALLS)
ITEM NO. 62<D-NATURE>= 1.0000 (BOTH WALLS)
ITEM NO. 63<D-LEVEL >= 0.0000 (BOTH WALLS)
ITEM NO. 69<D-FRICT >= 34.200 (BOTH WALLS)
ITEM NO. 70<D-KA >= 0.28000 WALL NO. 1
ITEM NO. 71<D-KP >= 5.5760 WALL NO. 1
ITEM NO. 87<D-PERM >= 0.10000E-03 (BOTH WALLS)

LAYER DESCRIPTORS FOR STEP NO. 4

NON ZERO LAYER DESCRIPTORS FOR LAYER NO. 1 FOR STEP NO. 4

ITEM NO. 1<NAME >= 18.000 (BOTH WALLS)
ITEM NO. 2<NATURE >= 1.0000 (BOTH WALLS)
ITEM NO. 3<LEVEL >= 0.0000 (BOTH WALLS)
ITEM NO. 4<WALL >= 1.0000 (BOTH WALLS)
ITEM NO. 5<GAMMAD >= 18.900 (BOTH WALLS)
ITEM NO. 6<GAMMAB >= 8.9000 (BOTH WALLS)
ITEM NO. 7<GAMMAW >= 10.000 (BOTH WALLS)
ITEM NO. 9<U-FRICT >= 32.900 (BOTH WALLS)
ITEM NO. 10<U-KA >= 0.29600 WALL NO. 1
ITEM NO. 11<U-KP >= 5.1280 WALL NO. 1
ITEM NO. 12<KO-NC >= 0.45000 (BOTH WALLS)
ITEM NO. 13<NEXP >= 0.50000 (BOTH WALLS)
ITEM NO. 14<OCR >= 1.0000 (BOTH WALLS)
ITEM NO. 16<MODEL >= 1.0000 (BOTH WALLS)
ITEM NO. 17<EVC >= 12000. (BOTH WALLS)
ITEM NO. 18<EUR >= 18000. (BOTH WALLS)
ITEM NO. 27<U-PERM >= 0.10000E-04 (BOTH WALLS)
ITEM NO. 62<D-NATURE>= 1.0000 (BOTH WALLS)
ITEM NO. 63<D-LEVEL >= 0.0000 (BOTH WALLS)
ITEM NO. 69<D-FRICT >= 32.900 (BOTH WALLS)
ITEM NO. 70<D-KA >= 0.29600 WALL NO. 1
ITEM NO. 71<D-KP >= 5.1280 WALL NO. 1
ITEM NO. 87<D-PERM >= 0.10000E-04 (BOTH WALLS)

NON ZERO LAYER DESCRIPTORS FOR LAYER NO. 2 FOR STEP NO. 4

ITEM NO. 1<NAME >= 19.000 (BOTH WALLS)
ITEM NO. 2<NATURE >= 2.0000 (BOTH WALLS)
ITEM NO. 3<LEVEL >= -2.0000 (BOTH WALLS)
ITEM NO. 4<WALL >= 1.0000 (BOTH WALLS)
ITEM NO. 5<GAMMAD >= 19.500 (BOTH WALLS)
ITEM NO. 6<GAMMAB >= 9.5000 (BOTH WALLS)
ITEM NO. 7<GAMMAW >= 10.000 (BOTH WALLS)
ITEM NO. 12<KO-NC >= 0.55000 (BOTH WALLS)
ITEM NO. 13<NEXP >= 0.50000 (BOTH WALLS)
ITEM NO. 14<OCR >= 1.0000 (BOTH WALLS)
ITEM NO. 16<MODEL >= 1.0000 (BOTH WALLS)
ITEM NO. 17<EVC >= 18000. (BOTH WALLS)
ITEM NO. 18<EUR >= 50000. (BOTH WALLS)
ITEM NO. 27<U-PERM >= 0.10000E-06 (BOTH WALLS)
ITEM NO. 32<U-PHICV >= 24.000 (BOTH WALLS)
ITEM NO. 33<U-KACV >= 0.42200 WALL NO. 1
ITEM NO. 34<U-KPCV >= 3.0510 WALL NO. 1
ITEM NO. 35<U-PHPEA>= 24.000 (BOTH WALLS)
ITEM NO. 36<U-KAPEAK>= 0.42200 WALL NO. 1
ITEM NO. 37<U-KPPEAK>= 3.0510 WALL NO. 1
ITEM NO. 38<U-SU >= 80.000 (BOTH WALLS)
ITEM NO. 39<U-EU >= 50000. (BOTH WALLS)



PROGETTO DEFINITIVO

Linea Taranto – Brindisi

NUOVA STAZIONE DI NASISI

Relazione di calcolo opere provvisionali

PROGETTO IA8E	LOTTO 00	CODIFICA D 78 CL	DOCUMENTO FV0103 003	REV. A	FOGLIO 79 DI 91
------------------	-------------	---------------------	-------------------------	-----------	--------------------

ITEM NO. 40<U-KWU >= 3000.0 (BOTH WALLS)
ITEM NO. 43<U-APPC >= 5.0000 (BOTH WALLS)
ITEM NO. 62<D-NATURE>= 2.0000 (BOTH WALLS)
ITEM NO. 63<D-LEVEL >= 0.0000 (BOTH WALLS)
ITEM NO. 87<D-PERM >= 0.10000E-06 (BOTH WALLS)
ITEM NO. 92<D-PHICV >= 24.000 (BOTH WALLS)
ITEM NO. 93<D-KACV >= 0.42200 WALL NO. 1
ITEM NO. 94<D-KPCV >= 3.0510 WALL NO. 1
ITEM NO. 95<D-PHIPEA>= 24.000 (BOTH WALLS)
ITEM NO. 96<D-KAPEAK>= 0.42200 WALL NO. 1
ITEM NO. 97<D-KPPEAK>= 3.0510 WALL NO. 1
ITEM NO. 98<D-SU >= 80.000 (BOTH WALLS)
ITEM NO. 99<D-EU >= 50000. (BOTH WALLS)
ITEM NO. 100<D-KWU >= 3000.0 (BOTH WALLS)
ITEM NO. 103<D-APPC >= 5.0000 (BOTH WALLS)

NON ZERO LAYER DESCRIPTORS FOR LAYER NO. 3 FOR STEP NO. 4

ITEM NO. 1<NAME >= 20.000 (BOTH WALLS)
ITEM NO. 2<NATURE >= 2.0000 (BOTH WALLS)
ITEM NO. 3<LEVEL >= -11.500 (BOTH WALLS)
ITEM NO. 4<WALL >= 1.0000 (BOTH WALLS)
ITEM NO. 5<GAMMAD >= 19.500 (BOTH WALLS)
ITEM NO. 6<GAMMAB >= 9.5000 (BOTH WALLS)
ITEM NO. 7<GAMMAW >= 10.000 (BOTH WALLS)
ITEM NO. 12<KO-NC >= 0.55000 (BOTH WALLS)
ITEM NO. 13<NEXP >= 5.0000 (BOTH WALLS)
ITEM NO. 14<OCR >= 1.0000 (BOTH WALLS)
ITEM NO. 16<MODEL >= 1.0000 (BOTH WALLS)
ITEM NO. 17<EVC >= 30000. (BOTH WALLS)
ITEM NO. 18<EUR >= 90000. (BOTH WALLS)
ITEM NO. 27<U-PERM >= 0.10000E-09 (BOTH WALLS)
ITEM NO. 32<U-PHICV >= 24.000 (BOTH WALLS)
ITEM NO. 33<U-KACV >= 0.42200 WALL NO. 1
ITEM NO. 34<U-KPCV >= 3.0510 WALL NO. 1
ITEM NO. 35<U-PHIPEA>= 24.000 (BOTH WALLS)
ITEM NO. 36<U-KAPEAK>= 0.42200 WALL NO. 1
ITEM NO. 37<U-KPPEAK>= 3.0510 WALL NO. 1
ITEM NO. 38<U-SU >= 140.00 (BOTH WALLS)
ITEM NO. 39<U-EU >= 90000. (BOTH WALLS)
ITEM NO. 40<U-KWU >= 20000. (BOTH WALLS)
ITEM NO. 43<U-APPC >= 20.000 (BOTH WALLS)
ITEM NO. 62<D-NATURE>= 2.0000 (BOTH WALLS)
ITEM NO. 63<D-LEVEL >= 0.0000 (BOTH WALLS)
ITEM NO. 87<D-PERM >= 0.10000E-09 (BOTH WALLS)
ITEM NO. 92<D-PHICV >= 24.000 (BOTH WALLS)
ITEM NO. 93<D-KACV >= 0.42200 WALL NO. 1
ITEM NO. 94<D-KPCV >= 3.0510 WALL NO. 1
ITEM NO. 95<D-PHIPEA>= 24.000 (BOTH WALLS)
ITEM NO. 96<D-KAPEAK>= 0.42200 WALL NO. 1
ITEM NO. 97<D-KPPEAK>= 3.0510 WALL NO. 1
ITEM NO. 98<D-SU >= 140.00 (BOTH WALLS)
ITEM NO. 99<D-EU >= 90000. (BOTH WALLS)
ITEM NO. 100<D-KWU >= 20000. (BOTH WALLS)
ITEM NO. 103<D-APPC >= 20.000 (BOTH WALLS)

NON ZERO LAYER DESCRIPTORS FOR LAYER NO. 4 FOR STEP NO. 4

ITEM NO. 1<NAME >= 21.000 (BOTH WALLS)
ITEM NO. 2<NATURE >= 1.0000 (BOTH WALLS)
ITEM NO. 3<LEVEL >= -15.000 (BOTH WALLS)
ITEM NO. 4<WALL >= 1.0000 (BOTH WALLS)
ITEM NO. 5<GAMMAD >= 19.500 (BOTH WALLS)
ITEM NO. 6<GAMMAB >= 9.5000 (BOTH WALLS)
ITEM NO. 7<GAMMAW >= 10.000 (BOTH WALLS)
ITEM NO. 9<U-FRICT >= 34.200 (BOTH WALLS)
ITEM NO. 10<U-KA >= 0.28000 WALL NO. 1
ITEM NO. 11<U-KP >= 5.5760 WALL NO. 1
ITEM NO. 12<KO-NC >= 0.45000 (BOTH WALLS)
ITEM NO. 13<NEXP >= 0.50000 (BOTH WALLS)
ITEM NO. 14<OCR >= 1.0000 (BOTH WALLS)
ITEM NO. 16<MODEL >= 1.0000 (BOTH WALLS)
ITEM NO. 17<EVC >= 20000. (BOTH WALLS)
ITEM NO. 18<EUR >= 32000. (BOTH WALLS)
ITEM NO. 27<U-PERM >= 0.10000E-03 (BOTH WALLS)
ITEM NO. 62<D-NATURE>= 1.0000 (BOTH WALLS)
ITEM NO. 63<D-LEVEL >= 0.0000 (BOTH WALLS)
ITEM NO. 69<D-FRICT >= 34.200 (BOTH WALLS)



PROGETTO DEFINITIVO

Linea Taranto – Brindisi

NUOVA STAZIONE DI NASISI

Relazione di calcolo opere provvisionali

PROGETTO	LOTTO	CODIFICA	DOCUMENTO	REV.	FOGLIO
IA8E	00	D 78 CL	FV0103 003	A	80 DI 91

ITEM NO. 70< D-KA >= 0.28000 WALL NO. 1
ITEM NO. 71< D-KP >= 5.5760 WALL NO. 1
ITEM NO. 87< D-PERM >= 0.10000E-03 (BOTH WALLS)

LAYER DESCRIPTORS FOR STEP NO. 5

NON ZERO LAYER DESCRIPTORS FOR LAYER NO. 1 FOR STEP NO. 5

ITEM NO. 1< NAME >= 18.000 (BOTH WALLS)
ITEM NO. 2< NATURE >= 1.0000 (BOTH WALLS)
ITEM NO. 3< LEVEL >= 0.0000 (BOTH WALLS)
ITEM NO. 4< WALL >= 1.0000 (BOTH WALLS)
ITEM NO. 5< GAMMAD >= 18.900 (BOTH WALLS)
ITEM NO. 6< GAMMAB >= 8.9000 (BOTH WALLS)
ITEM NO. 7< GAMMAW >= 10.000 (BOTH WALLS)
ITEM NO. 9< U-FRICT >= 32.900 (BOTH WALLS)
ITEM NO. 10< U-KA >= 0.29600 WALL NO. 1
ITEM NO. 11< U-KP >= 5.1280 WALL NO. 1
ITEM NO. 12< K0-NC >= 0.45000 (BOTH WALLS)
ITEM NO. 13< NEXP >= 0.50000 (BOTH WALLS)
ITEM NO. 14< OCR >= 1.0000 (BOTH WALLS)
ITEM NO. 16< MODEL >= 1.0000 (BOTH WALLS)
ITEM NO. 17< EVC >= 12000. (BOTH WALLS)
ITEM NO. 18< EUR >= 18000. (BOTH WALLS)
ITEM NO. 27< U-PERM >= 0.10000E-04 (BOTH WALLS)
ITEM NO. 62< D-NATURE >= 1.0000 (BOTH WALLS)
ITEM NO. 63< D-LEVEL >= 0.0000 (BOTH WALLS)
ITEM NO. 69< D-FRICT >= 32.900 (BOTH WALLS)
ITEM NO. 70< D-KA >= 0.29600 WALL NO. 1
ITEM NO. 71< D-KP >= 5.1280 WALL NO. 1
ITEM NO. 87< D-PERM >= 0.10000E-04 (BOTH WALLS)

NON ZERO LAYER DESCRIPTORS FOR LAYER NO. 2 FOR STEP NO. 5

ITEM NO. 1< NAME >= 19.000 (BOTH WALLS)
ITEM NO. 2< NATURE >= 2.0000 (BOTH WALLS)
ITEM NO. 3< LEVEL >= -2.0000 (BOTH WALLS)
ITEM NO. 4< WALL >= 1.0000 (BOTH WALLS)
ITEM NO. 5< GAMMAD >= 19.500 (BOTH WALLS)
ITEM NO. 6< GAMMAB >= 9.5000 (BOTH WALLS)
ITEM NO. 7< GAMMAW >= 10.000 (BOTH WALLS)
ITEM NO. 12< K0-NC >= 0.55000 (BOTH WALLS)
ITEM NO. 13< NEXP >= 0.50000 (BOTH WALLS)
ITEM NO. 14< OCR >= 1.0000 (BOTH WALLS)
ITEM NO. 16< MODEL >= 1.0000 (BOTH WALLS)
ITEM NO. 17< EVC >= 18000. (BOTH WALLS)
ITEM NO. 18< EUR >= 50000. (BOTH WALLS)
ITEM NO. 27< U-PERM >= 0.10000E-06 (BOTH WALLS)
ITEM NO. 32< U-PHICV >= 24.000 (BOTH WALLS)
ITEM NO. 33< U-KACV >= 0.42200 WALL NO. 1
ITEM NO. 34< U-KPCV >= 3.0510 WALL NO. 1
ITEM NO. 35< U-PHIEPA >= 24.000 (BOTH WALLS)
ITEM NO. 36< U-KAPEAK >= 0.42200 WALL NO. 1
ITEM NO. 37< U-KPPEAK >= 3.0510 WALL NO. 1
ITEM NO. 38< U-SU >= 80.000 (BOTH WALLS)
ITEM NO. 39< U-EU >= 50000. (BOTH WALLS)
ITEM NO. 40< U-KWU >= 3000.0 (BOTH WALLS)
ITEM NO. 43< U-APPC >= 5.0000 (BOTH WALLS)
ITEM NO. 62< D-NATURE >= 2.0000 (BOTH WALLS)
ITEM NO. 63< D-LEVEL >= 0.0000 (BOTH WALLS)
ITEM NO. 87< D-PERM >= 0.10000E-06 (BOTH WALLS)
ITEM NO. 92< D-PHICV >= 24.000 (BOTH WALLS)
ITEM NO. 93< D-KACV >= 0.42200 WALL NO. 1
ITEM NO. 94< D-KPCV >= 3.0510 WALL NO. 1
ITEM NO. 95< D-PHIEPA >= 24.000 (BOTH WALLS)
ITEM NO. 96< D-KAPEAK >= 0.42200 WALL NO. 1
ITEM NO. 97< D-KPPEAK >= 3.0510 WALL NO. 1
ITEM NO. 98< D-SU >= 80.000 (BOTH WALLS)
ITEM NO. 99< D-EU >= 50000. (BOTH WALLS)
ITEM NO. 100< D-KWU >= 3000.0 (BOTH WALLS)
ITEM NO. 103< D-APPC >= 5.0000 (BOTH WALLS)

NON ZERO LAYER DESCRIPTORS FOR LAYER NO. 3 FOR STEP NO. 5

ITEM NO. 1< NAME >= 20.000 (BOTH WALLS)
ITEM NO. 2< NATURE >= 2.0000 (BOTH WALLS)
ITEM NO. 3< LEVEL >= -11.500 (BOTH WALLS)



PROGETTO DEFINITIVO

Linea Taranto – Brindisi

NUOVA STAZIONE DI NASISI

Relazione di calcolo opere provvisionali

PROGETTO	LOTTO	CODIFICA	DOCUMENTO	REV.	FOGLIO
IA8E	00	D 78 CL	FV0103 003	A	81 DI 91

ITEM NO. 4< WALL >= 1.0000 (BOTH WALLS)
ITEM NO. 5< GAMMAD >= 19.500 (BOTH WALLS)
ITEM NO. 6< GAMMAB >= 9.5000 (BOTH WALLS)
ITEM NO. 7< GAMMAW >= 10.000 (BOTH WALLS)
ITEM NO. 12< KO-NC >= 0.55000 (BOTH WALLS)
ITEM NO. 13< NEXP >= 5.0000 (BOTH WALLS)
ITEM NO. 14< OCR >= 1.0000 (BOTH WALLS)
ITEM NO. 16< MODEL >= 1.0000 (BOTH WALLS)
ITEM NO. 17< EVC >= 30000. (BOTH WALLS)
ITEM NO. 18< EUR >= 90000. (BOTH WALLS)
ITEM NO. 27< U-PERM >= 0.10000E-09 (BOTH WALLS)
ITEM NO. 32< U-PHICV >= 24.000 (BOTH WALLS)
ITEM NO. 33< U-KACV >= 0.42200 WALL NO. 1
ITEM NO. 34< U-KPCV >= 3.0510 WALL NO. 1
ITEM NO. 35< U-PHIPEA >= 24.000 (BOTH WALLS)
ITEM NO. 36< U-KAPEAK >= 0.42200 WALL NO. 1
ITEM NO. 37< U-KPPEAK >= 3.0510 WALL NO. 1
ITEM NO. 38< U-SU >= 140.00 (BOTH WALLS)
ITEM NO. 39< U-EU >= 90000. (BOTH WALLS)
ITEM NO. 40< U-KWU >= 20000. (BOTH WALLS)
ITEM NO. 43< U-APPC >= 20.000 (BOTH WALLS)
ITEM NO. 62< D-NATURE >= 2.0000 (BOTH WALLS)
ITEM NO. 63< D-LEVEL >= 0.0000 (BOTH WALLS)
ITEM NO. 87< D-PERM >= 0.10000E-09 (BOTH WALLS)
ITEM NO. 92< D-PHICV >= 24.000 (BOTH WALLS)
ITEM NO. 93< D-KACV >= 0.42200 WALL NO. 1
ITEM NO. 94< D-KPCV >= 3.0510 WALL NO. 1
ITEM NO. 95< D-PHIPEA >= 24.000 (BOTH WALLS)
ITEM NO. 96< D-KAPEAK >= 0.42200 WALL NO. 1
ITEM NO. 97< D-KPPEAK >= 3.0510 WALL NO. 1
ITEM NO. 98< D-SU >= 140.00 (BOTH WALLS)
ITEM NO. 99< D-EU >= 90000. (BOTH WALLS)
ITEM NO. 100< D-KWU >= 20000. (BOTH WALLS)
ITEM NO. 103< D-APPC >= 20.000 (BOTH WALLS)

NON ZERO LAYER DESCRIPTORS FOR LAYER NO. 4 FOR STEP NO. 5

ITEM NO. 1< NAME >= 21.000 (BOTH WALLS)
ITEM NO. 2< NATURE >= 1.0000 (BOTH WALLS)
ITEM NO. 3< LEVEL >= -15.000 (BOTH WALLS)
ITEM NO. 4< WALL >= 1.0000 (BOTH WALLS)
ITEM NO. 5< GAMMAD >= 19.500 (BOTH WALLS)
ITEM NO. 6< GAMMAB >= 9.5000 (BOTH WALLS)
ITEM NO. 7< GAMMAW >= 10.000 (BOTH WALLS)
ITEM NO. 9< U-FRICT >= 34.200 (BOTH WALLS)
ITEM NO. 10< U-KA >= 0.28000 WALL NO. 1
ITEM NO. 11< U-KP >= 5.5760 WALL NO. 1
ITEM NO. 12< KO-NC >= 0.45000 (BOTH WALLS)
ITEM NO. 13< NEXP >= 0.50000 (BOTH WALLS)
ITEM NO. 14< OCR >= 1.0000 (BOTH WALLS)
ITEM NO. 16< MODEL >= 1.0000 (BOTH WALLS)
ITEM NO. 17< EVC >= 20000. (BOTH WALLS)
ITEM NO. 18< EUR >= 32000. (BOTH WALLS)
ITEM NO. 27< U-PERM >= 0.10000E-03 (BOTH WALLS)
ITEM NO. 62< D-NATURE >= 1.0000 (BOTH WALLS)
ITEM NO. 63< D-LEVEL >= 0.0000 (BOTH WALLS)
ITEM NO. 69< D-FRICT >= 34.200 (BOTH WALLS)
ITEM NO. 70< D-KA >= 0.28000 WALL NO. 1
ITEM NO. 71< D-KP >= 5.5760 WALL NO. 1
ITEM NO. 87< D-PERM >= 0.10000E-03 (BOTH WALLS)

LAYER DESCRIPTORS FOR STEP NO. 6

NON ZERO LAYER DESCRIPTORS FOR LAYER NO. 1 FOR STEP NO. 6

ITEM NO. 1< NAME >= 18.000 (BOTH WALLS)
ITEM NO. 2< NATURE >= 1.0000 (BOTH WALLS)
ITEM NO. 3< LEVEL >= 0.0000 (BOTH WALLS)
ITEM NO. 4< WALL >= 1.0000 (BOTH WALLS)
ITEM NO. 5< GAMMAD >= 18.900 (BOTH WALLS)
ITEM NO. 6< GAMMAB >= 8.9000 (BOTH WALLS)
ITEM NO. 7< GAMMAW >= 10.000 (BOTH WALLS)
ITEM NO. 9< U-FRICT >= 32.900 (BOTH WALLS)
ITEM NO. 10< U-KA >= 0.29600 WALL NO. 1
ITEM NO. 11< U-KP >= 5.1280 WALL NO. 1
ITEM NO. 12< KO-NC >= 0.45000 (BOTH WALLS)
ITEM NO. 13< NEXP >= 0.50000 (BOTH WALLS)



PROGETTO DEFINITIVO

Linea Taranto – Brindisi

NUOVA STAZIONE DI NASISI

Relazione di calcolo opere provvisionali

PROGETTO	LOTTO	CODIFICA	DOCUMENTO	REV.	FOGLIO
IA8E	00	D 78 CL	FV0103 003	A	82 DI 91

ITEM NO. 14<OCR> = 1.0000 (BOTH WALLS)
ITEM NO. 16<MODEL> = 1.0000 (BOTH WALLS)
ITEM NO. 17<EVC> = 12000. (BOTH WALLS)
ITEM NO. 18<EUR> = 18000. (BOTH WALLS)
ITEM NO. 27<U-PERM> = 0.10000E-04 (BOTH WALLS)
ITEM NO. 62<D-NATURE> = 1.0000 (BOTH WALLS)
ITEM NO. 63<D-LEVEL> = 0.0000 (BOTH WALLS)
ITEM NO. 69<D-FRICT> = 32.900 (BOTH WALLS)
ITEM NO. 70<D-KA> = 0.29600 WALL NO. 1
ITEM NO. 71<D-KP> = 5.1280 WALL NO. 1
ITEM NO. 87<D-PERM> = 0.10000E-04 (BOTH WALLS)

NON ZERO LAYER DESCRIPTORS FOR LAYER NO. 2 FOR STEP NO. 6

ITEM NO. 1<NAME> = 19.000 (BOTH WALLS)
ITEM NO. 2<NATURE> = 2.0000 (BOTH WALLS)
ITEM NO. 3<LEVEL> = -2.0000 (BOTH WALLS)
ITEM NO. 4<WALL> = 1.0000 (BOTH WALLS)
ITEM NO. 5<GAMMAD> = 19.500 (BOTH WALLS)
ITEM NO. 6<GAMMAB> = 9.5000 (BOTH WALLS)
ITEM NO. 7<GAMMAW> = 10.000 (BOTH WALLS)
ITEM NO. 12<K0-NC> = 0.55000 (BOTH WALLS)
ITEM NO. 13<NEXP> = 0.50000 (BOTH WALLS)
ITEM NO. 14<OCR> = 1.0000 (BOTH WALLS)
ITEM NO. 16<MODEL> = 1.0000 (BOTH WALLS)
ITEM NO. 17<EVC> = 18000. (BOTH WALLS)
ITEM NO. 18<EUR> = 50000. (BOTH WALLS)
ITEM NO. 27<U-PERM> = 0.10000E-06 (BOTH WALLS)
ITEM NO. 32<U-PHICV> = 24.000 (BOTH WALLS)
ITEM NO. 33<U-KACV> = 0.42200 WALL NO. 1
ITEM NO. 34<U-KPCV> = 3.0510 WALL NO. 1
ITEM NO. 35<U-PHYPEA> = 24.000 (BOTH WALLS)
ITEM NO. 36<U-KAPEAK> = 0.42200 WALL NO. 1
ITEM NO. 37<U-KPPEAK> = 3.0510 WALL NO. 1
ITEM NO. 38<U-SU> = 80.000 (BOTH WALLS)
ITEM NO. 39<U-EU> = 50000. (BOTH WALLS)
ITEM NO. 40<U-KWU> = 3000.0 (BOTH WALLS)
ITEM NO. 43<APPC> = 5.0000 (BOTH WALLS)
ITEM NO. 62<D-NATURE> = 2.0000 (BOTH WALLS)
ITEM NO. 63<D-LEVEL> = 0.0000 (BOTH WALLS)
ITEM NO. 87<D-PERM> = 0.10000E-06 (BOTH WALLS)
ITEM NO. 92<D-PHICV> = 24.000 (BOTH WALLS)
ITEM NO. 93<D-KACV> = 0.42200 WALL NO. 1
ITEM NO. 94<D-KPCV> = 3.0510 WALL NO. 1
ITEM NO. 95<D-PHYPEA> = 24.000 (BOTH WALLS)
ITEM NO. 96<D-KAPEAK> = 0.42200 WALL NO. 1
ITEM NO. 97<D-KPPEAK> = 3.0510 WALL NO. 1
ITEM NO. 98<D-SU> = 80.000 (BOTH WALLS)
ITEM NO. 99<D-EU> = 50000. (BOTH WALLS)
ITEM NO. 100<D-KWU> = 3000.0 (BOTH WALLS)
ITEM NO. 103<APPC> = 5.0000 (BOTH WALLS)

NON ZERO LAYER DESCRIPTORS FOR LAYER NO. 3 FOR STEP NO. 6

ITEM NO. 1<NAME> = 20.000 (BOTH WALLS)
ITEM NO. 2<NATURE> = 2.0000 (BOTH WALLS)
ITEM NO. 3<LEVEL> = -11.500 (BOTH WALLS)
ITEM NO. 4<WALL> = 1.0000 (BOTH WALLS)
ITEM NO. 5<GAMMAD> = 19.500 (BOTH WALLS)
ITEM NO. 6<GAMMAB> = 9.5000 (BOTH WALLS)
ITEM NO. 7<GAMMAW> = 10.000 (BOTH WALLS)
ITEM NO. 12<K0-NC> = 0.55000 (BOTH WALLS)
ITEM NO. 13<NEXP> = 5.0000 (BOTH WALLS)
ITEM NO. 14<OCR> = 1.0000 (BOTH WALLS)
ITEM NO. 16<MODEL> = 1.0000 (BOTH WALLS)
ITEM NO. 17<EVC> = 30000. (BOTH WALLS)
ITEM NO. 18<EUR> = 90000. (BOTH WALLS)
ITEM NO. 27<U-PERM> = 0.10000E-09 (BOTH WALLS)
ITEM NO. 32<U-PHICV> = 24.000 (BOTH WALLS)
ITEM NO. 33<U-KACV> = 0.42200 WALL NO. 1
ITEM NO. 34<U-KPCV> = 3.0510 WALL NO. 1
ITEM NO. 35<U-PHYPEA> = 24.000 (BOTH WALLS)
ITEM NO. 36<U-KAPEAK> = 0.42200 WALL NO. 1
ITEM NO. 37<U-KPPEAK> = 3.0510 WALL NO. 1
ITEM NO. 38<U-SU> = 140.00 (BOTH WALLS)
ITEM NO. 39<U-EU> = 90000. (BOTH WALLS)
ITEM NO. 40<U-KWU> = 20000. (BOTH WALLS)
ITEM NO. 43<APPC> = 20.000 (BOTH WALLS)



PROGETTO DEFINITIVO

Linea Taranto – Brindisi

NUOVA STAZIONE DI NASISI

Relazione di calcolo opere provvisionali

PROGETTO	LOTTO	CODIFICA	DOCUMENTO	REV.	FOGLIO
IA8E	00	D 78 CL	FV0103 003	A	83 DI 91

ITEM NO. 62<lt;D-NATURE>gt;= 2.0000 (BOTH WALLS)
ITEM NO. 63<lt;D-LEVEL >gt;= 0.0000 (BOTH WALLS)
ITEM NO. 87<lt;D-PERM >gt;= 0.10000E-09 (BOTH WALLS)
ITEM NO. 92<lt;D-PHICV >gt;= 24.000 (BOTH WALLS)
ITEM NO. 93<lt;D-KACV >gt;= 0.42200 WALL NO. 1
ITEM NO. 94<lt;D-KPCV >gt;= 3.0510 WALL NO. 1
ITEM NO. 95<lt;D-PHIPEA>gt;= 24.000 (BOTH WALLS)
ITEM NO. 96<lt;D-KAPEAK>gt;= 0.42200 WALL NO. 1
ITEM NO. 97<lt;D-KPPEAK>gt;= 3.0510 WALL NO. 1
ITEM NO. 98<lt;D-SU >gt;= 140.00 (BOTH WALLS)
ITEM NO. 99<lt;D-EU >gt;= 90000. (BOTH WALLS)
ITEM NO. 100<lt;D-KWU >gt;= 20000. (BOTH WALLS)
ITEM NO. 103<lt;D-APPC >gt;= 20.000 (BOTH WALLS)

NON ZERO LAYER DESCRIPTORS FOR LAYER NO. 4 FOR STEP NO. 6

ITEM NO. 1<lt;NAME >gt;= 21.000 (BOTH WALLS)
ITEM NO. 2<lt;NATURE >gt;= 1.0000 (BOTH WALLS)
ITEM NO. 3<lt;LEVEL >gt;= -15.000 (BOTH WALLS)
ITEM NO. 4<lt;WALL >gt;= 1.0000 (BOTH WALLS)
ITEM NO. 5<lt;GAMMAD >gt;= 19.500 (BOTH WALLS)
ITEM NO. 6<lt;GAMMAB >gt;= 9.5000 (BOTH WALLS)
ITEM NO. 7<lt;GAMMAW >gt;= 10.000 (BOTH WALLS)
ITEM NO. 9<lt;U-FRICT >gt;= 34.200 (BOTH WALLS)
ITEM NO. 10<lt;U-KA >gt;= 0.28000 WALL NO. 1
ITEM NO. 11<lt;U-KP >gt;= 5.5760 WALL NO. 1
ITEM NO. 12<lt;KO-NC >gt;= 0.45000 (BOTH WALLS)
ITEM NO. 13<lt;NEXP >gt;= 0.50000 (BOTH WALLS)
ITEM NO. 14<lt;OCR >gt;= 1.0000 (BOTH WALLS)
ITEM NO. 16<lt;MODEL >gt;= 1.0000 (BOTH WALLS)
ITEM NO. 17<lt;EVC >gt;= 20000. (BOTH WALLS)
ITEM NO. 18<lt;EUR >gt;= 32000. (BOTH WALLS)
ITEM NO. 27<lt;U-PERM >gt;= 0.10000E-03 (BOTH WALLS)
ITEM NO. 62<lt;D-NATURE>gt;= 1.0000 (BOTH WALLS)
ITEM NO. 63<lt;D-LEVEL >gt;= 0.0000 (BOTH WALLS)
ITEM NO. 69<lt;D-FRICT >gt;= 34.200 (BOTH WALLS)
ITEM NO. 70<lt;D-KA >gt;= 0.28000 WALL NO. 1
ITEM NO. 71<lt;D-KP >gt;= 5.5760 WALL NO. 1
ITEM NO. 87<lt;D-PERM >gt;= 0.10000E-03 (BOTH WALLS)

LAYER DESCRIPTORS FOR STEP NO. 7

NON ZERO LAYER DESCRIPTORS FOR LAYER NO. 1 FOR STEP NO. 7

ITEM NO. 1<lt;NAME >gt;= 18.000 (BOTH WALLS)
ITEM NO. 2<lt;NATURE >gt;= 1.0000 (BOTH WALLS)
ITEM NO. 3<lt;LEVEL >gt;= 0.0000 (BOTH WALLS)
ITEM NO. 4<lt;WALL >gt;= 1.0000 (BOTH WALLS)
ITEM NO. 5<lt;GAMMAD >gt;= 18.900 (BOTH WALLS)
ITEM NO. 6<lt;GAMMAB >gt;= 8.9000 (BOTH WALLS)
ITEM NO. 7<lt;GAMMAW >gt;= 10.000 (BOTH WALLS)
ITEM NO. 9<lt;U-FRICT >gt;= 32.900 (BOTH WALLS)
ITEM NO. 10<lt;U-KA >gt;= 0.29600 WALL NO. 1
ITEM NO. 11<lt;U-KP >gt;= 5.1280 WALL NO. 1
ITEM NO. 12<lt;KO-NC >gt;= 0.45000 (BOTH WALLS)
ITEM NO. 13<lt;NEXP >gt;= 0.50000 (BOTH WALLS)
ITEM NO. 14<lt;OCR >gt;= 1.0000 (BOTH WALLS)
ITEM NO. 16<lt;MODEL >gt;= 1.0000 (BOTH WALLS)
ITEM NO. 17<lt;EVC >gt;= 12000. (BOTH WALLS)
ITEM NO. 18<lt;EUR >gt;= 18000. (BOTH WALLS)
ITEM NO. 27<lt;U-PERM >gt;= 0.10000E-04 (BOTH WALLS)
ITEM NO. 62<lt;D-NATURE>gt;= 1.0000 (BOTH WALLS)
ITEM NO. 63<lt;D-LEVEL >gt;= 0.0000 (BOTH WALLS)
ITEM NO. 69<lt;D-FRICT >gt;= 32.900 (BOTH WALLS)
ITEM NO. 70<lt;D-KA >gt;= 0.29600 WALL NO. 1
ITEM NO. 71<lt;D-KP >gt;= 5.1280 WALL NO. 1
ITEM NO. 87<lt;D-PERM >gt;= 0.10000E-04 (BOTH WALLS)

NON ZERO LAYER DESCRIPTORS FOR LAYER NO. 2 FOR STEP NO. 7

ITEM NO. 1<lt;NAME >gt;= 19.000 (BOTH WALLS)
ITEM NO. 2<lt;NATURE >gt;= 2.0000 (BOTH WALLS)
ITEM NO. 3<lt;LEVEL >gt;= -2.0000 (BOTH WALLS)
ITEM NO. 4<lt;WALL >gt;= 1.0000 (BOTH WALLS)
ITEM NO. 5<lt;GAMMAD >gt;= 19.500 (BOTH WALLS)
ITEM NO. 6<lt;GAMMAB >gt;= 9.5000 (BOTH WALLS)
ITEM NO. 7<lt;GAMMAW >gt;= 10.000 (BOTH WALLS)



PROGETTO DEFINITIVO

Linea Taranto – Brindisi

NUOVA STAZIONE DI NASISI

Relazione di calcolo opere provvisionali

PROGETTO	LOTTO	CODIFICA	DOCUMENTO	REV.	FOGLIO
IA8E	00	D 78 CL	FV0103 003	A	84 DI 91

ITEM NO. 12<NC >= 0.55000 (BOTH WALLS)
ITEM NO. 13<NEXP >= 0.50000 (BOTH WALLS)
ITEM NO. 14<OCR >= 1.0000 (BOTH WALLS)
ITEM NO. 16<MODEL >= 1.0000 (BOTH WALLS)
ITEM NO. 17<EVC >= 18000. (BOTH WALLS)
ITEM NO. 18<EUR >= 50000. (BOTH WALLS)
ITEM NO. 27<U-PERM >= 0.10000E-06 (BOTH WALLS)
ITEM NO. 32<U-PHICV >= 24.000 (BOTH WALLS)
ITEM NO. 33<U-KACV >= 0.42200 WALL NO. 1
ITEM NO. 34<U-KPCV >= 3.0510 WALL NO. 1
ITEM NO. 35<U-PHIPEA>= 24.000 (BOTH WALLS)
ITEM NO. 36<U-KAPEAK>= 0.42200 WALL NO. 1
ITEM NO. 37<U-KPPEAK>= 3.0510 WALL NO. 1
ITEM NO. 38<U-SU >= 80.000 (BOTH WALLS)
ITEM NO. 39<U-EU >= 50000. (BOTH WALLS)
ITEM NO. 40<U-KWU >= 3000.0 (BOTH WALLS)
ITEM NO. 43<U-APPC >= 5.0000 (BOTH WALLS)
ITEM NO. 62<D-NATURE>= 2.0000 (BOTH WALLS)
ITEM NO. 63<D-LEVEL >= 0.0000 (BOTH WALLS)
ITEM NO. 87<D-PERM >= 0.10000E-06 (BOTH WALLS)
ITEM NO. 92<D-PHICV >= 24.000 (BOTH WALLS)
ITEM NO. 93<D-KACV >= 0.42200 WALL NO. 1
ITEM NO. 94<D-KPCV >= 3.0510 WALL NO. 1
ITEM NO. 95<D-PHIPEA>= 24.000 (BOTH WALLS)
ITEM NO. 96<D-KAPEAK>= 0.42200 WALL NO. 1
ITEM NO. 97<D-KPPEAK>= 3.0510 WALL NO. 1
ITEM NO. 98<D-SU >= 80.000 (BOTH WALLS)
ITEM NO. 99<D-EU >= 50000. (BOTH WALLS)
ITEM NO. 100<D-KWU >= 3000.0 (BOTH WALLS)
ITEM NO. 103<D-APPC >= 5.0000 (BOTH WALLS)

NON ZERO LAYER DESCRIPTORS FOR LAYER NO. 3 FOR STEP NO. 7

ITEM NO. 1<NAME >= 20.000 (BOTH WALLS)
ITEM NO. 2<NATURE >= 2.0000 (BOTH WALLS)
ITEM NO. 3<LEVEL >= -11.500 (BOTH WALLS)
ITEM NO. 4<WALL >= 1.0000 (BOTH WALLS)
ITEM NO. 5<GAMMAD >= 19.500 (BOTH WALLS)
ITEM NO. 6<GAMMAB >= 9.5000 (BOTH WALLS)
ITEM NO. 7<GAMMAW >= 10.000 (BOTH WALLS)
ITEM NO. 12<KO-NC >= 0.55000 (BOTH WALLS)
ITEM NO. 13<NEXP >= 5.0000 (BOTH WALLS)
ITEM NO. 14<OCR >= 1.0000 (BOTH WALLS)
ITEM NO. 16<MODEL >= 1.0000 (BOTH WALLS)
ITEM NO. 17<EVC >= 30000. (BOTH WALLS)
ITEM NO. 18<EUR >= 90000. (BOTH WALLS)
ITEM NO. 27<U-PERM >= 0.10000E-09 (BOTH WALLS)
ITEM NO. 32<U-PHICV >= 24.000 (BOTH WALLS)
ITEM NO. 33<U-KACV >= 0.42200 WALL NO. 1
ITEM NO. 34<U-KPCV >= 3.0510 WALL NO. 1
ITEM NO. 35<U-PHIPEA>= 24.000 (BOTH WALLS)
ITEM NO. 36<U-KAPEAK>= 0.42200 WALL NO. 1
ITEM NO. 37<U-KPPEAK>= 3.0510 WALL NO. 1
ITEM NO. 38<U-SU >= 140.00 (BOTH WALLS)
ITEM NO. 39<U-EU >= 90000. (BOTH WALLS)
ITEM NO. 40<U-KWU >= 20000. (BOTH WALLS)
ITEM NO. 43<U-APPC >= 20.000 (BOTH WALLS)
ITEM NO. 62<D-NATURE>= 2.0000 (BOTH WALLS)
ITEM NO. 63<D-LEVEL >= 0.0000 (BOTH WALLS)
ITEM NO. 87<D-PERM >= 0.10000E-09 (BOTH WALLS)
ITEM NO. 92<D-PHICV >= 24.000 (BOTH WALLS)
ITEM NO. 93<D-KACV >= 0.42200 WALL NO. 1
ITEM NO. 94<D-KPCV >= 3.0510 WALL NO. 1
ITEM NO. 95<D-PHIPEA>= 24.000 (BOTH WALLS)
ITEM NO. 96<D-KAPEAK>= 0.42200 WALL NO. 1
ITEM NO. 97<D-KPPEAK>= 3.0510 WALL NO. 1
ITEM NO. 98<D-SU >= 140.00 (BOTH WALLS)
ITEM NO. 99<D-EU >= 90000. (BOTH WALLS)
ITEM NO. 100<D-KWU >= 20000. (BOTH WALLS)
ITEM NO. 103<D-APPC >= 20.000 (BOTH WALLS)

NON ZERO LAYER DESCRIPTORS FOR LAYER NO. 4 FOR STEP NO. 7

ITEM NO. 1<NAME >= 21.000 (BOTH WALLS)
ITEM NO. 2<NATURE >= 1.0000 (BOTH WALLS)
ITEM NO. 3<LEVEL >= -15.000 (BOTH WALLS)
ITEM NO. 4<WALL >= 1.0000 (BOTH WALLS)
ITEM NO. 5<GAMMAD >= 19.500 (BOTH WALLS)



PROGETTO DEFINITIVO

Linea Taranto – Brindisi

NUOVA STAZIONE DI NASISI

Relazione di calcolo opere provvisionali

PROGETTO	LOTTO	CODIFICA	DOCUMENTO	REV.	FOGLIO
IA8E	00	D 78 CL	FV0103 003	A	85 DI 91

ITEM NO. 6<GAMMAB >= 9.5000 (BOTH WALLS)
ITEM NO. 7<GAMMAW >= 10.000 (BOTH WALLS)
ITEM NO. 9<U-FRICT >= 34.200 (BOTH WALLS)
ITEM NO. 10<U-KA >= 0.28000 WALL NO. 1
ITEM NO. 11<U-KP >= 5.5760 WALL NO. 1
ITEM NO. 12<KO-NC >= 0.45000 (BOTH WALLS)
ITEM NO. 13<NEXP >= 0.50000 (BOTH WALLS)
ITEM NO. 14<OCR >= 1.0000 (BOTH WALLS)
ITEM NO. 16<MODEL >= 1.0000 (BOTH WALLS)
ITEM NO. 17<EVC >= 20000. (BOTH WALLS)
ITEM NO. 18<EUR >= 32000. (BOTH WALLS)
ITEM NO. 27<U-PERM >= 0.10000E-03 (BOTH WALLS)
ITEM NO. 62<D-NATURE>= 1.0000 (BOTH WALLS)
ITEM NO. 63<D-LEVEL >= 0.0000 (BOTH WALLS)
ITEM NO. 69<D-FRICT >= 34.200 (BOTH WALLS)
ITEM NO. 70<D-KA >= 0.28000 WALL NO. 1
ITEM NO. 71<D-KP >= 5.5760 WALL NO. 1
ITEM NO. 87<D-PERM >= 0.10000E-03 (BOTH WALLS)

DEFAULT WATER UNIT WEIGHT = 10.000

AVERAGED ON 28 VALUES

**PROGETTO DEFINITIVO****Linea Taranto – Brindisi****NUOVA STAZIONE DI NASISI****Relazione di calcolo opere provvisionali**

PROGETTO IA8E	LOTTO 00	CODIFICA D 78 CL	DOCUMENTO FV0103 003	REV. A	FOGLIO 86 DI 91
------------------	-------------	---------------------	-------------------------	-----------	--------------------

```
+-----+  
| PARATIEPLUS(TM) NLS ENGINE RELEASE 2020BETA FULL VERSION *Build date:Aug 27, 2019* |  
| NewProject.BaseDesignSection_21.Nominal_56 |  
| Exe Time :28 July 2021 18:30:09 |  
+-----+
```

PHASE DESCRIPTORS

STEP NO.	1 no. of subincrements	1	LEFT WALL	RIGHT WALL
Y			0.000	-0.9990E+30
Z-PC			0.000	0.000
Z-EXCAVATION			0.000	0.000
Z-WATER_TABLE			-13.00	-0.9990E+30
Q_AT_THE_FREE_FIELD_LEVEL			0.000	0.000
ZQ			0.000	0.000
DZW_OF_THE_WATER_TABLE			0.000	0.000
QS_ON_THE_EXCAVATION_SIDE			0.000	0.000
ZQS			0.000	-0.9990E+30
ZCUT			0.000	0.000
BALANCE LEVEL FOR PORE PRESSURES			-19.00	-19.00
WATER_BEHAVIOUR_FLAG (LINING OPT)			0.000	0.000
PORE_UPDATE_FLAG			0.000	0.000
PORE_TAB._FLAG (gt.0= use tabs)			0.000	0.000
lateral thrusts reduction elevatio			0.000	0.000
Downhill reduction factor for effe			0.000	0.000
Downhill reduction factor for pore			0.000	0.000
Uphill reduction factor for effect			0.000	0.000
Uphill reduction factor for pore p			0.000	0.000
SEISMIC HORIZONTAL ACCEL. Kh [g]			0.000	0.000
UPHILL VERTICAL ACCEL. Kv_uh [g]			0.000	0.000
DOWNHILL VERTICAL ACCEL.Kv_dh [g]			0.000	0.000
UPHILL BETA ANGLE (SLOPE) [deg]			0.000	0.000
UPHILL DELTA/PHI RATIO			0.000	0.000
DOWNHILL BETA ANGLE (SLOPE) [deg]			0.000	0.000
DOWNHILL DELTA/PHI RATIO			0.000	0.000
DYN.WATER BEHAVIOUR			0.000	0.000
Excess pore pressure RATIO Ru			0.000	0.000
SEISMIC PRESSURE LOWER VALUE			0.000	0.000
SEISMIC PRESSURE UPPER VALUE			0.000	0.000
SEISMIC PRESSURE LOWER LEVEL			0.000	0.000
SEISMIC PRESSURE UPPER LEVEL			0.000	0.000

=====end of step 1

STEP NO.	2 no. of subincrements	1	LEFT WALL	RIGHT WALL
Y			0.000	-0.9990E+30
Z-PC			-1.000	0.000
Z-EXCAVATION			-1.000	0.000
Z-WATER_TABLE			-13.00	-0.9990E+30
Q_AT_THE_FREE_FIELD_LEVEL			0.000	0.000
ZQ			0.000	0.000
DZW_OF_THE_WATER_TABLE			0.000	0.000
QS_ON_THE_EXCAVATION_SIDE			0.000	0.000
ZQS			0.000	-0.9990E+30
ZCUT			0.000	0.000
BALANCE LEVEL FOR PORE PRESSURES			-19.00	-19.00
WATER_BEHAVIOUR_FLAG (LINING OPT)			0.000	0.000
PORE_UPDATE_FLAG			0.000	0.000
PORE_TAB._FLAG (gt.0= use tabs)			0.000	0.000
lateral thrusts reduction elevatio			0.000	0.000
Downhill reduction factor for effe			0.000	0.000
Downhill reduction factor for pore			0.000	0.000
Uphill reduction factor for effect			0.000	0.000
Uphill reduction factor for pore p			0.000	0.000
SEISMIC HORIZONTAL ACCEL. Kh [g]			0.000	0.000
UPHILL VERTICAL ACCEL. Kv_uh [g]			0.000	0.000
DOWNHILL VERTICAL ACCEL.Kv_dh [g]			0.000	0.000
UPHILL BETA ANGLE (SLOPE) [deg]			0.000	0.000
UPHILL DELTA/PHI RATIO			0.000	0.000
DOWNHILL BETA ANGLE (SLOPE) [deg]			0.000	0.000

**PROGETTO DEFINITIVO****Linea Taranto – Brindisi****NUOVA STAZIONE DI NASISI****Relazione di calcolo opere provvisionali**

PROGETTO IA8E	LOTTO 00	CODIFICA D 78 CL	DOCUMENTO FV0103 003	REV. A	FOGLIO 87 DI 91
------------------	-------------	---------------------	-------------------------	-----------	--------------------

DOWNTILT DELTA/PHI RATIO 0.000 0.000
DYN.WATER BEHAVIOUR 0.000 0.000
Excess pore pressure RATIO Ru 0.000 0.000
SEISMIC PRESSURE LOWER VALUE 0.000 0.000
SEISMIC PRESSURE UPPER VALUE 0.000 0.000
SEISMIC PRESSURE LOWER LEVEL 0.000 0.000
SEISMIC PRESSURE UPPER LEVEL 0.000 0.000

=====end of step 2

STEP NO.	3 no. of subincrements	1	LEFT WALL	RIGHT WALL
Y			0.000	-0.9990E+30
Z-PC			-1.000	0.000
Z-EXCAVATION			-5.500	0.000
Z-WATER_TABLE			-13.00	-0.9990E+30
Q_AT_THE_FREE_FIELD_LEVEL			0.000	0.000
ZQ			0.000	0.000
DZW_OF_THE_WATER_TABLE			0.000	0.000
QS_ON_THE_EXCAVATION_SIDE			0.000	0.000
ZQS			0.000	-0.9990E+30
ZCUT			0.000	0.000
BALANCE LEVEL FOR PORE PRESSURES			-19.00	-19.00
WATER_BEHAVIOUR_FLAG (LINING OPT)			0.000	0.000
PORE_UPDATE_FLAG			0.000	0.000
PORE_TAB._FLAG (gt.0= use tabs)			0.000	0.000
lateral thrusts reduction elevatio			0.000	0.000
Downhill reduction factor for effe			0.000	0.000
Downhill reduction factor for pore			0.000	0.000
Uphill reduction factor for effect			0.000	0.000
Uphill reduction factor for pore p			0.000	0.000
SEISMIC HORIZONTAL ACCEL. Kh [g]			0.000	0.000
UPHILL VERTICAL ACCEL. Kv_uh [g]			0.000	0.000
DOWNHILL VERTICAL ACCEL.Kv_dh [g]			0.000	0.000
UPHILL BETA ANGLE (SLOPE) [deg]			0.000	0.000
UPHILL DELTA/PHI RATIO			0.000	0.000
DOWNHILL BETA ANGLE (SLOPE) [deg]			0.000	0.000
DOWNHILL DELTA/PHI RATIO			0.000	0.000
DYN.WATER BEHAVIOUR			0.000	0.000
Excess pore pressure RATIO Ru			0.000	0.000
SEISMIC PRESSURE LOWER VALUE			0.000	0.000
SEISMIC PRESSURE UPPER VALUE			0.000	0.000
SEISMIC PRESSURE LOWER LEVEL			0.000	0.000
SEISMIC PRESSURE UPPER LEVEL			0.000	0.000

=====end of step 3

STEP NO.	4 no. of subincrements	1	LEFT WALL	RIGHT WALL
Y			0.000	-0.9990E+30
Z-PC			-1.000	0.000
Z-EXCAVATION			-5.500	0.000
Z-WATER_TABLE			-13.00	-0.9990E+30
Q_AT_THE_FREE_FIELD_LEVEL			0.000	0.000
ZQ			0.000	0.000
DZW_OF_THE_WATER_TABLE			0.000	0.000
QS_ON_THE_EXCAVATION_SIDE			0.000	0.000
ZQS			0.000	-0.9990E+30
ZCUT			0.000	0.000
BALANCE LEVEL FOR PORE PRESSURES			-19.00	-19.00
WATER_BEHAVIOUR_FLAG (LINING OPT)			0.000	0.000
PORE_UPDATE_FLAG			0.000	0.000
PORE_TAB._FLAG (gt.0= use tabs)			0.000	0.000
lateral thrusts reduction elevatio			0.000	0.000
Downhill reduction factor for effe			0.000	0.000
Downhill reduction factor for pore			0.000	0.000
Uphill reduction factor for effect			0.000	0.000
Uphill reduction factor for pore p			0.000	0.000
SEISMIC HORIZONTAL ACCEL. Kh [g]			0.000	0.000
UPHILL VERTICAL ACCEL. Kv_uh [g]			0.000	0.000
DOWNHILL VERTICAL ACCEL.Kv_dh [g]			0.000	0.000
UPHILL BETA ANGLE (SLOPE) [deg]			0.000	0.000
UPHILL DELTA/PHI RATIO			0.000	0.000
DOWNHILL BETA ANGLE (SLOPE) [deg]			0.000	0.000
DOWNHILL DELTA/PHI RATIO			0.000	0.000
DYN.WATER BEHAVIOUR			0.000	0.000



PROGETTO DEFINITIVO

Linea Taranto – Brindisi

NUOVA STAZIONE DI NASISI

Relazione di calcolo opere provvisionali

PROGETTO	LOTTO	CODIFICA	DOCUMENTO	REV.	FOGLIO
IA8E	00	D 78 CL	FV0103 003	A	88 DI 91

Excess pore pressure RATIO Ru 0.000 0.000
SEISMIC PRESSURE LOWER VALUE 0.000 0.000
SEISMIC PRESSURE UPPER VALUE 0.000 0.000
SEISMIC PRESSURE LOWER LEVEL 0.000 0.000
SEISMIC PRESSURE UPPER LEVEL 0.000 0.000

=====end of step 4

STEP NO. 5 no. of subincrements 1
LEFT WALL RIGHT WALL
Y 0.000 -0.9990E+30
Z-PC -1.000 0.000
Z-EXCAVATION -1.000 0.000
Z-WATER_TABLE -13.00 -0.9990E+30
Q_AT_THE_FREE_FIELD_LEVEL 0.000 0.000
ZQ 0.000 0.000
DZW_OF_THE_WATER_TABLE 0.000 0.000
QS_ON_THE_EXCAVATION_SIDE 0.000 0.000
ZQS 0.000 -0.9990E+30
ZCUT 0.000 0.000
BALANCE LEVEL FOR PORE PRESSURES -19.00 -19.00
WATER_BEHAVIOUR_FLAG (LINING OPT) 0.000 0.000
PORE_UPDATE_FLAG 0.000 0.000
PORE_TAB._FLAG (gt.0= use tabs) 0.000 0.000
lateral thrusts reduction elevatio 0.000 0.000
Downhill reduction factor for effe 0.000 0.000
Downhill reduction factor for pore 0.000 0.000
Uphill reduction factor for effect 0.000 0.000
Uphill reduction factor for pore p 0.000 0.000
SEISMIC HORIZONTAL ACCEL. Kh [g] 0.000 0.000
UPHILL VERTICAL ACCEL. Kv_uh [g] 0.000 0.000
DOWNHILL VERTICAL ACCEL.Kv_dh [g] 0.000 0.000
UPHILL BETA ANGLE (SLOPE) [deg] 0.000 0.000
UPHILL DELTA/PHI RATIO 0.000 0.000
DOWNHILL BETA ANGLE (SLOPE) [deg] 0.000 0.000
DOWNHILL DELTA/PHI RATIO 0.000 0.000
DYN.WATER BEHAVIOUR 0.000 0.000
Excess pore pressure RATIO Ru 0.000 0.000
SEISMIC PRESSURE LOWER VALUE 0.000 0.000
SEISMIC PRESSURE UPPER VALUE 0.000 0.000
SEISMIC PRESSURE LOWER LEVEL 0.000 0.000
SEISMIC PRESSURE UPPER LEVEL 0.000 0.000

=====end of step 5

STEP NO. 6 no. of subincrements 1
LEFT WALL RIGHT WALL
Y 0.000 -0.9990E+30
Z-PC -4.500 0.000
Z-EXCAVATION -1.000 0.000
Z-WATER_TABLE -13.00 -0.9990E+30
Q_AT_THE_FREE_FIELD_LEVEL 0.000 0.000
ZQ 0.000 0.000
DZW_OF_THE_WATER_TABLE 0.000 0.000
QS_ON_THE_EXCAVATION_SIDE 0.000 0.000
ZQS 0.000 -0.9990E+30
ZCUT 0.000 0.000
BALANCE LEVEL FOR PORE PRESSURES -19.00 -19.00
WATER_BEHAVIOUR_FLAG (LINING OPT) 0.000 0.000
PORE_UPDATE_FLAG 0.000 0.000
PORE_TAB._FLAG (gt.0= use tabs) 0.000 0.000
lateral thrusts reduction elevatio 0.000 0.000
Downhill reduction factor for effe 0.000 0.000
Downhill reduction factor for pore 0.000 0.000
Uphill reduction factor for effect 0.000 0.000
Uphill reduction factor for pore p 0.000 0.000
SEISMIC HORIZONTAL ACCEL. Kh [g] 0.000 0.000
UPHILL VERTICAL ACCEL. Kv_uh [g] 0.000 0.000
DOWNHILL VERTICAL ACCEL.Kv_dh [g] 0.000 0.000
UPHILL BETA ANGLE (SLOPE) [deg] 0.000 0.000
UPHILL DELTA/PHI RATIO 0.000 0.000
DOWNHILL BETA ANGLE (SLOPE) [deg] 0.000 0.000
DOWNHILL DELTA/PHI RATIO 0.000 0.000
DYN.WATER BEHAVIOUR 0.000 0.000
Excess pore pressure RATIO Ru 0.000 0.000
SEISMIC PRESSURE LOWER VALUE 0.000 0.000



PROGETTO DEFINITIVO

Linea Taranto – Brindisi

NUOVA STAZIONE DI NASISI

Relazione di calcolo opere provvisionali

PROGETTO	LOTTO	CODIFICA	DOCUMENTO	REV.	FOGLIO
IA8E	00	D 78 CL	FV0103 003	A	89 DI 91

SEISMIC PRESSURE UPPER VALUE	0.000	0.000
SEISMIC PRESSURE LOWER LEVEL	0.000	0.000
SEISMIC PRESSURE UPPER LEVEL	0.000	0.000

=====end of step 6

STEP NO.	7 no. of subincrements	1	LEFT WALL	RIGHT WALL
Y			0.000	-0.9990E+30
Z-PC			-4.500	0.000
Z-EXCAVATION			-1.000	0.000
Z-WATER_TABLE			-13.00	-0.9990E+30
Q_AT_THE_FREE_FIELD_LEVEL			0.000	0.000
ZQ			0.000	0.000
DZW_OF_THE_WATER_TABLE			0.000	0.000
QS_ON_THE_EXCAVATION_SIDE			0.000	0.000
ZQS			0.000	-0.9990E+30
ZCUT			0.000	0.000
BALANCE LEVEL FOR PORE PRESSURES			-19.00	-19.00
WATER_BEHAVIOUR_FLAG (LINING OPT)			0.000	0.000
PORE_UPDATE_FLAG			0.000	0.000
PORE_TAB._FLAG (gt.0= use tabs)			0.000	0.000
lateral thrusts reduction elevatio			0.000	0.000
Downhill reduction factor for effe			0.000	0.000
Downhill reduction factor for pore			0.000	0.000
Uphill reduction factor for effect			0.000	0.000
Uphill reduction factor for pore p			0.000	0.000
SEISMIC HORIZONTAL ACCEL. Kh [g]			0.000	0.000
UPHILL VERTICAL ACCEL. Kv_uh [g]			0.000	0.000
DOWNHILL VERTICAL ACCEL.Kv_dh [g]			0.000	0.000
UPHILL BETA ANGLE (SLOPE) [deg]			0.000	0.000
UPHILL DELTA/PHI RATIO			0.000	0.000
DOWNHILL BETA ANGLE (SLOPE) [deg]			0.000	0.000
DOWNHILL DELTA/PHI RATIO			0.000	0.000
DYN.WATER BEHAVIOUR			0.000	0.000
Excess pore pressure RATIO Ru			0.000	0.000
SEISMIC PRESSURE LOWER VALUE			0.000	0.000
SEISMIC PRESSURE UPPER VALUE			0.000	0.000
SEISMIC PRESSURE LOWER LEVEL			0.000	0.000
SEISMIC PRESSURE UPPER LEVEL			0.000	0.000

=====end of step 7

LEFT-HAND WALL

LOWER LEVEL	-19.00000
UPPER LEVEL	-1.00000

RIGHT-HAND WALL

LOWER LEVEL	-19.00000
UPPER LEVEL	-1.00000



PROGETTO DEFINITIVO

Linea Taranto – Brindisi

NUOVA STAZIONE DI NASISI

Relazione di calcolo opere provvisionali

PROGETTO LOTTO CODIFICA DOCUMENTO REV. FOGLIO
IA8E 00 D 78 CL FV0103 003 A 90 DI 91

PARATIEPLUS(TM) NLS ENGINE RELEASE 2020BETA FULL VERSION *Build date:Aug 27, 2019*

NewProject.BaseDesignSection_21.Nominal_56

Exe Time :28 July 2021 18:30:09

INITIAL STRESS TABLES

SECTION

NUMBER OF DEFINED TABLES

1

INPUT DATA FOR INITIAL STRESS SET NO. 1
 PERTAINING SOIL ELEMENTS AT Y-COORD 0.0000

ACTIVATION TIME 4.0000
 END TIME (TIME BEYOND WHICH IT IS REMOVED) 4.0000

TYPE BOUSSINESQ

HORIZONTAL DISTANCE (DY) 9.00000000000000
 FOUNDATION WIDTH (B) 2.00000000000000
 ZETA-F..... -1.00000000000000
 Q-F 40.00000000000000
 BETA 45.00000000000000
 BEHAVIOUR (0=FREE, 1=REFLECTING) 0.000000000000E+000

ELEMENT GROUPS BACKUP AREA CAN STAY IN CORE AT
 POSITION 8932

NO. OF D.P.W. FOR THIS AREA 12189
 MAX NO. OF D.P.W. AVAILABLE 81920
 ** MAX NO OF ITERATIONS SET TO 40

ITER 0 RNORM = 0.000 RMNORM= 0.000
 RINORM=0.9878E+05 RIMNOR= 0.000
 RENORM= 0.000 REMNOR= 0.000 RATIO = 0.000 TOLER =0.1000E-03 CONVERGED !
 RFMAX = 39.27 RMMAX = 0.000
 RTSMAL=0.1000E-03 RMSMAL= 0.000
 RDT =0.9878E+05 RDR = 0.000
 RATIO= 0.000 RATOR= 0.000
 MAX UN= 0.000 IEQ= 182 NODE 91 DOF 2 X-ROT. F
 MIN UN= 0.000 IEQ= 1 NODE 1 DOF 1 Y-DISPL.F
 NO. OF CONTACT CONSTRAINT VIOLATIONS 0

ITER 1 RNORM = 0.000 RMNORM= 0.000
 RINORM=0.9878E+05 RIMNOR= 0.000
 RENORM= 0.000 REMNOR= 0.000 RATIO = 0.000 TOLER =0.1000E-03 CONVERGED !
 RFMAX = 39.27 RMMAX = 0.000
 RTSMAL=0.1000E-03 RMSMAL= 0.000
 RDT =0.9878E+05 RDR = 0.000
 RATIO= 0.000 RATOR= 0.000
 MAX UN= 0.000 IEQ= 182 NODE 91 DOF 2 X-ROT. F
 MIN UN= 0.000 IEQ= 1 NODE 1 DOF 1 Y-DISPL.F
 NO. OF CONTACT CONSTRAINT VIOLATIONS 0

ITER 2 RNORM = 0.000 RMNORM= 0.000
 RINORM=0.9878E+05 RIMNOR= 0.000
 RENORM= 0.000 REMNOR= 0.000 RATIO = 0.000 TOLER =0.1000E-03 CONVERGED !
 RFMAX = 39.27 RMMAX = 0.000
 RTSMAL=0.1000E-03 RMSMAL= 0.000
 RDT =0.9878E+05 RDR = 0.000
 RATIO= 0.000 RATOR= 0.000
 MAX UN= 0.000 IEQ= 182 NODE 91 DOF 2 X-ROT. F
 MIN UN= 0.000 IEQ= 1 NODE 1 DOF 1 Y-DISPL.F
 NO. OF CONTACT CONSTRAINT VIOLATIONS 0

**PROGETTO DEFINITIVO****Linea Taranto – Brindisi****NUOVA STAZIONE DI NASISI****Relazione di calcolo opere provvisionali**

PROGETTO IA8E	LOTTO 00	CODIFICA D 78 CL	DOCUMENTO FV0103 003	REV. A	FOGLIO 91 DI 91
------------------	-------------	---------------------	-------------------------	-----------	--------------------

```
+-----+  
| PARATIEPLUS(TM)   NLS ENGINE RELEASE 2020BETA FULL VERSION *Build date:Aug 27, 2019* |  
| |  
| NewProject.BaseDesignSection_21.Nominal_56 |  
| Exe Time :28 July 2021      18:30:09 |  
+-----+
```

New Project

SOLUTION REACHED USING 2 ITERATIONS ON 40

P R I N T O U T F O R T I M E S T E P 1 (AT TIME 1.000) SUBINCREMENT 00001/00001

PRINT OUT OF ACTIVE COMPONENTS (FIXED NODES ARE NOT PRINTED OUT)

Y-DISPL.F X-ROT. F
02 04

ALL NODAL POINTS HAVE ZERO DISPLACEMENT COMPONENTS